

**MARINE BIOLOGICAL LABORATORY.**

---

Received

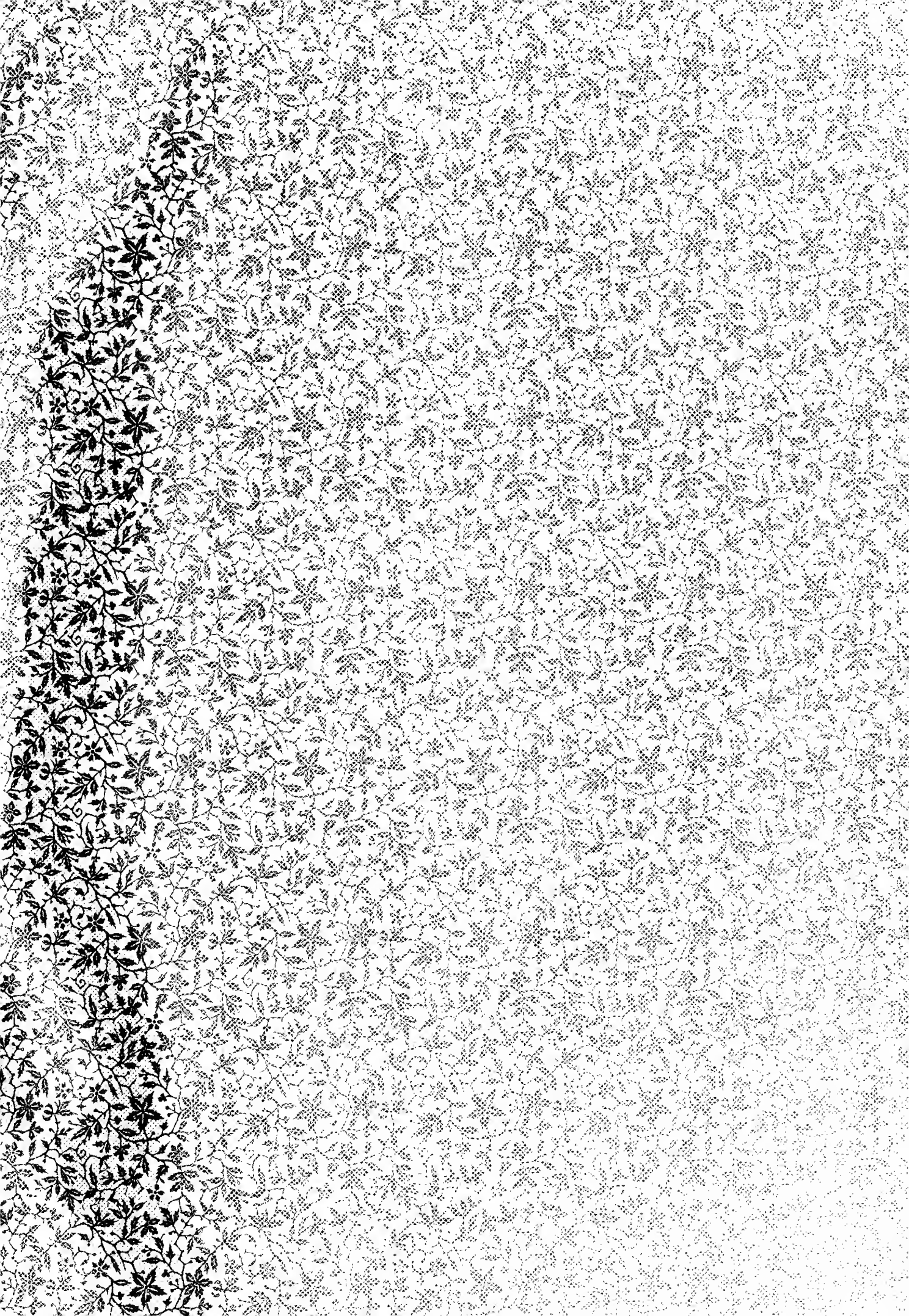
Accession No.

Given by

Place,

\*No book or pamphlet is to be removed from the Laboratory without the permission of the Trustees.











GAMMARINI

DEL

G O L F O D I N A P O L I .

MONOGRAFIA

DI

ANTONIO DELLA VALLE.

ATLANTE.

HERAUSGEGEBEN

VON DER

ZOOLOGISCHEN STATION ZU NEAPEL.

---

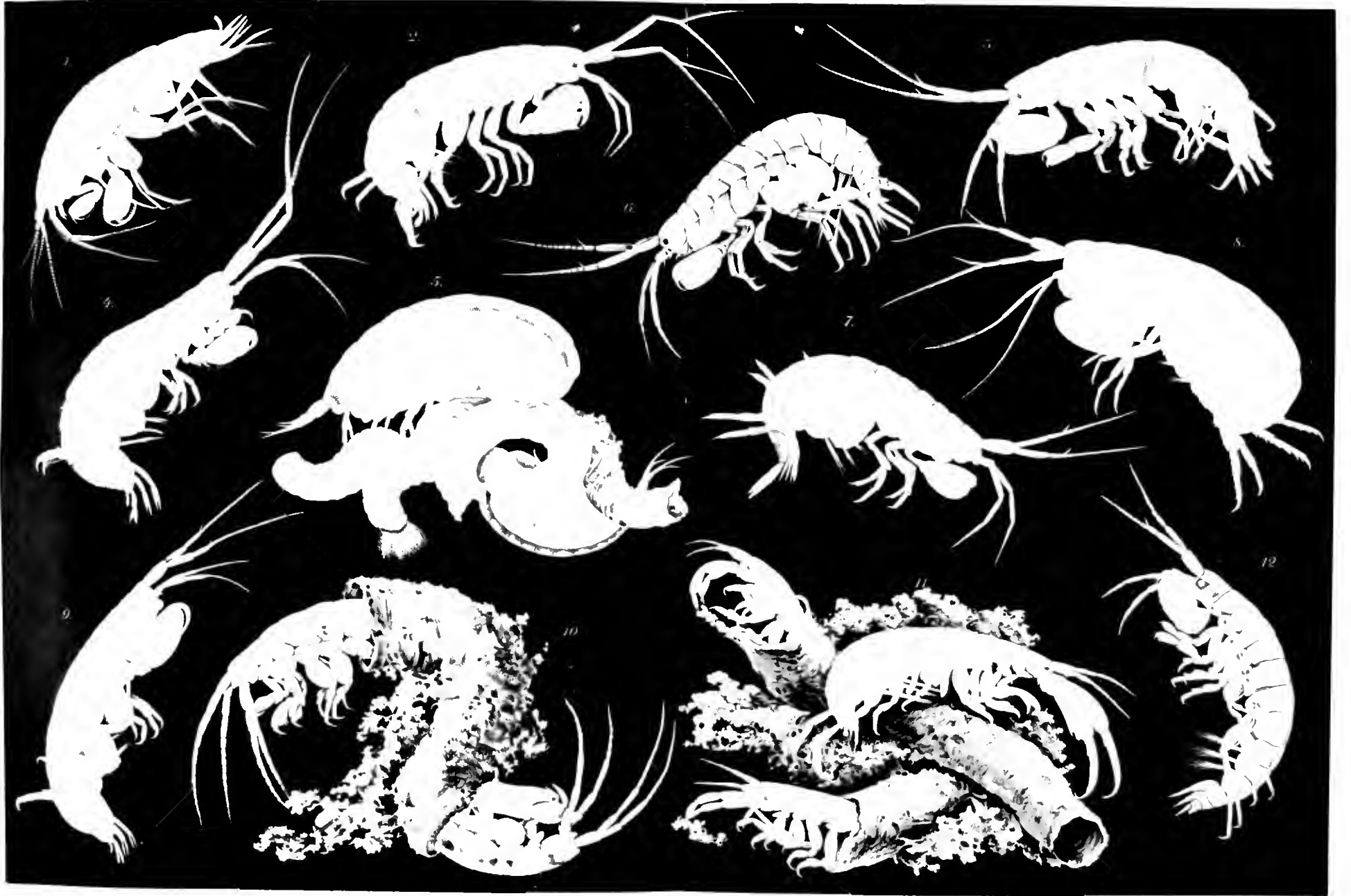
BERLIN

VERLAG VON R. FRIEDLÄNDER & SOHN

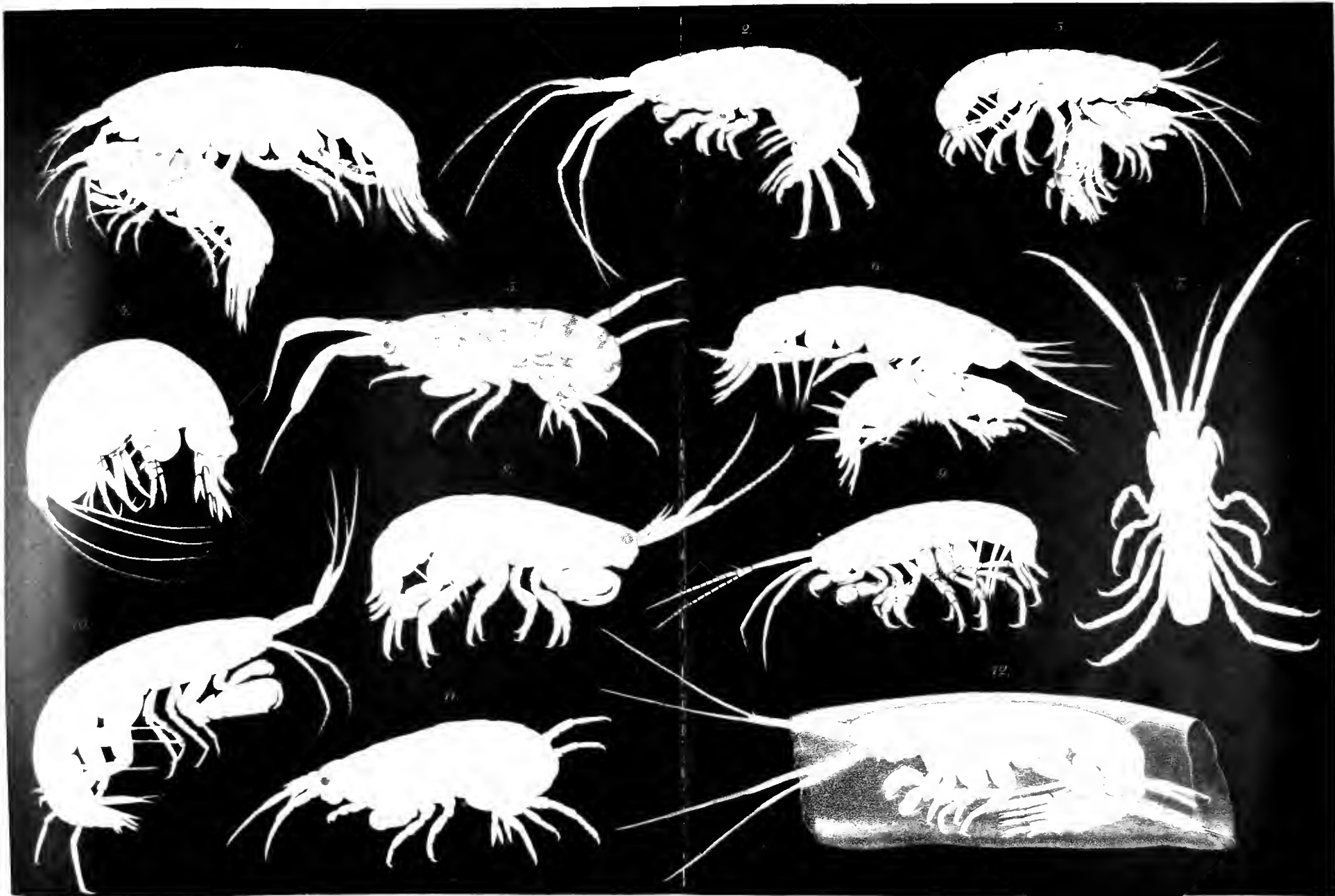
1893.

2819

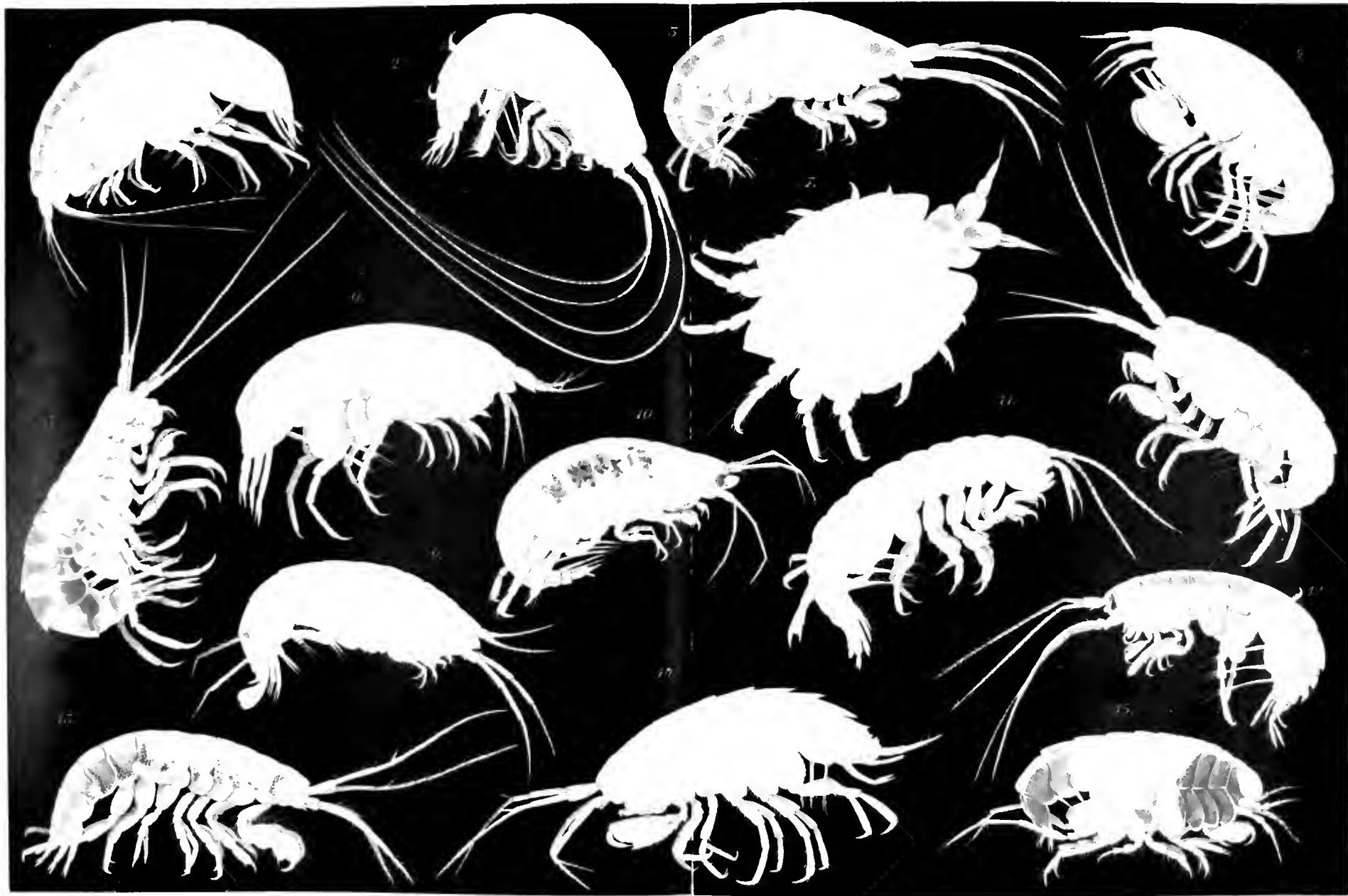




















# SPIEGAZIONE DELLE TAVOLE.

*Significato delle lettere adoperate in tutte le tavole per indicare il capo, i segmenti del tronco e le varie appendici.*

A Addome	ms Mascelle	pt <sup>3</sup> Piedi toracici del 3.° paio
A <sup>I</sup> 1.° segmento dell'addome	ms <sup>1</sup> Mascelle anteriori	pt <sup>1</sup> — — 4.° —
A <sup>II</sup> 2.° — —	ms <sup>2</sup> — — posteriori	pt <sup>5</sup> — — 5.° —
A <sup>III</sup> 3.° — —	pa Piedi addominali	pt <sup>6</sup> — — 5.° —
a Antenne	pa <sup>1</sup> Piedi addominali anteriori	pt <sup>7</sup> — — 7.° —
a <sup>1</sup> Antenne anteriori	pa <sup>2</sup> — — — medi	r Rostro frontale
a <sup>2</sup> — — posteriori	pa <sup>3</sup> — — — posteriori	t Telson
C Coda	pc Piedi codali	T Torace
C <sup>I</sup> 1.° segmento della coda	pc <sup>1</sup> Piedi codali anteriori	T <sup>I</sup> 1.° segmento del torace
C <sup>II</sup> 2.° — —	pc <sup>2</sup> — — — medi	T <sup>II</sup> 2.° — —
C <sup>III</sup> 3.° — —	pc <sup>3</sup> — — — posteriori	T <sup>III</sup> 3.° — —
K Capo	pm Piedi mascellari	T <sup>IV</sup> 4.° — —
li Labbro inferiore	pt Piedi toracici	T <sup>V</sup> 5.° — —
ls — superiore	pt <sup>1</sup> Gnatopodi anteriori	T <sup>VI</sup> 6.° — —
md Mandibole	pt <sup>2</sup> — — posteriori	T <sup>VII</sup> 7.° — —

## Tavola 1.

**Aspetto generale. — Gammarini del Porto e delle Alghe sommerse.**

	Ingr.	Pagina del testo
Fig. 1. <i>Nicippe pullida</i> . Varietà del Porto Militare . . . . .	15	657
» 2. <i>Maera truncatipes</i> . Varietà col margine unguicolare dei gnatopodi posteriori inciso. — Dalle alghe delle scogliere di Posilipo . . . . .	13	725
» 3. <i>Microdeutopus algicola</i> ♂. — Dalle alghe delle scogliere di Mergellina . . . . .	18	418
» 4. <i>Elasmopus pocillimanus</i> ♂. — Dalle alghe delle scogliere di Mergellina . . . . .	10	733
» 5. <i>Lysianae hispidus</i> ♀. Due individui sopra una colonia di <i>Protula intestinum</i> , uno in atto di camminare e l'altro seminascosto, come è solito costume. In entrambi è evidente il mimetismo col tubi bianchi e col ciuffo branchiale fiammeggiante dei vermi. — Dalla carena di una nave nel Porto Militare . . . . .	10	792
» 6. <i>Melita palmata</i> ♂. — Dalle Alghe delle scogliere del Chiatamone . . . . .	12	713
» 7. <i>Melita obtusata</i> ♂. — Dal Porto Militare . . . . .	13	711
» 8. <i>Melita fucicola</i> ♂. — Dal Porto mercantile . . . . .	15	709
» 9. <i>Elasmopus affinis</i> ♂. — Dalle banchine del Porto mercantile . . . . .	9	734
» 10. <i>Erichthonius difformis</i> ♂ e ♀. Due individui mezzo nascosti in uno stesso tubo. In basso il maschio, in alto la femmina in atto di prendere con le antenne posteriori delle zollette di fango per accomodare il tubo guasto (cf. p. 260). — Dalle banchine del Porto mercantile . . . . .	20	381
» 11. <i>Corophium acherusicum</i> ♂ e ♀. Tre individui con tre ricettacoli. L'animale che si vede intero è un maschio; i due mezzo nascosti sono due femmine in atto di riattare il tubo. La femmina che è in basso stende le antenne posteriori per prendere una zolletta di fango (cf. p. 260). — Dalle banchine del Porto mercantile . . . . .	20	364
» 12. <i>Microdeutopus gryllotalpa</i> ♂. — Dalle banchine del Porto mercantile . . . . .	20	411

## Tavola 2.

### Aspetto generale. — Gammarini delle Alge sommerse e semisommerse, e della sabbia del litorale.

	Ingr.	Pagina del testo
Fig. 1. <i>Gammarus locusta</i> . ♂ e ♀. Il maschio trasporta a nuoto una femmina (cf. p. 280). — Dalle alghe delle scogliere del Chiatamone . . . . .	5	759
2. <i>Amphithoe rubricata</i> . ♂. Varietà rossa. — Dalle alghe sommerse delle scogliere di Posilipo.	6	456
3. <i>Hyale pontica</i> . ♂ e ♀. Un maschio che porta a nuoto una femmina. — Dalle alghe delle scogliere di Mergellina. . . . .	13	523
4. <i>Ampelisca rubella</i> . Dalle Alge delle scogliere di Mergellina . . . . .	15	482
5. <i>Orchestia Deshayesii</i> . ♂. In atto di spiccare il salto. — Dalla sabbia del litorale di Posilipo.	8	507
6. <i>Hyale Prerostii</i> . ♂ e ♀. Una coppia nuotante. — Dai cespi di <i>Ulva lactuca</i> semisommersi attaccati alle scogliere di Mergellina. . . . .	10	519
7. <i>Platophium brasiliense</i> . ♂. Un maschio assiso nella sua maniera ordinaria di atteggiamento. — Dalle Alge sommerse delle scogliere di Posilipo . . . . .	20	329
8. <i>Orchestia chilensis</i> . ♂. — Dalla sabbia del litorale di Posilipo . . . . .	5	498
9. <i>Aora gracilis</i> . ♂. — Dalle alghe sommerse delle scogliere di Posilipo . . . . .	13	407
10. <i>Maera grossimana</i> . ♂. — Dai vecchi cespi di <i>Posidonia</i> di S. Pietro a due Frati . . . . .	18	727
11. <i>Orchestia gammarellus</i> . ♂. — Dalla sabbia del litorale di Mergellina, presso ad uno scolo di fogna. . . . .	6	499
12. <i>Grubia crassicornis</i> . ♀. Una femmina nel tubo gelatinoso fabbricato in un bicchiere (cf. p. 259). — Dalle Alge sommerse delle scogliere di Posilipo . . . . .	10	464

## Tavola 3.

### Aspetto generale. — Gammarini di profondità e di alghe sommerse.

Fig. 1. <i>Ichnopus taurus</i> . — Dalle Tartanelle . . . . .	8	801
2. <i>Haploops tubicola</i> . — Dai fondi corallini, alla profondità di 20-40 m. . . . .	8	486
3. <i>Photis Reinhardi</i> . Varietà con le antenne crasse. — Dalle alghe degli scogli di Nisida. . . . .	20	395
4. <i>Leucothoe Richardii</i> . — Dai cespi di <i>Posidonia</i> a S. Pietro a Due Frati. . . . .	12	654
5. <i>Acanthozone bispinosa</i> . — Dalle alghe sommerse delle scogliere di Posilipo . . . . .	20	609
6. <i>Lysianax longicornis</i> . — Dai materiali portati su dalle Tartanelle . . . . .	12	790
7. <i>Pereionotus testudo</i> . — Dalle alghe delle scogliere di Posilipo. . . . .	25	559
8. <i>Eusiroides Caesaris</i> . — Dalle alghe sommerse di Posilipo, Cala di 30 remi . . . . .	7	672
9. <i>Megaluropus agilis</i> . — A 200 metri dalla Stazione Zoologica, alla profondità di 12 metri, fondo sabbioso. . . . .	18	695
10. <i>Cerapopsis longipes</i> . ♀. — Col precedente. . . . .	28	388
11. <i>Biancolina algicola</i> . — Dalle alghe sommerse della scogliera Principe Luigi a Posilipo. . . . .	70	562
12. <i>Atylus Swammerdamii</i> . — Dalla pesca pelagica con la rete di profondità. . . . .	13	698
13. <i>Autonoe longipes</i> . ♂. — Dalle alghe sommerse delle scogliere intorno al Castello dell'Uovo. . . . .	20	403
14. <i>Melita obtusata</i> . ♂ juv.? — Dal fondo sabbioso innanzi alla Stazione Zoologica, 10-20 m. . . . .	20	713
15. <i>Kröyeria haplocheles</i> . — Fra le alghe sommerse delle scogliere di Posilipo . . . . .	18	553



## Tavola 4.

**Aspetto generale. — Gammarini che si dragano dal fondo sabbioso e dal fangoso,  
a 10-30 metri di profondità, ad alcune centinaia di metri dalla Via Caracciolo.**

	Ingr.	Pagina del testo
Fig. 1. <i>Krøyeria arenaria</i> . ♂. — Dal fondo sabbioso-fangoso . . . . .	25	554
2. <i>Ampelisca dialema</i> . — Dal fondo prevalentemente sabbioso . . . . .	15	479
3. <i>Oediceros affinis</i> . ♂. — Dal fondo sabbioso-fangoso . . . . .	18	548
4. <i>Ampelisca brevicornis</i> . — Dal fondo prevalentemente sabbioso. Le antenne anteriori, per errore, sono state qui riprodotte troppo lunghe. Le proporzioni esatte sono invece disegnate nella Tav. 38, Fig. 3 . . . . .	15	473
5. <i>Amphilocheus brunneus</i> . — Dal fondo prevalentemente sabbioso . . . . .	25	596
6. <i>Halimedon rectirostris</i> . — Dal fondo prevalentemente fangoso . . . . .	25	537
7. <i>Corophium runcicorne</i> . ♂. — Dal fondo prevalentemente sabbioso . . . . .	25	369
8. <i>Stimpsonella armata</i> . ♀. — Dal fondo prevalentemente sabbioso . . . . .	35	422
9. <i>Oediceros longimanus</i> . ♂. — Dal fondo sabbioso-fangoso . . . . .	25	547
10. <i>Leptocheirus pilosus</i> . — Dal fondo sabbioso-fangoso . . . . .	15	427
11-13. <i>Siphonocetes typicus</i> . — Dal fondo prevalentemente sabbioso. Nella fig. 11 l'animale visto di lato; in 12 un individuo nel suo atteggiamento ordinario nello stato di riposo; in 13 un individuo nel tubo. . . . .	15	358

## Tavola 5.

**Aspetto generale. — Gammarini che si dragano dal fondo sabbioso e dal fangoso,  
a 10-30 metri di profondità ad alcune centinaia di metri dalla Via Caracciolo.**

Fig. 1. <i>Bathyporeia pilosa</i> . ♀. — Dal fondo sabbioso . . . . .	20	752
2. <i>Microdentopus Stationis</i> . ♂. — Dal fondo sabbioso . . . . .	9	415
3. <i>Urothoeirrostrata</i> . ♀. Veduta dal dorso. — Dal fondo sabbioso . . . . .	14	664
4. <i>Ichuopus Schmardae</i> . — Dal fondo sabbioso-fangoso . . . . .	12	803
5. <i>Phoxocephalus oculatus</i> . — Dal fondo fangoso . . . . .	35	740
6. <i>Harpinia neglecta</i> . — Dal fondo fangoso . . . . .	20	747
7. <i>Antonoe spiniventris</i> . ♂. — Dal fondo sabbioso . . . . .	18	400
8. <i>Urothoeirrostrata</i> . ♂. Veduta di lato. — Dal fondo sabbioso . . . . .	18	664
9. <i>Dezaminie spinosa</i> . Varietà grigia nello stato di riposo. — Dal fondo sabbioso . . . . .	8	573
10. <i>Phoxocephalus chelatus</i> . ♀. — Dal fondo fangoso . . . . .	50	742
11. <i>Leucothoe serraticarpus</i> . Veduta dal dorso. — Dal fondo sabbioso . . . . .	12	656
12. <i>Dezaminie spinosa</i> . Varietà rosea nello stato di riposo. — Dal fondo sabbioso . . . . .	8	573

## Tavola 6.

**Aspetto generale. — Gammarini commensali, o subparassiti, e Gammarini di varia provenienza.**

	Ingr.	Pagina del testo
Fig. 1. <i>Ceradocus fasciatus</i> . — Dai Faraglioni, presso Capri . . . . .	8	721
2. <i>Colomastir pusilla</i> . — Dai canali gastro-vascolari di una spugna. . . . .	20	854
3. <i>Chelura terebrans</i> . — Dai tronchi marciti galleggianti . . . . .	15	347
4. <i>Leucothoe spinicarpa</i> . — Dalla cavità branchiale di una <i>Phallusia mentula</i> raccolta dalle Tartanelle . . . . .	10	652
5. <i>Iphimediopsis Eblunae</i> . — Dalle Tartanelle . . . . .	20	586
6. <i>Lysianax punctatus</i> . ♀. — Su gli ovari maturi dei Paguri delle Tartanelle. . . . .	12	789
7. <i>Isaea Montagu</i> . — Dalla cavità branchiale della <i>Maia squinado</i> . . . . .	20	679
8. <i>Lafystius Sturionis</i> . — Dal dorso del <i>Lophius piscatorius</i> . . . . .	27	588
9. <i>Aristias neglectus</i> . — Dalla cavità branchiale della <i>Phallusia mentula</i> . . . . .	12	844
10. <i>Dexamine gibbosa</i> . A destra una spugna ( <i>Suberites domuncula</i> ) in grandezza naturale che fa vedere le molte piccole fessure della superficie dove albergano i Gammarini. A sinistra un pezzettino di spugna sezionato e ingrandito $\frac{30}{1}$ per mostrare la cavità interna che segue ad ogni fessura e l'animale che vi è dentro nel suo atteggiamento ordinario (cf. p. 263). . . . .	30	576
11. <i>Callisoma Hopei</i> . Da un guscio vuoto di Spatango, raccolto dalle Tartanelle. . . . .	8	839
12. <i>Acidostoma laticorne</i> . Due individui: quello a destra adagiato sul fondo sabbioso, ma con la coda già affondata in esso; l'altro a sinistra già scomparso nella sabbia per metà, col capo all'inghiù (cf. p. 287, in nota). . . . .	7	782

## Tavola 7.

**Sistematica. — Generi *Chelura*, *Siphonoecetes* e *Platophium*.**

Figg. 1-22. <i>C. Chelura terebrans</i> . . . . .	347
Le antenne e le parti boccali ingr. $\frac{100}{1}$ ; i gnatopodi $\frac{30}{1}$ ; i piedi toracici dei gruppi medio e posteriore e i piedi addominali $\frac{45}{1}$ .	
Fig. 15. Estremità posteriore del corpo di un maschio giovane co' piedi codali piccoli ingr. $\frac{45}{1}$ .	
Figg. 11, 16, 17 e 19. I piedi codali e il telson di un maschio adulto co' piedi codali posteriori grandi. Ingr. $\frac{30}{1}$ . . . . .	350
Figg. 23-38. <i>S. Siphonoecetes typicus</i> . . . . .	358
La parte anteriore del capo col rostro frontale (Fig. 24) ingr. $\frac{60}{1}$ ; le antenne $\frac{35}{1}$ ; le parti boccali $\frac{130}{1}$ ; i gnatopodi $\frac{100}{1}$ ; gli altri piedi toracici e i piedi addominali $\frac{70}{1}$ ; la coda con le appendici annesse (Fig. 38) $\frac{45}{1}$ .	
Figg. 39-58. <i>P. Platophium brasiliense</i> . . . . .	329
La parte anteriore del capo ingr. $\frac{62}{1}$ ; le antenne $\frac{70}{1}$ ; i piedi mascellari $\frac{45}{1}$ ; le altre parti boccali $\frac{170}{1}$ ; i gnatopodi $\frac{70}{1}$ ; tutte le altre appendici $\frac{62}{1}$ .	
Fig. 58. Parte posteriore della coda ingr. $\frac{100}{1}$ .	

## Tavola 8.

### Sistematica. — Genere *Corophium*.

	Pagina del testo
Figg. 1-16 e 19. <i>Cr. Corophium runcicorne</i> . . . . .	369
17-18 e 20-41. <i>Cu. Corophium acherusicum</i> . . . . .	364
Le antenne (Figg. 1-8 e 19, <i>Cr.</i> , e Figg. 17-18, 20-25, 30-31, <i>Cu</i> ) ingr. $\frac{42}{1}$ ; le parti boccali (Figg. 32, 33, 38, 39) $\frac{170}{1}$ ; i piedi toracici, addominali e codali (Figg. 9-16, <i>Cr.</i> , e 26-29, 35-37, 40-41, <i>Cu</i> ) $\frac{75}{1}$ . Le unghie dei gnatopodi del <i>C. runcicorne</i> (Figg. 9. <sup>a</sup> e 12. <sup>a</sup> ) $\frac{170}{1}$ . I retinacoli dei piedi addominali del <i>C. Acherusicum</i> (Fig. 40. <sup>a</sup> ) $\frac{550}{1}$ .	

## Tavola 9.

### Sistematica. — Generi *Erichthonius* e *Cerapopsis*.

Figg. 1-19. <i>E. Erichthonius difformis</i> . . . . .	381
La parte anteriore del capo (Fig. 3), l'epistoma col labbro superiore (Fig. 4) e le antenne ingr. $\frac{70}{1}$ ; i piedi mascellari $\frac{200}{1}$ ; tutte le altre parti boccali $\frac{107}{1}$ ; i piedi toracici e i codali $\frac{70}{1}$ .	
Fig. 5. Le spine incisive delle mandibole ingr. $\frac{300}{1}$ .	
Figg. 20-40. <i>C. Cerapopsis longipes</i> . . . . .	388
Le antenne e i piedi ingr. $\frac{100}{1}$ , le parti boccali $\frac{250}{1}$ .	
Figg. 39, 40. Gnatopodi di un maschio in via di metamorfosi dei caratteri sessuali . . . . .	388

## Tavola 10.

### Sistematica. — Generi *Photis*, *Autonoe* e *Microdeutopus*.

Figg. 1-19. <i>Ph. Photis Reinhardi</i> . Forma con le antenne gracili . . . . .	395
Le antenne (Figg. 1, 2) ingr. $\frac{70}{1}$ ; le parti boccali $\frac{113}{1}$ ; i piedi toracici e i piedi addominali $\frac{70}{1}$ ; la coda $\frac{37}{1}$ .	
Fig. 9. Forma con le antenne crasse ingr. $\frac{35}{1}$ .	
Figg. 20-30. <i>A. Autonoe longipes</i> . . . . .	403
Le antenne ingr. $\frac{100}{1}$ ; i piedi toracici $\frac{70}{1}$ ; la coda $\frac{100}{1}$ .	
Figg. 31-41. <i>M. Microdeutopus Stationis</i> . . . . .	415
Tutte le appendici ingr. $\frac{27}{1}$ .	

## Tavola 11.

### Sistematica. — Generi *Microdeutopus* e *Stimpsonella*.

	Pagina del testo
Figg. 1-12. <i>Mu. Microdeutopus algicola</i> . . . . .	418
Tutte le appendici ingr. $\frac{300}{1}$ .	
Figg. 13-24. <i>Mr. Stimpsonella armata</i> . . . . .	422
Figg. 13, 14, 16, 22. Appendici della femmina ingr. $\frac{70}{1}$ .	
Fig. 15. Profilo della superficie ventrale di alcuni segmenti del torace per mostrare gli uncini. Ingr. $\frac{100}{1}$ .	
Figg. 23, 24. Appendici del maschio ingr. $\frac{70}{1}$ .	
Figg. 25-43. <i>Mg. Microdeutopus gryllotalpa</i> . . . . .	411
Le antenne ingr. $\frac{80}{1}$ ; le parti boccali $\frac{120}{1}$ ; i gnatopodi $\frac{60}{1}$ ; le altre appendici $\frac{80}{1}$ .	
Fig. 36. Le spine delle mandibole ingr. $\frac{600}{1}$ .	

## Tavola 12.

### Sistematica. — Generi *Leptocheirus* ed *Aora*.

Figg. 1-14. <i>Lp. Leptocheirus pilosus</i> . . . . .	427
Le antenne ingr. $\frac{45}{1}$ ; le parti boccali $\frac{120}{1}$ ; le altre appendici $\frac{60}{1}$ .	
Figg. 15-24. <i>Lg. Leptocheirus guttatus</i> . . . . .	430
Tutte le appendici ingr. $\frac{30}{1}$ .	
Figg. 25-39. <i>A. Aora gracilis</i> . . . . .	407
Le antenne ingr. $\frac{50}{1}$ ; i piedi toracici $\frac{70}{1}$ .	
Figg. 27, 28. Processi incisivi delle mandibole ingr. $\frac{100}{1}$ .	
Fig. 29. Palpo della mascella anteriore sinistra ingr. $\frac{300}{1}$ .	
Fig. 30. Estremità del palpo destro dei piedi mascellari ingr. $\frac{400}{1}$ .	

## Tavola 13.

### Sistematica. — Generi *Amphithoe*, *Grubia* ed *Isaea*.

Figg. 1-17. <i>Al. Amphithoe rubricata</i> . . . . .	456
Le antenne, i gnatopodi della femmina, i piedi toracici dei gruppi medio e posteriore ingr. $\frac{18}{1}$ ; le parti boccali $\frac{100}{1}$ ; i gnatopodi del maschio $\frac{40}{1}$ ; i piedi codali $\frac{71}{1}$ .	
Figg. 18-29. <i>Ad. Grubia crassicornis</i> . . . . .	464
Le antenne ingr. $\frac{25}{1}$ ; le altre appendici $\frac{30}{1}$ .	
Fig. 19. Parte di una delle antenne anteriori per mostrare il flagello accessorio. Ingr. $\frac{75}{1}$ .	
Figg. 30-42. <i>I. Isaea Montagu</i> . . . . .	679
Le antenne ingr. $\frac{60}{1}$ ; le parti boccali $\frac{100}{1}$ ; i gnatopodi $\frac{80}{1}$ ; gli altri piedi toracici $\frac{60}{1}$ ; i piedi codali $\frac{12}{1}$ .	

## Tavola 14.

### Sistematica. — Generi *Podocerus* e *Protomeleia*.

	Pagina del testo
Figg. 1-10. <i>Pr. Podocerus fulvatus</i> . . . . .	445
Le antenne e i piedi toracici ingr. $\frac{30}{1}$ ; i piedi codali $\frac{36}{1}$ .	
Figg. 11-27. <i>Po. Podocerus ocinus</i> . . . . .	448
Le antenne ingr. $\frac{80}{1}$ ; la mandibola e la mascella $\frac{160}{1}$ ; i piedi mascellari $\frac{150}{1}$ ; le altre appendici $\frac{80}{1}$ .	
Fig. 19. Due spine incisive della mandibola ingr. $\frac{300}{1}$ .	
Fig. 26. Estremità del piede codale posteriore sinistro ingr. $\frac{320}{1}$ .	
Figg. 28-40. <i>Pm. Protomeleia maculata</i> . . . . .	436
Tutte le appendici ingr. $\frac{70}{1}$ .	
Figg. 28-31 Appendici di un individuo più robusto dell'ordinario.	
Fig. 29. Gnatopodi posteriori col margine unguicolare anomalo.	

## Tavola 15.

### Sistematica. — Genere *Orchestia*.

Figg. 1-12. <i>Ol. Orchestia gammarellus</i> . . . . .	499
Le antenne ingr. $\frac{18}{1}$ ; i gnatopodi $\frac{12}{1}$ ; le altre appendici $\frac{20}{1}$ .	
Figg. 13-30. <i>Od. Orchestia Deshayesi</i> . . . . .	507
Le antenne ingr. $\frac{18}{1}$ ; le parti boccali $\frac{12}{1}$ ; i gnatopodi $\frac{30}{1}$ ; le altre appendici $\frac{18}{1}$ .	
Fig. 16. Estremità del flagello di una delle antenne anteriori ingr. $\frac{30}{1}$ .	
Fig. 17. Una delle spine ingr. $\frac{300}{1}$ .	
Fig. 18. Parte del flagello delle antenne posteriori ingr. $\frac{60}{1}$ .	
Fig. 25. Parte dei piedi mascellari ingr. $\frac{160}{1}$ ; accanto una setola ingr. $\frac{700}{1}$ .	
Figg. 31-38. <i>Om. Orchestia chilensis</i> . . . . .	498
Le antenne ingr. $\frac{12}{1}$ ; i gnatopodi $\frac{18}{1}$ ; le altre appendici $\frac{12}{1}$ .	
Fig. 32. Estremità del flagello delle antenne anteriori ingr. $\frac{60}{1}$ .	
Figg. 39-43. <i>Oh. Orchestia gammarellus</i> . Varietà trovata in un giardino. . . . .	499
Tutte le appendici ingr. $\frac{2}{1}$ .	

## Tavola 16.

### Sistematica. — Genere *Hyale*.

Figg. 1-13. <i>Hp. Hyale pontica</i> . . . . .	523
Le antenne e i piedi ingr. $\frac{12}{1}$ ; le parti boccali $\frac{10}{1}$ .	
Figg. 14-22. <i>Ill. Hyale Lubbockiana</i> . . . . .	526
Tutte le appendici ingr. $\frac{32}{1}$ .	



	Pagina del testo
Figg. 23-42. <i>Hu.</i> e <i>Hf.</i> <i>Hyale Prerostii</i> . . . . .	519
Le antenne e i piedi $3\frac{1}{4}$ ; le parti boccali $200\frac{1}{4}$ .	
Figg. 39-42. Appendici di un individuo notevole per le antenne posteriori tutte piene di alghe filamentose.	
Figg. 43-47. <i>Hc.</i> <i>Hyale aquilina</i> . . . . .	523
Tutte le appendici ingr. $\frac{1}{4}$ .	

## Tavola 17.

### Sistematica. — Generi *Atylus*, *Acanthozone* ed *Eusiroides*.

Figg. 1-21. <i>A. Atylus Swammerdamii</i> . . . . .	698
Le antenne ingr. $2\frac{5}{4}$ ; le parti boccali $11\frac{1}{4}$ ; i gnato-podi $60\frac{1}{4}$ ; gli altri piedi $40\frac{1}{4}$ .	
Figg. 22-36. <i>Ph. Acanthozone bispinosa</i> . . . . .	609
Le antenne ingr. $3\frac{3}{4}$ ; le parti boccali $130\frac{1}{4}$ ; i gnato-podi e i piedi toracici del 3° paio $6\frac{1}{4}$ ; gli altri piedi toracici $60\frac{1}{4}$ .	
Figg. 37-48. <i>Ps. Eusiroides Caesaris</i> . . . . .	672
Le antenne ingr. $1\frac{4}{4}$ ; le parti boccali $130\frac{1}{4}$ ; i gnato-podi e i piedi toracici del gruppo medio $2\frac{3}{4}$ ; gli altri piedi $1\frac{1}{4}$ .	

## Tavola 18.

### Sistematica. — Generi *Dexamine* ed *Eusirus*.

Figg. 1-19. <i>D. Dexamine spinosa</i> . . . . .	573
Le antenne ingr. $2\frac{3}{4}$ ; le parti boccali $70\frac{1}{4}$ ; i gnato-podi $2\frac{3}{4}$ ; gli altri piedi toracici $1\frac{1}{4}$ .	
Fig. 18. Addome e coda di un individuo visto di lato. Ingr. $1\frac{8}{4}$ .	
Fig. 19. Telson ingr. $40\frac{1}{4}$ .	
Figg. 20-40. <i>T. Dexamine gibbosa</i> . . . . .	576
Le antenne ingr. $60\frac{1}{4}$ ; le parti boccali $200\frac{1}{4}$ ; i gnato-podi $150\frac{1}{4}$ ; gli altri piedi toracici $60\frac{1}{4}$ ; i piedi codali e il telson $120\frac{1}{4}$ .	
Fig. 34. Addome e coda di un individuo veduto di lato. Ingr. $60\frac{1}{4}$ .	
Figg. 41-50. <i>E. Eusirus cuspidatus</i> . . . . .	659
Le antenne ingr. $2\frac{3}{4}$ ; le parti boccali $110\frac{1}{4}$ ; i gnato-podi, i piedi codali e il telson $2\frac{3}{4}$ . Cf. anche Tav. 59, Figg. 79-82, <i>E.</i>	

## Tavola 19.

### Sistemática. — Generi *Leucothoe* e *Nicippe*.

	Pagina del testo
Figg. 1-20. <i>Ls. Leucothoe spinicarpa</i> . . . . .	652
Le antenne ingr. $\frac{50}{1}$ ; le parti boccali $\frac{112}{1}$ ; i gnatopodi $\frac{50}{1}$ ; gli altri piedi toracici $\frac{25}{1}$ ; i piedi codali e il telson $\frac{30}{1}$ .	
Fig. 20. Archi laterali del 2. <sup>o</sup> e 3. <sup>o</sup> segmento addominale ingr. $\frac{20}{1}$ .	
Fig. 21. <i>Lr. Leucothoe Richardii</i> . . . . .	654
Archi laterali degli ultimi due segmenti dell'addome ingr. $\frac{22}{1}$ .	
Figg. 22-23. <i>Lp. Leucothoe pachycera</i> . ♂ . . . . .	651
Antenne ingr. $\frac{80}{1}$ .	
Figg. 24-28. <i>Lp. Leucothoe serraticarpa</i> . . . . .	656
Gnatopodi ingr. $\frac{35}{1}$ .	
Fig. 28. Ultimi due segmenti dell'addome ingr. $\frac{25}{1}$ .	
Figg. 29-34. <i>Leucothoe pachycera</i> . . . . .	651
Tutte le parti ingr. $\frac{50}{1}$ .	
Figg. 35-52. <i>Lb. Nicippe pallida</i> . . . . .	658
Le antenne ingr. $\frac{45}{1}$ ; le parti boccali $\frac{100}{1}$ ; i gnatopodi $\frac{33}{1}$ ; gli altri piedi toracici $\frac{20}{1}$ .	
Fig. 38. Rostro frontale ingr. $\frac{45}{1}$ .	
Fig. 43. Addome e coda veduti dal dorso ingr. $\frac{33}{1}$ .	
Fig. 51. Parte inferiore del 2. <sup>o</sup> e 3. <sup>o</sup> segmento addominale ingr. $\frac{45}{1}$ .	

## Tavola 20.

### Sistemática. — Genere *Cheiroceratus*.

In questa tavola sono aggruppate le appendici di 5 individui diversi, di cui alcuni apparivano normali, ed altri avevano qualche piede o qualche antenna rigenerata (cf. p. 690). Indicando questi individui con le lettere A, B, C, D, E, le varie parti disegnate sono distribuite come segue:

A	Figg. 1, 2, 10-23, 26. <i>Ch. assimilis</i> . Giovane ♂ normale . . . . .	688
B	» 3, 4, 24, 25, 27, 30. <i>Ch. Sunderalli</i> . ♂ adulto . . . . .	690
	Il piede toracico del 7. <sup>o</sup> paio sembra anormale, almeno per le sue dimensioni relative. Forse anche le antenne non sono normali.	
C	» 5-7. <i>Ch. assimilis</i> . ♂ adulto. . . . .	689
	Lo gnatopodo posteriore di sinistra (Fig. 5), in via di rigenerazione, riproduce la forma giovanile della Fig. 28.	
D	» 8, 9. <i>Ch. assimilis</i> . ♀ . . . . .	688
E	» 28, 29. <i>Ch. assimilis</i> . ♂ giovane . . . . .	690
	In tutte le figure le antenne e i piedi toracici sono ingr. $\frac{60}{1}$ ; le parti boccali $\frac{130}{1}$ ; i segmenti addominali e codali $\frac{40}{1}$ .	

## Tavola 21.

### Sistematica. — Generi *Maera* e *Ceratlocus*.

	Pagina del testo
Figg. 1-16. <i>Mg. Maera grossimana</i> . . . . .	282
Le antenne e i piedi toracici ingr. $\frac{42}{1}$ ; la coda con le sue appendici $\frac{70}{1}$ ; le parti boccali $\frac{150}{1}$ .	
Fig. 12. Estremità dell' unghia dei piedi toracici del 5. <sup>o</sup> paio ingr. $\frac{330}{1}$ .	
14. Epimeri del 2. <sup>o</sup> e 3. <sup>o</sup> segmento addominale ingr. $\frac{42}{1}$ .	
15. Epimeri toracici del 3. <sup>o</sup> , 4. <sup>o</sup> e 5. <sup>o</sup> segmento toracico ingr. $\frac{50}{1}$ .	
Figg. 17-33. <i>Mo. Ceratlocus fasciatus</i> . . . . .	721
Le antenne ingr. $\frac{20}{1}$ ; le parti boccali $\frac{60}{1}$ ; i piedi toracici $\frac{20}{1}$ ; la coda con le appendici $\frac{18}{1}$ .	
Figg. 22, 23. Mano dei gnato-podi posteriori di un ♂. Una delle mani (Fig. 22) è in rigenerazione.	
26 e 27. Epimeri del 3. <sup>o</sup> segmento addominale di uno stesso individuo. I denti dell' angolo postero-inferiore di destra sono diversi da quelli di sinistra. Ingr. $\frac{30}{1}$ .	

## Tavola 22.

### Sistematica. — Generi *Elasmopus* e *Maera*.

Figg. 1-15. <i>Er. Elasmopus affinis</i> . . . . .	734
Le antenne e tutti i piedi ingr. $\frac{30}{1}$ ; le parti boccali $\frac{130}{1}$ .	
Figg. 16-22. <i>Ec. Elasmopus rapax</i> . . . . .	736
Tutte le parti ingr. $\frac{30}{1}$ .	
Figg. 23-25. <i>Ep. Elasmopus pocillimanus</i> . . . . .	733
Tutte le parti ingr. $\frac{30}{1}$ .	
Figg. 26-40. <i>M. Maera truncatipes</i> . . . . .	725
Le antenne e i piedi toracici ingr. $\frac{42}{1}$ . Il palpo della mandibola (Fig. 35) ingr. $\frac{110}{1}$ .	

## Tavola 23.

### Sistematica. — Genere *Melita*.

Figg. 1-19. <i>Mo. Melita obtusata</i> . . . . .	711
Le antenne ingr. $\frac{30}{1}$ ; le parti boccali $\frac{115}{1}$ ; i gnato-podi $\frac{60}{1}$ ; gli altri piedi toracici e la coda $\frac{60}{1}$ .	
Fig. 19. Epimeri del 2. <sup>o</sup> e 3. <sup>o</sup> segmento addominale ingr. $\frac{40}{1}$ .	
Figg. 20-23. <i>Mm. Melita obtusata</i> juv. . . . .	713
Gnato-podi (ingr. $\frac{50}{1}$ ) della Varietà giovanile che si trova nel fondo sabbioso.	
Figg. 24-40. <i>Mp. Melita palmata</i> . . . . .	713
Le antenne ingr. $\frac{18}{1}$ ; le parti boccali $\frac{107}{1}$ ; i gnato-podi $\frac{48}{1}$ ; gli altri piedi toracici $\frac{20}{1}$ ; la coda $\frac{60}{1}$ .	
Figg. 33-35. Epimeri toracici del 5. <sup>o</sup> e 7. <sup>o</sup> paio del maschio, messi in riscontro con quelli (Figg. 36-38) del maschio, ingr. $\frac{50}{1}$ .	
Fig. 39. Epimeri degli ultimi due segmenti addominali ingr. $\frac{50}{1}$ .	

## Tavola 24.

### Sistematica. — Generi *Melita* e *Gammarus*.

	Pagina del testo
Figg. 1-19. <i>Gb. Melita fucicola</i> . . . . .	709
Le antenne ingr. $\frac{36}{1}$ ; le parti boccali $\frac{100}{1}$ ; i gnatopodi e i piedi toracici del gruppo medio $\frac{36}{1}$ ; i piedi toracici del gruppo medio $\frac{25}{1}$ ; i piedi addominali e i codali $\frac{36}{1}$ .	
Fig. 18. Parte di uno dei piedi addominali più ingrandita ( $\frac{110}{1}$ ) per mostrare i muscoli interni e i retinacoli.	
Figg. 20-34. <i>G. Gammarus locusta</i> . . . . .	759
Tutte le appendici ingr. $\frac{18}{1}$ .	
Fig. 35. <i>Gp. Gammarus pungens</i> . . . . .	762
Piedi codali posteriori e telson ingr. $\frac{18}{1}$ .	

## Tavola 25.

### Sistematica. — Genere *Lysianax*.

Figg. 1-15. <i>Ll. Lysianax longicornis</i> . . . . .	790
Le antenne ingr. $\frac{50}{1}$ ; le parti boccali $\frac{60}{1}$ ; i piedi $\frac{70}{1}$ .	
Figg. 16-21. <i>Lb. Lysianax bispinosus</i> . . . . .	792
Le parti boccali ingr. $\frac{60}{1}$ ; tutte le altre appendici $\frac{60}{1}$ .	
Figg. 22-32. <i>Lp. Lysianax punctatus</i> . . . . .	789
Le parti boccali ingr. $\frac{110}{1}$ ; i piedi $\frac{50}{1}$ .	

## Tavola 26.

### Sistematica. — Generi *Callisoma*, *Aristias* e *Anonyx*.

Figg. 1-15. <i>S. Callisoma Hopei</i> . . . . .	839
Le antenne ingr. $\frac{54}{1}$ ; le parti boccali $\frac{70}{1}$ ; i gnatopodi $\frac{30}{1}$ ; gli altri piedi toracici $\frac{20}{1}$ ; la coda e i piedi codali $\frac{54}{1}$ .	
Figg. 9 e 10. Estremità distale dei processi incisivi principali delle mandibole ingr. $\frac{220}{1}$ . Cf. anche Tav. 43, Fig. 19.	
Figg. 16-31. <i>A. Aristias neglectus</i> . . . . .	844
Le antenne ingr. $\frac{60}{1}$ ; le parti boccali $\frac{95}{1}$ ; i piedi toracici, la coda e i piedi codali $\frac{70}{1}$ .	
Fig. 19. Superficie esterna del 3. <sup>o</sup> articolo del palpo mandibolare ingr. $\frac{95}{1}$ .	
Figg. 32-37. <i>C. Anonyx humilis</i> . . . . .	817
Le antenne ingr. $\frac{100}{1}$ ; i piedi toracici $\frac{45}{1}$ ; i piedi codali e il telson $\frac{60}{1}$ .	

## Tavola 27.

### Sistematica. — Genere *Ichnopus*.

	Pagina del testo
Figg. 1-22. <i>I. Ichnopus taurus</i> . . . . .	801
Le antenne ingr. $\frac{300}{1}$ ; le parti boccali $\frac{45}{1}$ ; i piedi toracici $\frac{20}{1}$ ; la coda e i piedi codali $\frac{50}{1}$ .	
Figg. 12, 13. Due forme diverse del 7. <sup>o</sup> articolo dei gnatopodi anteriori ingr. $\frac{100}{1}$ .	
Fig. 22. Ramo interno dei piedi codali medii ingr. $\frac{20}{1}$ .	
Figg. 23-32. <i>A. Ichnopus Schmaridae</i> . . . . .	803
Tutte le appendici ingr. $\frac{50}{1}$ .	

## Tavola 28.

### Sistematica. — Generi *Acidostoma* e *Anonyx*.

Figg. 1-21. <i>A. Acidostoma laticorne</i> . . . . .	782
Le parti boccali ingr. $\frac{45}{1}$ ; tutte le altre appendici $\frac{30}{1}$ .	
Figg. 22-35. <i>Ae. Anonyx pinguis</i> . . . . .	821
Le antenne ingr. $\frac{115}{1}$ ; le parti boccali $\frac{250}{1}$ ; i gnatopodi $\frac{115}{1}$ ; gli altri piedi toracici $\frac{100}{1}$ ; i piedi codali e il telson $\frac{150}{1}$ .	
Figg. 36-42. <i>Al. Anonyx nanus</i> . . . . .	820
I gnatopodi ingr. $\frac{115}{1}$ ; gli altri piedi toracici $\frac{62}{1}$ ; il telson e i piedi codali $\frac{115}{1}$ .	

## Tavola 29.

### Sistematica. — Generi *Amphilocheus*, *Gitana* e *Hippomedon*.

Figg. 1-15. <i>Bb. Amphilocheus brunneus</i> . . . . .	596
Le antenne ingr. $\frac{100}{1}$ ; le parti boccali $\frac{230}{1}$ ; i piedi toracici $\frac{60}{1}$ ; i piedi codali $\frac{100}{1}$ .	
Fig. 3. Arco cefalico disteso per mostrare il rostro frontale; ingr. $\frac{60}{1}$ .	
Fig. 14. Parte dei gnatopodi posteriori maggiormente ingrandita ( $\frac{100}{1}$ ).	
Figg. 16-17. <i>Bn. Amphilocheus neapolitanus</i> . . . . .	595
Gnatopodi ingr. $\frac{100}{1}$ .	
Figg. 18-32. <i>A. Gitana Sarsii</i> . . . . .	590
Le antenne ingr. $\frac{100}{1}$ ; le parti boccali $\frac{210}{1}$ ; le altre appendici $\frac{60}{1}$ .	
Figg. 33-42. <i>Hippomedon denticulatus</i> . . . . .	808
Tutte le appendici ingr. $\frac{60}{1}$ .	



## Tavola 30.

### Sistematica. — Generi *Stenothoe* e *Peltocoxa*.

	Pagina del testo
Figg. 1-18. <i>S. Stenothoe Antennulariae</i> . . . . .	565
Le antenne ingr. $\frac{100}{1}$ ; la mandibola, le labbra e le mascelle $\frac{250}{1}$ ; i piedi mascellari $\frac{150}{1}$ ; i piedi toracici $\frac{100}{1}$ ; i piedi codali e il telson $\frac{250}{1}$ .	
Figg. 19-32. <i>G. Peltocoxa dannoniensis</i> . . . . .	648
Le parti boccali ingr. $\frac{250}{1}$ ; tutte le altre appendici $\frac{170}{1}$ .	
Figg. 33-36. <i>U. Stenothoe</i> , sp.? . . . . .	564
Tutte le appendici ingr. $\frac{170}{1}$ .	

## Tavola 31.

### Sistematica. — Generi *Pereionotus* e *Guernea*.

Figg. 1-19. <i>P. Pereionotus testudo</i> . . . . .	559
Le parti boccali ingr. $\frac{300}{1}$ ; le altre appendici $\frac{50}{1}$ .	
Fig. 5. Profilo del dorso ingr. $\frac{40}{1}$ .	
Figg. 20-33. <i>M. Guernea coalita</i> . . . . .	570
Le parti boccali ingr. $\frac{300}{1}$ ; le altre appendici $\frac{230}{1}$ .	
V. anche Tav. 58, Fig. 80.	

## Tavola 32.

### Sistematica. — Generi *Iphimediopsis*, *Lafystius* e *Biancolina*.

Figg. 1-19. <i>I. Iphimediopsis Eblanae</i> . . . . .	586
Le antenne e parti boccali ingr. $\frac{70}{1}$ ; tutte le altre appendici $\frac{50}{1}$ .	
Fig. 17. Parte dorsale dei segmenti addominali ingr. $\frac{20}{1}$ .	
Vedi pure Tav. 58, Fig. 93.	
Figg. 20-37. <i>L. Lafystius Sturionis</i> . . . . .	588
Le antenne ingr. $\frac{100}{1}$ ; le parti boccali $\frac{210}{1}$ ; i piedi $\frac{75}{1}$ .	
Figg. 38-53. <i>Biancolina alpicola</i> . . . . .	562
Le parti boccali ingr. $\frac{230}{1}$ ; le altre appendici $\frac{140}{1}$ .	

## Tavola 33.

### Sistematica. — Generi *Halimedon* e *Oediceros*.

	Pagina del testo
Figg. 1-15. <i>Or. Halimedon rectirostris</i> . . . . .	537
Le antenne ingr. $7^1/1$ ; le parti boccali $230^1/1$ ; i gnatopodi $7^1/1$ ; gli altri piedi $60^1/1$ .	
Figg. 16-26. <i>Og. Oediceros griseus</i> . . . . .	551
Le parti boccali ingr. $100^1/1$ ; tutte le altre appendici ingr. $60^1/1$ .	
Figg. 27-31. <i>Oa. Oediceros affinis</i> . . . . .	548
Tutti i piedi toracici ingr. $5^1/1$ .	
Figg. 32-36. <i>Ol. Oediceros longimanus</i> . . . . .	547
Piedi toracici dei gruppi anteriore e medio ingr. $100^1/1$ ; gli altri piedi toracici $60^1/1$ .	

## Tavola 34.

### Sistematica. — Generi *Megaluropus* e *Kröyera*.

Figg. 1-17. <i>K. Megaluropus agilis</i> . . . . .	695
Le parti boccali ingr. $230^1/1$ ; tutte le altre appendici $60^1/1$ .	
Figg. 18-34. <i>P. Kröyera arenaria</i> . . . . .	554
Le antenne ingr. $7^1/1$ ; le parti boccali $230^1/1$ ; i gnatopodi $103^1/1$ ; le altre appendici $75^1/1$ .	
Figg. 35-39. <i>Pn. Kröyera haplocheles</i> . . . . .	553
Tutti i piedi ingr. $7^1/1$ .	

## Tavola 35.

### Sistematica. — Generi *Harpinia* e *Phoxocephalus*.

Figg. 1-18. <i>H. Harpinia neglecta</i> . . . . .	747
Le parti boccali ingr. $130^1/1$ ; tutte le altre appendici $60^1/1$ .	
Figg. 19-28. <i>Pl. Phoxocephalus ocalatus</i> . . . . .	740
Tutte le appendici ingr. $150^1/1$ .	
Figg. 29-35. <i>Po. Phoxocephalus chelatus</i> . . . . .	742
Tutte le appendici ingr. $130^1/1$ .	

## Tavola 36.

### Sistematica. — Generi *Urothoe* e *Bathyporeia*.

	Pagina del testo
Figg. 1-18. <i>U. Urothoe irrostrata</i> . . . . .	664
Le antenne ingr. $\frac{70}{1}$ ; le parti boccali $\frac{130}{1}$ ; tutte le altre appendici $\frac{35}{1}$ .	
Figg. 19-32. <i>B. Bathyporeia pilosa</i> . . . . .	752
Le antenne ingr. $\frac{60}{1}$ ; le parti boccali $\frac{230}{1}$ ; i gnatopodi $\frac{60}{1}$ ; gli altri piedi toracici $\frac{30}{1}$ ; i piedi codali $\frac{60}{1}$ . Le dimensioni dei gnatopodi anteriori rispetto a quelle dei posteriori sono date dalla Fig. 24. Invece la Fig. 24* riproduce lo stesso gnatopodo anteriore ingr. $\frac{150}{1}$ .	

## Tavola 37.

### Sistematica. — Generi *Haploops* e *Ampelisca*.

Figg. 1-18. <i>H. Haploops tubicola</i> . . . . .	486
Le parti boccali ingr. $\frac{60}{1}$ ; tutte le altre appendici $\frac{30}{1}$ .	
Figg. 19, 20, 22-28, 30-38. <i>Ad. Ampelisca diadema</i> . . . . .	479
Le parti boccali $\frac{115}{1}$ ; le altre appendici $\frac{58}{1}$ .	
Fig. 21. <i>Aa. Ampelisca rubella</i> . . . . .	482
Coda e piedi codali ingr. $\frac{50}{1}$ .	
Fig. 29. <i>Ampelisca brevicornis</i> . . . . .	473
Mascella anteriore sinistra ingr. $\frac{115}{1}$ .	

## Tavola 38.

### Sistematica. — Generi *Ampelisca*, *Eriopisa* e *Niphargus*.

Figg. 1-16. A. Genere <i>Ampelisca</i> . . . . .	469
Fig. 1. <i>A. rubella</i> . — Capo con le antenne ingr. $\frac{50}{1}$ . . . . .	483
» 2. <i>A. diadema</i> . — Capo con le antenne ingr. $\frac{25}{1}$ . . . . .	479
» 3. <i>A. brevicornis</i> . — Capo con le antenne ingr. $\frac{25}{1}$ . . . . .	474
» 4. <i>A. rubella</i> . — Estremità distale di uno dei piedi toracici del 6. <sup>o</sup> paio ingr. $\frac{150}{1}$ . . . . .	482
» 5. <i>A. brevicornis</i> . — Piedi toracici del 6. <sup>o</sup> paio di destra ingr. $\frac{30}{1}$ . In 5* l' unghia ingr. $\frac{150}{1}$ . . . . .	474
» 6. <i>A. brevicornis</i> . — Piedi toracici del 5. <sup>o</sup> paio di destra ingr. $\frac{30}{1}$ . . . . .	474
» 7. <i>A. diadema</i> . — Piedi toracici del 6. <sup>o</sup> paio di destra ingr. $\frac{30}{1}$ . In 7* l' unghia ingr. $\frac{150}{1}$ . . . . .	481
» 8. <i>A. diadema</i> . — Piedi toracici del 5. <sup>o</sup> paio di destra ingr. $\frac{30}{1}$ . . . . .	481
» 9. <i>A. brevicornis</i> . — Piedi toracici del 7. <sup>o</sup> paio di destra ingr. $\frac{30}{1}$ . In 9* gli articoli 3. <sup>o</sup> 4. <sup>o</sup> e 5. <sup>o</sup> veduti dal lato interno. . . . .	474
» 10. <i>A. rubella</i> . — Piedi toracici del 7. <sup>o</sup> paio di destra ingr. $\frac{30}{1}$ . . . . .	483
» 11. <i>A. diadema</i> . — Telson ingr. $\frac{30}{1}$ . . . . .	481

	Pagina del testo
Fig. 12. <i>A. diadema</i> — Piedi toracici del 7. <sup>o</sup> paio di destra ingr. <sup>30</sup> / <sub>1</sub> .	481
13. <i>A. brevicornis</i> . — I due ultimi segmenti dell'addome veduti di lato, ingr. <sup>30</sup> / <sub>1</sub> .	473
14. <i>A. diadema</i> . — Profilo della linea ventrale toracica ingr. <sup>30</sup> / <sub>1</sub> .	479
15. <i>A. diadema</i> . — Gli ultimi due segmenti addominali ingr. <sup>30</sup> / <sub>1</sub> .	479
16. <i>A. rubella</i> . — (Gli ultimi due segmenti dell'addome ingr. <sup>30</sup> / <sub>1</sub> .	482
Figg. 17-30. <i>E. Eriopisa elongata</i> . . . . .	706
Le parti boccali ingr. <sup>115</sup> / <sub>1</sub> ; le altre appendici <sup>25</sup> / <sub>1</sub> .	
Figg. 31-34. <i>M. Niphargus subterraneus</i> . . . . .	704
Fig. 31. Mandibola ingr. <sup>62</sup> / <sub>1</sub> .	
32. Gnato-podi anteriore ingr. <sup>29</sup> / <sub>1</sub> .	
33. " posteriore ingr. <sup>29</sup> / <sub>1</sub> .	
34. Piedi codali posteriori e telson ingr. <sup>18</sup> / <sub>1</sub> .	

## Tavola 39.

### Anatomia. — Antenne. Parti boccali.

<b>Antenne</b> (pp. 12-18).				<b>Labbro inferiore</b> (p. 23).			
		Ingr.	Pag.			Ingr.	Pag.
Figg.	1-2. <i>Percionotus testudo</i> . . . . .	50	560	Figg.	37. <i>Orchestia Deshayesi</i> . . . . .	45	502
"	3-6. <i>Corophium runcicorne</i> . . . . .	42	369	"	38. <i>Photis Reinhardii</i> . . . . .	115	396
"	7-8. <i>Siphonocetes typicus</i> . . . . .	35	359	"	39. <i>Ichnopus Taurus</i> . . . . .	45	802
"	9-10. <i>Podocerus fulcatus</i> . . . . .	30	446	"	40. <i>Iphimediopsis Eblanae</i> . . . . .	70	586
"	11-12. <i>Orchestia Deshayesi</i> . . . . .	18	507	"	41. <i>Amphithoe rubricata</i> . . . . .	100	457
"	13-14. <i>Ceratoceus fasciatus</i> . . . . .	20	721	<b>Mascelle anteriori</b> (pp. 24-25).			
"	15-18. <i>Atylus Swammerdamii</i> ♂ e ♀ . . . . .	25	699	"	12. <i>Bathyporeia pilosa</i> . . . . .	230	753
"	19. <i>Aonyx pinguis</i> . . . . .	115	822	"	13. <i>Decamine gibbosa</i> . . . . .	200	577
"	20-21. <i>Chelura terebrans</i> . . . . .	100	348	"	14. <i>Iphimediopsis Eblanae</i> . . . . .	70	586
"	22-23. <i>Eusirus cuspidatus</i> . . . . .	25	670	"	15. <i>Orchestia Deshayesi</i> . . . . .	45	502
"	24. <i>Bathyporeia pilosa</i> . . . . .	60	752	"	16. <i>Acidostoma laticorne</i> . . . . .	45	783
"	25-26. <i>Harpinia neglecta</i> . . . . .	60	747	"	17. <i>Lafystius Sturionis</i> . . . . .	210	588
<b>Labbro superiore</b> (p. 20).				"	48. <i>Hyale Prerostii</i> . . . . .	200	521
"	27. <i>Amphithoe rubricata</i> . . . . .	100	457	"	49. <i>Eusirus cuspidatus</i> . . . . .	110	670
"	28. <i>Iphimediopsis Eblanae</i> . . . . .	70	586	"	50. <i>Cheirocratus assimilis</i> . . . . .	130	689
"	29. <i>Stenothoe Antennulariae</i> . . . . .	250	565	"	51. <i>Percionotus testudo</i> . . . . .	300	560
"	30. <i>Leucothoe spinicarpa</i> . . . . .	115	653	"	52. <sup>a</sup> <i>Siphonocetes typicus</i> . . . . .	130	359
x Lobo maggiore; y lobo minore; z porzione membranosa.				<b>Mascelle posteriori</b> (p. 25).			
<b>Mandibole</b> (pp. 20-22).				"	52. <i>Percionotus testudo</i> . . . . .	300	560
"	31. <i>Lysianax bispinosus</i> . . . . .	60	791	"	53. <i>Iphimediopsis Eblanae</i> . . . . .	70	586
"	32. <i>Amphithoe rubricata</i> . . . . .	100	457	"	54. <i>Acidostoma laticorne</i> . . . . .	45	783
"	33. <i>Leucothoe spinicarpa</i> . . . . .	115	653	"	55. <i>Orchestia Deshayesi</i> . . . . .	45	502
"	34. <i>Percionotus testudo</i> . . . . .	300	560	"	56. <i>Siphonocetes typicus</i> . . . . .	130	359
"	35. <i>Orchestia Deshayesi</i> . . . . .	45	501	"	57. <i>Aristias neglectus</i> . . . . .	95	845
"	36. <i>Ichnopus Taurus</i> . . . . .	45	801				

## Tavola 40.

### Anatomia. — Parti boccali. Piedi toracici.

#### Piedi mascellari (pp. 25-27).

Fig.		Ingr.	Pag.
1.	<i>Lafystius Sturionis</i> . . . . .	210	588
2.	<i>Pereionotus testudo</i> . . . . .	300	560
3.	<i>Orchestia Deshayesii</i> . . . . .	45	502
4.	<i>Bathyporeia pilosa</i> . . . . .	230	753
5.	<i>Iphimediopsis Eblanae</i> . . . . .	70	586
6.	<i>Stenothoe Antennulariae</i> . . . . .	150	565
7.	<i>Leucothoe spinicarpa</i> . . . . .	115	654
8.	<i>Corophium acherusicum</i> . . . . .	170	365
9.	<i>Elasmopus affinis</i> . . . . .	130	735
10.	<i>Ichnopus taurus</i> . . . . .	45	802

#### Gnatopodi o Piedi toracici del gruppo anteriore (pp. 30-32).

11.	<i>Cerapopsis longipes</i> . . . . .	100	390
12.	<i>Iphimediopsis Eblanae</i> . . . . .	50	587
13.	<i>Bathyporeia pilosa</i> . . . . .	60	753
14.	<i>Callisoma Hopei</i> . Gnatopodo anteriore . . . . .	30	840
15.	<i>Callisoma Hopei</i> . Gnatopodo posteriore . . . . .	30	840
16.	<i>Chelura terebrans</i> . . . . .	90	348
17.	<i>Oedicerus longimanus</i> . Gnatopodo anteriore . . . . .	100	848
18.	<i>Oedicerus longimanus</i> . Gnatopodo posteriore . . . . .	100	848
19.	<i>Kröyera arenaria</i> . . . . .	60	555
20.	<i>Leptocheirus pilosus</i> . . . . .	60	429
21.	<i>Aora gracilis</i> . . . . .	70	408
22.	<i>Nicippe pallida</i> . . . . .	45	660
23.	<i>Eusirus cuspidatus</i> . . . . .	25	670
24.	<i>Orchestia Deshayesii</i> . Gnatopodo anteriore del ♂ adulto . . . . .	30	508
25.	<i>Orchestia Deshayesii</i> . Gnatopodo posteriore di una ♀ . . . . .	30	507

Fig.		Ingr.	Pag.
26.	<i>Orchestia Deshayesii</i> . Gnatopodo posteriore di un ♂ adulto . . . . .	30	508
27.	<i>Melita obtusata</i> . Parte di gnatopodo posteriore di un ♂ adulto . . . . .	60	713
28.	<i>Stenothoe Antennulariae</i> . . . . .	100	565
29.	<i>Corophium acherusicum</i> . . . . .	75	365
30.	<i>Chelura terebrans</i> . . . . .	90	348
31.	<i>Phaeocephalus chelatus</i> . . . . .	150	742
32.	<i>Amphilocheus neapolitanus</i> . . . . .	100	595
33.	<i>Erichthonius difformis</i> . . . . .	70	386
34.	<i>Leucothoe serraticarpa</i> . . . . .	35	656

#### Piedi toracici del gruppo medio (pp. 32-33).

35.	<i>Platophium brasiliense</i> . . . . .	70	331
36.	<i>Maera grossimana</i> . . . . .	42	728
37.	<i>Atylus Swammerdamii</i> . . . . .	40	700
38.	<i>Siphonocetes typicus</i> . . . . . <i>gl<sup>II</sup> - gl<sup>IV</sup></i> Glandole del 2. <sup>o</sup> -4. <sup>o</sup> articolo.	70	360
39.	<i>Ampelisca diadema</i> . Piede toracico del 3. <sup>o</sup> paio . . . . . <i>gli</i> glandole interne; <i>gl<sup>I</sup>-gl<sup>IV</sup></i> glandole dell'epinero, del 2. <sup>o</sup> del 3. <sup>o</sup> e del 4. <sup>o</sup> articolo	30	480
40.	<i>Ampelisca diadema</i> . Piede toracico del 4. <sup>o</sup> paio . . . . . <i>m</i> muscolo estensore del 2. <sup>o</sup> articolo. Le altre lettere come nella figura precedente.	30	481
41.	<i>Hacpinia neglecta</i> . Piede toracico del 4. <sup>o</sup> paio . . . . .	30	748

## Tavola 41.

### Anatomia. — Piedi toracici, addominali e codali. Telson.

#### Piedi toracici del gruppo posteriore (pp. 33-34).

		Ingr.	Pag.
Fig. 1.	<i>Harpinia neglecta</i> . . . . .	60	748
» 2.	<i>Urothoe irrostrata</i> . . . . .	35	666
» 3.	<i>Bathyporeia pilosa</i> . . . . .	30	753
» 4.	<i>Callisoma Hopei</i> . . . . .	20	840
» 5.	<i>Maera grossimana</i> . . . . .	42	728
» 6.	<i>Isaea Montagni</i> . . . . .	60	680
» 7.	<i>Corophium runcicorne</i> . . . . .	75	370
» 8.	<i>Haploops tubicola</i> . . . . .	30	488
» 9.	<i>Ampelisca brevicornis</i> . . . . .	30	474
» 10.	<i>Oedicerus longimanus</i> . . . . .	60	532

#### Piedi addominali o Pleopodi (pp. 34-35).

Fig. 11.	<i>Platophium brasiliense</i> . . . . .	62	331
» 12.	<i>Corophium runcicorne</i> . . . . .	75	370
» 13.	<i>Orchestia Deshayesii</i> . . . . .	18	503
» 14.	<i>Chelura terebrans</i> . . . . .	45	349
» 15.	<i>Pereionotus testudo</i> . . . . .	50	561

#### Piedi codali o Uropodi (pp. 36-37).

#### Segmenti addominali e codali. Telson (p. 246).

Fig. 16.	<i>Megaluropus agilis</i> . . . . .	60	696
» 17.	<i>Grubia crassicornis</i> . . . . .	30	465
» 18.	<i>Orchestia Deshayesii</i> . . . . .	18	503

		Ingr.	Pag.
Fig. 19.	<i>Podocerus ocus</i> . . . . .	80	448
» 20.	<i>Erichthonius difformis</i> . . . . .	70	385
» 21.	<i>Bathyporeia pilosa</i> . . . . .	60	753
» 22.	<i>Atylus Swammerdamii</i> . . . . .	40	700
» 23.	<i>Ampelisca diadema</i> . . . . .	48	481
» 24.	<i>Platophium brasiliense</i> . . . . .	62	331
» 25.	<i>Pereionotus testudo</i> . . . . .	50	561
» 26.	<i>Corophium acherusicum</i> . . . . .	75	366
» 27.	<i>Chelura terebrans</i> . . . . .	45	349
» 28.	<i>Anonyx humilis</i> . . . . .	60	818
» 29.	<i>Microdentopus algicola</i> . . . . .	90	419
» 30.	<i>Acanthozona bispinosa</i> . . . . .	60	611
» 31.	<i>Siphonocetes typicus</i> . . . . .	115	361
» 32.	<i>Urothoe irrostrata</i> . . . . .	35	666
» 33.	<i>Cheirocratus assimilis</i> . . . . .	40	689
» 34.	<i>Nicippe pallida</i> . . . . .	45	660
» 35.	<i>Melita obtusata</i> . . . . .	60	712
» 36.	<i>Deraminc spinosa</i> . . . . .	18	575

#### Rapporti generali delle varie appendici.

Fig. 37.	<i>Maera grossimana</i> . . . . .	30	727
Un individuo veduto dal lato destro.			

## Tavola 42.

### Anatomia. — Parti boccali. Dermal scheletro e Articolazioni.

#### Figg. 1-11. *Gammarus locusta*.

		Pagine del testo
Fig. 1.	Parti boccali, come si vedono dopo che sono stati levati i piedi mascellari, i quali erano articolati nella fossetta <i>x</i> ; - <i>ep</i> epistoma veduto in parte. Ingr. $\frac{13}{1}$ . . . . .	18, 25
2.	La preparazione precedente dopo che si sono levate anche le mascelle posteriori, le quali erano articolate nella fossetta <i>y</i> . Ingr. $\frac{13}{4}$ . . . . .	24
3.	La stessa preparazione quando sono state tolte anche le mascelle anteriori, le quali erano articolate in <i>z</i> . Ingr. $\frac{13}{1}$ . . . . .	20, 23
» 4.	Spine dentate falciiformi <i>sp d</i> , e setole ciliate <i>sc</i> d'una mandibola. Ingr. $\frac{65}{11}$ . . . . .	21, 53

- Fig. 5. Parte del dermascheletro del torace e del capo ottenuto colla macerazione nella potassa. La figura è destinata a dimostrare specialmente le lamine endocefaliche che nel *Gammarus locusta* prendono la forma di un anello e poi si continuano in varie apofisi  $\alpha, \beta$ . Ingr.  $^{13}/_1$ . . . . . 38, 42
- » 6. Capo veduto di lato, per indicare la successione antero-posteriore delle varie appendici della bocca, il margine laterale inferiore del segmento cefalico e i vari articoli dei peduncoli delle antenne. Ingr.  $^{14}/_1$ . . . . . 5, 12, 18
- » 7. Mandibola. —  $pr i$  Processo incisivo principale; —  $pr i'$  processo incisivo accessorio; —  $spd$  spine dentate falciformi; —  $tum$  tubercolo molare; —  $y$  superficie d'attacco dei muscoli adduttori; —  $tm$  tendine del muscolo adduttore principale. Ingr.  $^{18}/_1$ . . . . . 20
- » 8. Piedi mascellari veduti dalla superficie superiore, perchè si noti meglio la loro conformazione generale a cucchiaino. Ingr.  $^{13}/_1$ . . . . . 25
- » 9. Parti boccali esaminate dalla superficie inferiore. Oltre alla superficie inferiore dei piedi mascellari, si vede parte del labbro superiore, delle mandibole e le mascelle del 1.<sup>o</sup> paio. Nel fondo, tra il labbro superiore e le lamine esterne, corrisponde la bocca. Ingr.  $^{13}/_1$ . . . . . 25
- » 10. Piedi mascellari veduti di lato, per mostrare specialmente la sporgenza formata dalla riflessione ( $x$ ) delle lamine interne. Ingr.  $^{13}/_1$ . . . . . 10, 25
- » 11. Labbro inferiore e mascelle anteriori, veduti dalla superficie dorsale. Al labbro inferiore si attaccano dei muscoli  $m'$  nella parte media, e dei muscoli  $m$  nelle parti laterali. Ingr.  $^{11}/_1$ . . . . . 23

Figg. 12-17. *Orchestia Deshayesi*.

- Fig. 12. Capo veduto dalla superficie anteriore: i primi due articoli dell'antenna posteriore sono saldati al capo; l'epistoma  $ep$  si continua nei due pezzi  $x$  ed  $y$ , situati fra le antenne; —  $z$  parte che corrisponde al segmento mandibolare. Ingr.  $^{30}/_1$ . . . . . 7, 12, 43
- » 13. Capo veduto di lato. Fa vedere specialmente quella parte della superficie inferiore ( $w$ ) che si articola coi piedi mascellari. I due pezzi  $z z$  corrispondono rispettivamente ai segmenti mandibolare e mascellare. Ingr.  $^{30}/_1$ . . . . . 6, 41
- » 14. Parte del dermascheletro del capo ottenuto con la macerazione nella potassa, veduta dalla superficie interna, per mostrare gli apodemi endocefalici separati: —  $x$  inspessimenti chitinosi corrispondenti alle divisioni esterne del capo. Ingr.  $^{45}/_1$ . . . . . 23, 41, 44
- » 15. Mandibole e labbro superiore veduti dalla superficie inferiore. Ingr.  $^{45}/_1$ . . . . . 20, 43
- » 16. Dermascheletro, ottenuto come sopra, di parte d'uno dei gnatopodi anteriori. Dimostra le varie inserzioni chitinee tendinee dei muscoli  $tm$ . Ingr.  $^{45}/_1$ . . . . . 44
- » 17. Dermascheletro, ottenuto come sopra, di parte del piede toracico del 5.<sup>o</sup> paio: —  $y$  parte dell'epimero che è sottoposta alla porzione  $x$  del secondo articolo; —  $\beta$  e  $\gamma$  apofisi del 2.<sup>o</sup> articolo destinata alle inserzioni dei tendini. Ingr.  $^{35}/_1$ . . . . . 33, 45, 89

- Fig. 18. *Lysianax longicornis*. Parte del dermascheletro ottenuto come sopra. Presenta l'epistoma  $ep$  con la sua appendice unguiforme  $x$ , e con l'apofisi  $y$  che entra nella cavità corrispondente della mandibola; —  $tm$  tendini dei muscoli che muovono la mandibola. L'esofago  $es$  è accennato dalle due linee più oscure, come pure le eminenze spinose  $es$ ; —  $yy$  (in basso) parte laterale della superficie del capo. Ingr.  $^{75}/_1$ . . . . . 6, 21



# Tavola 43.

## Anatomia. — Muscoli. Dermascheletro e Articolazioni.

	Pagine del testo
Figg. 1-3. <i>Lysianax longicornis</i> .	
Fig. 1. Muscoli del labbro superiore. Ingr. $75/1$ .	87
» 2. L'animale diviso con un taglio sagittale per mostrare i muscoli del tronco, del capo e delle appendici: — <i>est d</i> estensori del dorso (p. 83); — <i>fl v</i> flessori del ventre; — <i>fl c</i> flessori della coda; — <i>est c</i> estensori della coda; — <i>m p a</i> muscoli dei piedi addominali (p. 90); — <i>m p t</i> muscoli dei piedi toracici (p. 89); — <i>fl o</i> flessori obliqui; — <i>x</i> estensori del capo; — <i>fl e</i> flessori del capo; — <i>m md</i> muscoli della mandibola; — <i>m ms<sup>1</sup></i> muscoli della mascella anteriore; — <i>m ms<sup>2</sup></i> muscoli della mascella posteriore; — <i>m pm</i> muscoli adduttori dei piedi mascellari. Ingr. $20/1$ .	83, 89, 90
» 3. Dermascheletro ottenuto colla macerazione nella potassa: <i>x</i> piega della cuticola per l'inserzione dei muscoli flessori del capo. Ingr. $20/1$ .	37, 83
Fig. 4. <i>Bathyporeia pilosa</i> . Muscoli contenuti nel 1. <sup>o</sup> e 2. <sup>o</sup> articolo dell'antenna anteriore: — <i>e I, f I</i> estensori e flessori del 1. <sup>o</sup> articolo; — <i>e II, f II</i> estensori e flessori del 2. <sup>o</sup> articolo; — <i>e III, f III</i> estensori e flessori del 3. <sup>o</sup> articolo. Ingr. $170/1$ .	86, 752
Figg. 5, 6. <i>Orchestia Deshayesii</i> .	
Fig. 5. Muscoli delle antenne anteriori veduti dalla superficie esterna.	
» 6. Gli stessi veduti dalla superficie interna: — <i>e I, f I</i> estensori e flessori del 1. <sup>o</sup> articolo; — <i>e II, f II</i> estensori e flessori del 2. <sup>o</sup> articolo; — <i>lf III</i> lungo flessore del 3. <sup>o</sup> articolo. Ingr. $110/1$ .	86
Fig. 7. <i>Maera grossimana</i> . Metà del capo ottenuta con taglio sagittale e disegnata dalla superficie interna. Fa vedere il muscolo grande adduttore ( <i>ga</i> ) delle mandibole, i muscoli delle altre parti boccali, gli estensori ( <i>ea<sup>2</sup></i> ) e i flessori ( <i>fa<sup>2</sup></i> ) delle antenne posteriori, gli estensori e i flessori dei vari articoli delle antenne anteriori e posteriori. Ingr. $60/1$ .	86, 88, 89
» 8. <i>Vibilia Jeangerardii</i> . Dermascheletro ottenuto colla macerazione nella potassa. Si confronti con quello del <i>Lysianax longicornis</i> (Fig. 3). Ingr. $20/1$ .	37
» 9. <i>Bathyporeia pilosa</i> . Estremità di un piede del 5. <sup>o</sup> paio toracico per mettere in evidenza il 7. <sup>o</sup> articolo (VII) rudimentale. Ingr. $360/1$ . (Quest'articolo si vede solo con lenti di forte ingrandimento. Cf. p. 753).	
» 10. <i>Aristias neglectus</i> . Apofisi ( <i>a</i> ) del 2. <sup>o</sup> articolo del piede toracico del 5. <sup>o</sup> paio: <i>tm, t<sup>1</sup>m, t<sup>2</sup>m</i> tendini muscolari. Ingr. $170/1$ .	89
» 11. <i>Urothoeirrostrata</i> . Mandibole col muscolo estensore del 1. <sup>o</sup> articolo dal palpo ( <i>ep</i> ), racchiuso nel corpo. Ingr. $100/1$ .	88
» 12. <i>Corophium acherusicum</i> . Piedi addominali per mostrare i muscoli ( <i>ap</i> ) contenuti nell'articolo basilare e destinati al movimento dell'articolo stesso; ed inoltre i vari muscoli motori dei due rami: — <i>pad</i> piccolo adduttore; — <i>lab</i> lungo abduttore; — <i>ab re</i> abduttore del ramo esterno. Ingr. $85/1$ .	90
» 13. <i>Orchestia Deshayesii</i> . Parte del dermascheletro ottenuta colla macerazione nella potassa, veduto dalla superficie inferiore, la quale fa notare i vari inspessimenti chitinosi dei segmenti. Ingr. $15/1$ .	39
Figg. 14-18. <i>Vibilia Jeangerardii</i> .	
Fig. 14. Piedi addominali veduti dalla superficie posteriore per mostrare la profonda doccia ( <i>d</i> ) presentata da ciascuno di essi, e come il ramo esterno ( <i>re</i> ) rimanga indietro del ramo interno ( <i>ri</i> ). Ingr. $12/1$ .	35

Fig. 15. Contorno del taglio trasversale d' un piede addominale: — <i>sa</i> , <i>sp</i> superficie anteriore e posteriore; — <i>d</i> doccia. Ingr. $^{12}/_1$ . . . . .	35
» 16. Articolo basilare del piede addominale veduto di lato: — ( <i>sa</i> ) superficie anteriore Ingr. $^{12}/_1$ . . . . .	35
» 17. Rami di un piede addominale: sul ramo esterno è l'apofisi ( <i>x</i> ) contro cui viene a battere il ramo interno. Ingr. $^{24}/_1$ . . . . .	35
» 18. Dermascheletro ottenuto colla macerazione nella potassa, veduto dalla superficie ventrale. Si vede che in corrispondenza dei primi segmenti toracici non esistono inspessimenti. Ingr. $^{15}/_1$ . . . . .	39
Fig. 19. <i>Callisoma Hopei</i> . Estremità di uno dei gnatopodi posteriori ingr. $^{300}/_1$ , coll' unghia rudimentale (VII), munita di molte setole, le quali nondimeno non sono state tutte disegnate, per rendere più chiara la forma dell' unghia, la sua articolazione ( <i>x</i> ), e il tendine flessore ( <i>tf</i> ) . . . . .	840
» 20. <i>Ampelisca brevicornis</i> . Taglio longitudinale del dermascheletro dell' addome: — <i>ech</i> prolungamenti chitinosi dell' ectoderma, che danno inserzione ai muscoli addominali. Ingr. $^{300}/_1$ . . . . .	90
» 21. <i>Phronima sedentaria</i> . Taglio sagittale del corpo per mostrare i muscoli flessori ed estensori del tronco. Ingr. $^{12}/_1$ . . . . .	86
» 22. <i>Leucothoe spinicarpa</i> . Due segmenti dell' addome e il primo codale ingr. $^{35}/_1$ . In <i>x</i> e <i>y</i> i punti dove avviene la rotazione dei segmenti. . . . .	39
Figg. 23-25. <i>Maera grossimana</i> .	
Fig. 23. Muscoli dei piedi toracici del 7. <sup>o</sup> paio. . . . .	89
» 24. — — del 3. <sup>o</sup> paio. . . . .	89
» 25. — — del 2. <sup>o</sup> paio. . . . .	89

## Tavola 44.

### Anatomia. — Pelle e sue Appendici.

Figg. 1, 2. <i>Microdeutopus gryllotalpa</i> .	
Fig. 1. Taglio longitudinale della glandola antennale: — <i>cut</i> estremità cuticolare del dotto escretore; — <i>egl</i> epitelio glandolare; — <i>tc</i> tessuto connettivo. Ingr. $^{450}/_1$ . . . . .	72
» 2. Taglio trasverso della glandola antennale suddetta, per mostrare l' irregolarità dell' epitelio glandolare. Ingr. $^{450}/_1$ . . . . .	72
Fig. 3. <i>Niphargus puteanus</i> . Estremità del tubercolo conico del 2. <sup>o</sup> articolo di un' antenna posteriore veduta sul vivente: — <i>s</i> sostanza, forse segregata, che usciva dal foro della glandola. Ingr. $^{450}/_1$ . . . . .	72
» 4. <i>Ampelisca diadema</i> . Setole uditive impiantate sulla superficie inferiore del 1. <sup>o</sup> articolo d' una delle antenne anteriori: — <i>sug</i> setole uditive grandi; — <i>sup</i> setole uditive piccole. Qualcuna delle grandi è in connessione coll' ectoderma mediante un tenue filo che forse è la nuova setola, ma che simula un filetto nervoso. Ingr. $^{450}/_1$ . . . . .	55
» 5. <i>Harpinia neglecta</i> . Setole uditive ingr. $^{450}/_1$ . . . . .	55
» 6. <i>Leucothoe spinicarpa</i> . Cuticola del dermascheletro ( <i>cuttl</i> ) e ipoderma dell' articolazione del 4. <sup>o</sup> arco dorsale toracico col 5. <sup>o</sup> , veduti in un taglio sagittale: — <i>x</i> inspessimento del segmento posteriore: — <i>ni</i> nuclei dell' ipoderma; — <i>e</i> cuore. Ingr. $^{450}/_1$ . . . . .	63
» 7. <i>Microdeutopus gryllotalpa</i> . Taglio longitudinale della glandola del telson ( <i>glt</i> ): — <i>dr</i> , <i>dd</i> superficie ventrale e dorsale del dermascheletro; — <i>vi</i> ipoderma. Ingr. $^{450}/_1$ . . . . .	133

Figg. 8, 9. <i>Ampelisca diadema</i> .	
Fig. 8. Peli rudimentali della superficie del capo: — <i>z</i> un gruppo di peli per mostrare la loro disposizione irregolare. Ingr. $170/1$ . — <i>y</i> Alcuni peli isolati, ingranditi più fortemente ( $500/1$ ). . . . .	53
9. Margine esterno del ramo esterno d'uno dei piedi codali posteriori, sopra del quale sono le setole ( <i>si</i> ) della nuova cuticola separate da quelle ( <i>sd</i> ) dell'antica che si è distaccata insieme ai condottini delle glandole glutinifere di cui si vedono i fori di sbocco in <i>fdgl</i> . Ingr. $450/1$ . . . . .	65, 275
Fig. 10. <i>Orchestia gammarellus</i> . Peli ( <i>pre</i> ) e condottini glandolari ( <i>fdgl</i> ) dell'epimero dei gnatopodi anteriori. Ingr. $450/1$ . . . . .	65, 68
11. <i>Ampelisca diadema</i> . Concrezioni calcaree nel capo di una spoglia rigettata nella muda. Ingr. $100/1$ . . . . .	50
12. <i>Orchestia Deshayesii</i> . Cellule del labbro superiore: — <i>re</i> ramificazioni dei condottini. Ingr. $550/1$ . . . . .	64
Figg. 13, 14. <i>Orchestia Deshayesii</i> . Cuticola macerata con la potassa.	
Fig. 13. Impressioni lasciate dalle cellule. Qui e là qualche foro ( <i>fe</i> ) dei canali escretori delle glandole. Ingr. $170/1$ . . . . .	49
14. Alcune impressioni che mostrano i pori-canali. Ingr. $550/1$ . . . . .	49
Fig. 15. <i>Aristias neglectus</i> . Cuticola macerata nella potassa: — <i>z</i> impressioni cellulari con pori-canali; — <i>x</i> canaletti glandolari sparsi; — <i>y</i> id. allineati Ingr. $1000/1$ . . . . .	65
16. <i>Orchestia gammarellus</i> . Superficie esterna dell'epimero anteriore: — <i>gl</i> glandole glutinifere: — <i>cd</i> condottini di glandole lontane (?); — <i>i</i> cellule ordinarie dell'ipoderma; — <i>jed</i> fasci di fili che riuniscono le due lamine della piega ipodermica rappresentata dall'epimero. Ingr. $700/1$ . . . . .	63, 68
17. <i>Orchestia mediterranea</i> . Glandole glutinifere dell'epimero del 2. <sup>o</sup> paio: — <i>st</i> fascettini di fili che uniscono le due superficie interne. Ingr. $170/1$ . . . . .	64, 68
18. Aspetto della sabbia dove sono ammidate delle Orchestie. I fori corrispondono agli sbocchi dei cunicoli. Grandezza naturale. . . . .	65, 69
19. Aspetto laterale dei cunicoli suddetti, quando le Orchestie sono tenute per qualche giorno in un bicchiere. Grandezza naturale . . . . .	65, 69
20. <i>Ichnopus turvus</i> . Calceolo: — <i>x</i> sommità che s'incava per formare il calceolo; — <i>car</i> cavità centrale; — <i>sc</i> solco circolare. Ingr. $550/1$ . . . . .	62
Figg. 21, 22. <i>Gammarus pumgens</i> .	
Fig. 21. Calceolo in espansione. Ingr. $550/1$ . . . . .	62
22. Calceolo invaginato; — <i>tear</i> tubi di comunicazione fra la cavità interna e la superficie esterna; — <i>x</i> cavità d'invaginazione; — <i>m</i> alghe che crescono su' calceoli. Ingr. $550/1$ . . . . .	62
Fig. 23. <i>Callisoma Hopfi</i> . Epimero di uno dei gnatopodi anteriori per mostrare i cromatofori (?) che crescono nell'interno. Ingr. $30/1$ . . . . .	64
24. <i>Chelura terebrans</i> . Estremità d'uno dei rami dei piedi addominali, che fa vedere le nuove setole nell'interno delle antiche ( <i>ste</i> ), e i cordoni tendiniformi ( <i>sti</i> ) che si continuano nell'interno: — <i>ni</i> nuclei dell'ipoderma; — <i>x</i> un nucleo presso all'inserzione di una setola. Ingr. $550/1$ . . . . .	275
25. <i>Haploops tubicola</i> . Glandola del 2. <sup>o</sup> articolo dei piedi toracici del 3. <sup>o</sup> paio: — <i>cp</i> condotto principale; — <i>ce</i> condotto eccentrico; — <i>n</i> nucleo. Ingr. $300/1$ . . . . .	64, 69
Figg. 26-28. <i>Ampelisca brevicornis</i> .	
Fig. 26. Una cellula glutinifera dei piedi toracici del 7. <sup>o</sup> paio isolata, circondata da cellule connettivali, di cui alcune fanno vedere solamente i nuclei, e due sono separate ( <i>cc</i> ). Ingr. $450/1$ . . . . .	69
27. Taglio longitudinale del 2. <sup>o</sup> articolo dei piedi toracici del gruppo medio per mostrare le cellule glandolari ( <i>gl</i> ): — <i>d</i> cuticola; — <i>ni</i> nuclei dell'ipoderma; — <i>cne</i> canaletti escretori. Ingr. $450/1$ . . . . .	67, 69
28. Arco dorsale di un segmento toracico: — <i>x</i> sbocchi di canaletti glandolari; — <i>i</i> ipoderma. Ingr. $170/1$ . . . . .	63, 65

- Fig. 29. *Haploops tubicola*. Unghia di un piede toracico del 4.<sup>o</sup> paio, che fa vedere i fori dei condottini escretori che sboccano lateralmente in *fee*, e alla punta: — *fye* piccola cavità presso la punta; — *ss* setola sensitiva. Ingr. <sup>300</sup>/<sub>1</sub> . . . . . 55, 67
- » 30. *Grubia crassicornis*. Unghia di uno dei piedi toracici del 1.<sup>o</sup> paio: — *sb* seno comune di sbocco dei canali glandolari (*egl*); — *tmf* setole prensili. Ingr. <sup>350</sup>/<sub>1</sub> . . . . . 67
31. *Orchestia gammarellus*. Superficie esterna dell'epimero anteriore per mostrare le cellule glutinifere (*gl*) e i peli a madre vite (*y*). Ingr. <sup>170</sup>/<sub>1</sub> . . . . . 53, 68
32. *Haploops tubicola*. Estremità posteriore del corpo con le glandole (*gl*) che sboccano nei piedi codali anteriori. Ingr. <sup>36</sup>/<sub>1</sub>. — 32.\* Il ramo esterno dei piedi codali anteriori col fori di sbocco (*fe*) dei condottini ingr. <sup>300</sup>/<sub>1</sub>. In *sgft* un grumo di sostanza glutinosa . . . 61, 68

## Tavola 45.

### Anatomia. — Sistema nervoso.

Figg. 1, 2. *Orchestia Deshayesi*.

- Fig. 1. Cervello e catena gangliare: — *ga*<sup>1</sup>-*ga*<sup>3</sup> gangli addominali; — *gc* (in alto) lobi cerebroidi; — *gc* (in basso) gangli codali fusi insieme; — *gi* gangli delle parti boccali fusi insieme in una massa biloba; — *gt*<sup>1</sup>-*gt*<sup>7</sup> ganglio del 1.<sup>o</sup>-7.<sup>o</sup> segmento toracico. Ingr. <sup>10</sup>/<sub>1</sub>. 94, 96
- » 2. Cervello messo a nudo mediante un taglio frontale che ha asportato l'arco dorsale del capo e dei primi segmenti toracici: — *dep* diverticoli anteriori dei ciechi epato-pancreatici; — *dad* cieco anteriore dorsale; — *es* pieghe cardiache; — *st* stomaco. Ingr. <sup>16</sup>/<sub>1</sub> . . . . . 94, 96

Figg. 3, 4. *Microdeutopus gryllotalpa*.

- Fig. 3. Taglio sagittale, poco distante dalla linea mediana: — *ast* apodema endocefalico che sostiene lo stomaco; — *e* cuore; — *cep* uno dei ciechi epato-pancreatici; — *dad* cieco dorsale anteriore; — *es* pieghe cardiache; — *gls* glandole del labbro superiore; — *ga* ganglio delle antenne posteriori; — *nls* nervo del labbro superiore; — *gipm* ganglio interno dei piedi mascellari; — *ov* ovario; — *pji, pjr* connettivo pigmentato. Ingr. <sup>105</sup>/<sub>1</sub>. 64, 95, 120
- » 4. Parte della figura precedente più ingrandita per mostrare le relazioni del nervo del labbro superiore (*nls*) con le cellule gangliari (*cg*): — *il* ipoderma del labbro superiore. Ingr. <sup>700</sup>/<sub>1</sub>. . . . . 95

Figg. 5-10. *Ampelisca brevicornis*.

- Fig. 5. Cervello veduto dal dorso: — *cc* capsula connettivale pericerebrale; — *go* gangli ottici; — *gc* lobi cerebroidi. Ingr. <sup>75</sup>/<sub>1</sub>. . . . . 93, 109
- » 6. Cervello veduto di lato: — *ces* commessure paraesofagee; — *or* occhi rudimentali; — *gc* lobi cerebroidi; — *no* nervo ottico. Ingr. <sup>15</sup>/<sub>1</sub>. . . . . 93, 109
- » 7. Parte della catena gangliare isolata. In *x* (in alto) il muscolo del labbro inferiore (*mlt*) che attraversa la massa comune gangliare sottoesofagea (*gses*). Altri fori (*x, x*), situati anche nella parte inferiore, sono probabilmente vie sanguigne, residui degli spazi che dividevano i vari gangli nell'embrione. — *niv* Nervo intercommessurale. Ingr. <sup>45</sup>/<sub>1</sub>. . . . . 88, 94, 97
- » 8. Taglio sagittale, quasi mediano, di parte del capo e del torace: — *aa* aorta anteriore; — *ep* epitelio endocardico; — *fm* fibre muscolari del cuore e; — *mdst* muscoli dilatatori dello stomaco; — *mdst* setole delle pieghe gastriche; — *nls* muscoli del labbro superiore. Ingr. <sup>36</sup>/<sub>1</sub> . . . . . 88, 139, 140

Fig. 9. Taglio sagittale di un ganglio addominale: — *eg* cellule giganti; — *npa* nervo dei piedi addominali. Ingr.  $\frac{330}{1}$ . . . . . 97

• 10. Parte del taglio trasversale di un segmento toracico. Vi si nota la distribuzione del nervo corrispondente (*n*) e le sue relazioni con le cellule connettivali *ct*. Ingr.  $\frac{107}{1}$ . 96

Figg. 11-13. *Leucothoe spinicarpa*.

Fig. 11. Cervello e parte della catena gangliare veduti dal dorso: — *f'el* fibre longitudinali delle commessure. Ingr.  $\frac{70}{1}$ . . . . . 93, 95

12. Id. dal ventre: — *ga<sup>1</sup>*, *ga<sup>2</sup>* gangli delle antenne anteriori e posteriori; — *gp-gt<sup>1</sup>* ganglio posteriore o sottoesofageo che risulta dalla fusione dei gangli delle parti boccali, ed è fuso a sua volta anche col 1.<sup>o</sup> ganglio toracico; — *npt<sup>1</sup>* nervo del 1.<sup>o</sup> paio toracico suddiviso in ramo anteriore (*za*) e posteriore (*rp*); — *nc<sup>2</sup>* nervo intercommessurale delle commessure del 2.<sup>o</sup> paio. Ingr.  $\frac{70}{1}$ . . . . . 93, 140

• 13. Id. di lato: — *i* intestino; — *f* uno dei ciechi epato-pancreatici. Ingr.  $\frac{70}{1}$ . . . . . 93, 140

Figg. 14-16. *Vibilia Jeangerardii*.

Fig. 14. Sistema nervoso isolato: — *ga<sup>1</sup>*-*ga<sup>3</sup>* gangli addominali; — *gc<sup>1-3</sup>* gangli codali fusi insieme. Ingr.  $\frac{18}{1}$ . . . . . 95

15. Taglio trasverso del flagello delle antenne anteriori: — *gua<sup>1</sup>* ganglio interno delle antenne anteriori; — *si* superficie interna del flagello; — *ci* bastoncelli ialini. Ingr.  $\frac{71}{1}$ . 59, 95

• 16. Parte del taglio precedente maggiormente ingrandita: — *ip* ipoderma stratificato; — *colf* bastoncelli ialini. Ingr.  $\frac{550}{1}$ . . . . . 60

Figg. 17, 18. *Ampelisea diadema*.

Fig. 17. Spina a madre vite. Ingr.  $\frac{550}{1}$ . . . . . 53

• 18. Setole terminate da un lungo ciglio. Ingr.  $\frac{140}{1}$ . . . . . 53

## Tavola 46.

### Anatomia. — Occhi.

Figg. 1, 2. *Orchestia Deshayesii*.

Fig. 1. Taglio di un occhio secondo un meridiano. Tre ommatidii, di cui due con le rispettive cellule nei loro rapporti naturali e il terzo (che nella figura è il 1.<sup>o</sup> a sinistra) rappresentato soltanto dal cono cristallino coll' ipoderma distaccato dalla cuticola; — *x* scleropolatura della cuticola comune (*ct*) che passa sopra l'occhio; — *ip* ipoderma; — *cr* coni cristallini; — *r* cellule retiniche; — *no* nervo ottico. Ingr.  $\frac{550}{1}$ . . . . . 105, 107

• 2. Taglio trasverso di un occhio: —  $\alpha$ ,  $\beta$ ,  $\gamma$  sono gli ommatidii incontrati dal taglio a diversa altezza; — *fer* fessura che divide le due metà del cristallino. Ingr.  $\frac{550}{1}$ .

Fig. 3. *Leucothoe spinicarpa*. Taglio tangenziale di un occhio che ha incontrato alcuni ommatidii (*x*, *y*) trasversalmente, ed è riuscito parallelo ad alcuni altri (*cr*, *r*, *z*): — *cpo* capsula periottica; — *cr* coni cristallini; — *r* cellule retiniche; — *cct* capsula connettivale. Ingr.  $\frac{550}{1}$ . 106

Figg. 4-6. *Ampelisea diadema*.

Fig. 4. Taglio meridiano d' un occhio, insieme al ganglio ottico ed al lobo cerebrale corrispondenti: — *cl* cornea lenticolare; — *icg* ipoderma cheratogeno; — *boe* bastoncelli ottici esterni; — *cr* coni cristallini; — *gcr* gruppo di cellule produttrici del rhabdoma; — *mf* membrana fenestrata; — *r* cellule retiniche; — *cpt* capsula periottica; — *no* nervo ottico; — *lc* lobo cerebroide. Ingr.  $\frac{300}{1}$ . . . . . 109, 110

• 5. Lente cuticolare veduta dalla superficie interna col suo epitelio produttore (*icg*) ingr.  $\frac{300}{1}$ . . . . . 109, 110

Fig. 6. Taglio meridiano della parte periferica dell'occhio, per mostrare le grandi cellule cheratogene, o corpo vitreo (*icg*). Ingr.  $350/1$ . . . . . 109

Figg. 7, 8. *Vibilia Jeangerardii*.

Fig. 7. Un ommatidio isolato: — *ip* ipoderma; — *ct* connettivo; — *ns* nuclei del Semper; — *boi* bastoncini ottici interni o rabdomi; — *r* cellule retiniche; — *ct* connettivo. Ingr.  $550/1$ . 106

8. Taglio trasverso di tre ommatidii: — *ger* gruppo di cellule generatrici del rabdoma (*boi*). Ingr.  $500/1$ . . . . . 106

9-13. *Leucothoe spinicarpa*.

Fig. 9. (a sinistra) Taglio meridiano di un occhio: — *ip* ipoderma; — *epo* capsula periottica; — *ns* nuclei del Semper; — *er* coni cristallini; — *ct* cellule connettivali pigmentate; — *boi* rabdoma; — *mf* membrana fenestrata; — *r* retina; — *go* ganglio ottico. Ingr.  $450/1$ . . . . . 107

9. (a destra) Taglio tangenziale a livello della membrana fenestrata (*mf*). Ingr.  $450/1$ . 107

10. Membrana fenestrata isolata. Qui e là, nelle maglie e fuori, il taglio trasverso di qualche ommatidio. Ingr.  $450/1$ . . . . . 107

11. Taglio sagittale del capo presso all'articolazione di una delle antenne anteriori, per mostrare l'organo frontale in tutta la sua lunghezza: — *ct* tessuto connettivo; — *gls* globuli sanguigni; — *epo* capsula periottica che circonda l'organo frontale; — *er* coni cristallini; — *rf* rigonfiamento fusiforme di un ommatidio. Ingr.  $450/1$ . . . 75

12, 13. Due tagli trasversali del capo per mostrare la posizione e i rapporti dei due organi frontali (*o, o'*): — *aa* aorta anteriore; — *c* cuore; — *m* muscoli. Ingr.  $60/1$ . . . 75

14, 15. *Vibilia Jeangerardii*.

Fig. 14. Due ommatidii: — *boi* bastoncini interni ancora incompleti. Ingr.  $550/1$ . . . . . 106

15. Taglio di un occhio diretto in guisa da incontrare la parte interna (a sinistra della figura) con gli ommatidii già completi, e l'esterna (a destra della figura) con quelli in via di formazione. Ingr.  $550/1$ . . . . . 106

16, 17. *Chelura terebrans*.

Fig. 16. Taglio meridiano dell'occhio: — *er* cono cristallino; — *ger* gruppo di cellule produttrici del rabdoma; — *go* ganglio ottico; — *lc* lobi cerebriformi. Ingr.  $400/1$ .

17. Ommatidio: — *boi* rabdoma; — *x* un cristallino isolato; — *ns* nuclei del Semper. Ingr.  $550/1$ . . . . . 104

Fig. 18. *Leucothoe spinicarpa*. A sinistra due ommatidii; a destra una cellula retinica isolata. — Disegno semischematico. Le lettere come nella Fig. 9. . . . . 107

19. *Ampelisca brevicornis*. Tre ommatidii. — Disegno semischematico. Le lettere come nella Fig. 4. 109

## Tavola 47.

### Anatomia. — Sezioni trasversali di *Haploops*, *Ampelisca*, *Orchestia*, *Bathyporeia* e *Urothoe*.

Figg. 1-4. *Haploops tubicola*.

Fig. 1. Taglio trasverso del capo a livello degli occhi: — *o<sup>1</sup>* occhi superiori; — *o<sup>2</sup>* occhi inferiori. Ingr.  $107/1$ . . . . . 109, 111

2. La metà sinistra della figura precedente ingrandita maggiormente per mostrare alcuni particolari: — *clo<sup>1</sup>* lente cuticolare dell'occhio superiore; — *clo<sup>2</sup>* id. dell'inferiore; — *icg* ipoderma cheratogeno; — *po<sup>e</sup>* bastoncini ottici esterni; — *er* corpi cotiledonari corrispondenti al cristallino; — *r* cellule retiniche; — *no* nervo ottico; — *epo* capsula connettivale periottica; — *x* fascetto connettivale. Ingr.  $650/1$ . . . . . 111

- Fig. 3. Una lente biconvessa corneale distaccata da uno degli occhi, la quale presenta nella sua superficie interna le tracce delle cellule dell'ipoderma cheratogeno (*icg*). Ingr.  $\frac{450}{1}$ . 111
- » 4. Elementi di un occhio. — In  $\alpha$  ommatidio intero con tutte le sue parti: — *icg* ipoderma cheratogeno; — *boe* bastoncelli ottici esterni alquanto divaricati; — *cr* corpo cotiledonare o cristallino; — *r* cellule retiniche; — *no* nervo ottico. — In  $\beta$  due cellule retiniche un po' più gonfie, ma più brevi. — In  $\gamma$  un corpo cotiledonare con le due parti riunite. — In  $\delta$  le due parti del corpo cotiledonare divise. — Tutte le figure sono semischematiche . . . . . 111

Figg. 5-16. *Ampelisca brevicornis* ♀. (Tutte le figure ingr.  $\frac{60}{1}$ ).

- Fig. 5. Taglio trasverso del capo a livello delle antenne anteriori: — *o<sup>1</sup>* occhi superiori. Le lenti cuticolari biconvesse sono in sito . . . . . 109
- » 6. Taglio successivo al precedente: — *p* tessuto connettivo sotto-ipodermico carico di pigmento. . . . . 109
- » 7. Taglio che ha incontrato i lobi cerebrali (*lc*) e gli occhi inferiori (*o<sup>2</sup>*), di cui mancano le lenti . . . . . 109
- » 8. Taglio successivo che ha incontrato i gangli ottici (*go*). In *ct* il connettivo glandoliforme che ricorda quello del torace delle Orchestie (cf. Tav. 48, Fig. 16, *cgli*). . . . . 79, 94
- » 9. Taglio che ha attraversato i nervi delle antenne anteriori (*na<sup>1</sup>*) . . . . . 79, 94
- » 10. Taglio successivo, quasi presso ai gangli delle antenne anteriori . . . . . 79, 94
- » 11. Taglio che attraversa i gangli delle antenne anteriori (*ga<sup>1</sup>*) . . . . . 79, 94
- » 12. Taglio che attraversa il capo a livello delle antenne posteriori. In *aa* l'aorta anteriore. 94, 140
- » 13. Taglio trasverso del capo al davanti dell'inserzione del labbro superiore. Il taglio passa per lo stomaco (*st*), di cui si vedono, ai lati, due muscoli dilatatori (*md*); — *ces* commessure nervose paraesofagee . . . . . 121
- » 14. Taglio trasverso del capo a livello del labbro superiore: — *gl* glandole salivari; — *md* muscoli dilatatori dello stomaco e rotatori delle pieghe cardiache (qualche fascio di questi muscoli serve anche come adduttore delle mandibole, cf. p. 88); — *mde* muscoli dilatatori dell'esofago; — *mt* muscolo trasverso del labbro superiore (cf. anche Tav. 53, Figg. 6 e 9.) . . . . . 121, 124
- » 15. Taglio trasverso del capo a livello del labbro inferiore: — *mbs* muscoli dilatatori dello stomaco; — *mli* muscoli del labbro inferiore che attraversa in *gp* la massa comune gangliare sottoesofagea (cf. anche Tav. 45, Figg. 7 e 8); — *ip* ipostoma . . . . . 140
- » 16. Taglio trasverso del 5.<sup>o</sup> segmento del torace a livello degli sbocchi degli ovidutti: — *i* intestino; — *f* tubi epato-pancreatici, circondati dalla loro tunica connettivale *tp*; — *ov* (in alto) ovarii; — *ov* (in basso) ovidutti, di cui quello a sinistra contiene verso lo sbocco uno zaffo di materia coagulata (p. 163); — *ceg* commessure longitudinali della catena gangliare; — *p* setto pericardico . . . . . 125, 139, 142, 162, 163
- » 17-19. *Orchestia Deshayesi*. Tagli trasversi del capo ingr.  $\frac{42}{1}$ .
- Fig. 17. Taglio a livello delle mandibole. In mezzo la massa nervosa preesofagea co'suoi lobi cerebrali (*lc*), e con i gangli delle antenne anteriori (*ga<sup>1</sup>*) e delle antenne posteriori (*ga<sup>2</sup>*); — *gl* glandole (le masse di cellule più piccole sono, forse, di tessuto connettivo glandoliforme, cf. p. 48, e Tav. 18, Figg. 15 e 16); — *tma<sup>2</sup>* sezione trasversa di un tendine. 97
- » 18. Taglio a livello delle inserzioni delle mascelle posteriori: — *st* stomaco, co' suoi muscoli dilatatori (*mbs*); — *ces* commessure paraesofagee . . . . . 121
- » 19. Taglio a livello dell'inserzione dei piedi mascellari: — *ag* lamine endocefaliche; — *gp* ganglio sottoesofageo; — *tr* trabecole che uniscono le due pagine della piega entodermica con cui il 1.<sup>o</sup> segmento toracico si addossa alla parte posteriore del capo.
- » 20-22. *Urothoeirrostrata*. Tagli trasversi del capo ingr.  $\frac{107}{1}$  . . . . . 42, 94
- Fig. 20. Taglio poco dietro dell'inserzione delle antenne posteriori: — *go* gangli ottici; — *lc* lobi cerebrali; — *o* occhi. . . . . 142

Fig. 21. Taglio poco avanti del labbro superiore: — *cel* capsula comune pericerebrale di tessuto connettivo . . . . . 93

» 22. Taglio a livello dell' inserzione del labbro inferiore: — *c* cuore; — *cc* cellule dell' ipoderma, forse glandolari; — *st* stomaco; — *gl* ganglio postesofageo. In 22\* una delle cellule ipodermiche glandoliformi. Ingr. <sup>300</sup>/<sub>1</sub> . . . . . 94

Figg. 23, 24. *Ilaploops tubicola*.

Fig. 23. Taglio del capo poco dietro l' inserzione delle antenne posteriori: — *lc* lobi cerebroidi. Ingr. <sup>107</sup>/<sub>1</sub> . . . . . 93

» 24. Taglio d' uno dei segmenti toracici medi: — *c* cuore; — *p* setto pericardico; — *i* intestino; — *f* tubi epato-pancreatici; — *gl* glandole glutinifere co' rispettivi tubi escretori; — *gt* ganglio toracico. Ingr. <sup>107</sup>/<sub>1</sub> . . . . . 139

Fig. 25. *Niphargus puteanus*. Taglio trasverso del capo a livello del labbro superiore: — *aa* aorta anteriore; — *gll* glandole del labbro superiore; — *or* occhio rudimentale a cui va a finire il nervo ottico; — *m* fasci del muscolo adduttore-rotatore della mandibola. Ingr. <sup>71</sup>/<sub>1</sub> 93, 108, 140

» 26. *Microdentopus gryllotalpa*. Spine delle pieghe anteriori dello stomaco o cardiache. Ingr. <sup>550</sup>/<sub>1</sub> . 121

» 27. *Orchestia Deshayesii*. Una cellula glandolare salivare col suo tubo escretore. Ingr. <sup>300</sup>/<sub>1</sub>. — In 27\* la membrana crivellata da cui comincia il dotto escretore, ingr. <sup>1000</sup>/<sub>1</sub>. . . . . 120

» 28. *Bathyporeia pilosa*. Spine delle pieghe gastriche anteriori. In basso tre pieghe vedute di profilo; in alto una spina veduta dal margine seghettato per mostrare la doppia serie di denti. Ingr. <sup>550</sup>/<sub>1</sub> . . . . . 121

28\* *Gammarus locusta*. Spine delle pieghe gastriche anteriori . . . . . 120

» 29. *Ampelisca diadema*. Taglio trasverso delle pieghe esofagee: — *mv* muscoli rotatori delle pieghe cardiache. Ingr. <sup>550</sup>/<sub>1</sub>. . . . . 63, 121, 124

Figg. 30, 31. *Corophium acherusicum* ♀.

Fig. 30. Taglio del 3.<sup>o</sup> segmento toracico: — *c* cuore; — *p* setto pericardico; — *ov* ovario; — *st* stomaco; — *f* tubi epato-pancreatici; — *gt* ganglio toracico. Ingr. <sup>107</sup>/<sub>1</sub>. . . 142, 162

» 31. Taglio trasverso dell' intestino retto che fa vedere la piega del lato dorsale (*d*). Nel lato ventrale (*v*) non v' è piega di sorta. Ingr. <sup>390</sup>/<sub>1</sub>. . . . . 132

## Tavola 48.

### Anatomia. — Organi Riproduttori e Circolatori.

Figg. 1-3. *Gammarus pungenis*.

Fig. 1. Filamenti spermatici maturi osservati in una stilla d' acqua dolce, senza l' aggiunta di nessuna altra sostanza. Il flagello protoplasmatico è lungo e sottile. Ingr. <sup>1000</sup>/<sub>1</sub> . 160

» 2 e 3. Varie forme di filamenti spermatici immaturi ingr. <sup>1000</sup>/<sub>1</sub>. . . . . 160

» 4, 5. *Urothoe irrostrata*.

Fig. 4. Maschio veduto dal dorso: — *lc* lobi cerebroidi; — *st* stomaco; — *im* intestino medio; — *ip* intestino posteriore; — *cp* ciechi posteriori; — *cep* ciechi epato-pancreatici; — *gls* glandola spermatica; — *d* condotto eiaculatore. Ingr. <sup>30</sup>/<sub>1</sub> . . . . . 93, 158

» 5. Glandola spermatica e condotto eiaculatore: — *m* parte della glandola spermatica, dove gli elementi sono meno evidenti. Ingr. <sup>100</sup>/<sub>1</sub>. . . . . 158

» 6, 7. *Leucothoe spinicarpa*.

Fig. 6. Apparecchio riproduttore femminile, e parte dell' apparecchio digerente: — *ov*, *ov'* ovario; — *ov* uova quasi mature; — *ov'* uova giovani; — *ovd* ovidutti. Ingr. <sup>50</sup>/<sub>1</sub>. . . . . 162

» 7. Apparecchio riproduttore maschile di un lato: — *gls* glandola spermatica; — *ss* serbatoio spermatico; — *d* condotto eiaculatore. Ingr. <sup>25</sup>/<sub>1</sub>. . . . . 158



Fig. 8. *Microdeutopus gryllotalpa*. Apparecchio maschile d' un lato: — *cs* cellule spermatiche poco mature; — *c's'* cellule spermatiche più mature; — *cgl* cellule probabilmente glandolari. Ingr.  $\frac{60}{1}$  . . . . . 158

Figg. 9-18. *Orchestia Deshayesi*.

- Fig. 9. Apparecchio maschile d' un lato d' un giovane: — *glo* porzione della glandola sessuale che produce le uova; — *gls* porzione che produce lo sperma. Ingr.  $\frac{15}{1}$ . . . . . 159
- 10. Lo stesso in un altro individuo, e veduto con lente più forte: — *a, b, c* fasci di filamenti spermatichi. Ingr.  $\frac{15}{1}$ . . . . . 159
- 11. Parte anteriore della figura precedente veduta con lente di maggiore forza. Ingr.  $\frac{60}{1}$ . 159
- 12. Uovo della parte anteriore dell' apparecchio maschile, che mostra i segni di degenerazione del nucleo. Ingr.  $\frac{500}{1}$ . (Debbo questo disegno alla cortesia del D.<sup>r</sup> F. SANFELICE). 159
- 13. Parte della parete del testicolo e del suo contenuto: — *c's'* cellule spermatiche presso a maturità; — *sp* spermatozoi giovani; — *cgl* cellule probabilmente glandolari. Ingr.  $\frac{550}{1}$ . . . . . 159
- 14. *cgl* Tre cellule glandolari della parete suddetta vista dalla superficie interna. Ingr.  $\frac{550}{1}$  159
- 15. Una femmina aperta dal dorso. Gli ovari (*ov*) sono respinti su' lati; il connettivo glandoliforme (*cgl'*) è molto sviluppato in forma di due masse irregolari laterali; — *cgv* catena gangliare ventrale. Ingr.  $\frac{12}{1}$ . . . . . 79, 81
- 16. Taglio trasverso d' una femmina, in cui il connettivo glandoliforme è molto sviluppato; — *cgle* corpi glandoliformi esterni; — *cgli* corpi glandoliformi interni; — *rc, rc'* rete di connettivo intraorganico che circonda il cuore (*c*), e sta fra gli ovari; — *stnd* stomodeo che si avvanza nella cavità dell' intestino medio (*im*); — *gt* sezione di un ganglio toracico; — *p* pericardio; — *sp* seno o lacuna dorsale; — *sv* seno o lacuna ventrale. Ingr.  $\frac{42}{1}$ . . . . . 79, 162
- 17. Cellula del connettivo glandoliforme, con protoplasma reticolato. Ingr.  $\frac{200}{1}$ . . . . . 80
- 18. Ovario come resta quasi svuotato dopo il parto: — *a* uovo quasi maturo rimasto dentro dell' ovario, e probabilmente destinato a dissolversi; — *b* uova giovani; — *ovd* ovidutto. Ingr.  $\frac{15}{1}$ . . . . . 162

Fig. 19. *Ampelisca diadema*. Un individuo diviso da un taglio sagittale ed esaminato dal lato interno (disegno semischematico, destinato a rendere più evidenti la forma ed i rapporti dei vari organi): — *gc* lobo cerebroide; — *go* ganglio ottico; — *ga<sup>1</sup>* ganglio antennale anteriore; — *ga<sup>2</sup>* ganglio antennale posteriore; — *cgv* catena gangliare ventrale; — *ml* superficie a raspa del tubercolo molare della mandibola; — *pc* piega cardiaca; — *pglm* piega gastrica laterale media; — *stnd* prolungamento dello stomodeo nell' interno dell' intestino medio (*im*); — *fcp* fondo cieco pilorico; — *c* cuore, che si prolunga nelle due aorte: anteriore (*at*) e posteriore (*ap*); — *p* setto pericardico; — *sv* seno ventrale; — *sp* seno pericardico; — *gls* glandola spermatica; — *ss* serbatoio spermatico; — *d* condotto eiaculatore.

• 20. *Vibilia Jeangerardii*. Parte del dermascheletro degli archi ventrali. Si noti la differenza fra gl' inspessimenti (*x*) del 6.<sup>o</sup> e 7.<sup>o</sup> segmento toracico (*T<sup>vi</sup>*, *T<sup>vii</sup>*) e quello del 1.<sup>o</sup> segmento addominale (*A<sup>i</sup>*), nonché la posizione dei due orificii genitali maschili (*a*); — *y* parte non inspessita del dermascheletro. Ingr.  $\frac{21}{1}$ . . . . . 38, 159

• 21. *Leucothoe spinicarpa*. Estremità distale di un ovidutto (*ovd*) chiuso da un zaffo di sostanza coagulata (*z*); — *m* muscoli latero-dorsali del torace. Ingr.  $\frac{35}{1}$ . . . . . 163

Figg. 22, 23. *Orchestia Deshayesi*.

- 22. Dermascheletro del 7.<sup>o</sup> segmento toracico veduto di fronte: — *ad* arco dorsale; — *av* arco ventrale; — *d* condotto eiaculatore; — *p* prolungamenti tubolari del dermascheletro che portano l' estremità dei deferenti e somigliano ad organi copulatori. Ingr.  $\frac{8}{1}$ . 38, 159
- 23. Parte del dermascheletro ventrale del 6.<sup>o</sup> e 7.<sup>o</sup> segmento del torace. Le lettere come nelle Figg. 20 e 22. Ingr.  $\frac{15}{1}$ . . . . . 38, 159

Fig. 24. *Vibilia Jeangerardii*. Parte del cuore che fa vedere le fibre muscolari avvolte a spirale. Ingr.  $100/1$ . 138

25. *Ampelisca brevicornis*. Taglio trasverso del cuore: — *gs* globuli sanguigni; — *tr* trabecole connettivali. Ingr.  $300/1$  . . . . . 138

Figg. 26-28. *Atylus Swammerdamii*. Disegni di parte della superficie esterna del cuore (come si vede in un giovane vivente), presso agli orificii valvolari: — *sfm* sfinteri muscolari. La Fig. 26 è ingr.  $300/1$ ; le Figg. 27 e 28  $500/1$  . . . . . 139

29-31. *Niphargus puteanus*.

Fig. 29. Correnti circolatorie sanguigne in un epimero (le frecce indicano la direzione delle correnti): — *x* corrente media discendente; — *y* una delle correnti laterali. Ingr.  $16/1$ . 145

30. Correnti circolatorie sanguigne in una branchia: — *a* corrente discendente; — *b* corrente ascendente; — *c* una delle correnti trasversali; — *s* chiazze corrispondenti ai punti dove le cellule ipodermiche dei due foglietti si saldano insieme per formare i sepimenti. Ingr.  $27/1$  . . . . . 145

31. Globuli sanguigni veduti allo stato vivente. Ingr.  $550/1$  . . . . . 141

## Tavola 49.

### Sviluppo. — Segmentazione dell' Uovo. Forme esterne dell' Embrione rinchiuso nel guscio.

Tutte le figure si riferiscono all' *Orchestia Deshayesi*. Le figure 1-6 rappresentano uova viventi; le altre sono prese da uova scottate con la soluzione bollente di sublimato corrosivo.

Fig. 1. Stadio della segmentazione in 2 blastomeri. Ingr.  $100/1$  . . . . . 175, 176

2. » » 4 » Ingr.  $100/1$  . . . . . 175, 176

3. » » 8 » Ingr.  $100/1$ . I micromeri sono rivolti verso l'osservatore. Tre di essi mostrano, al pari dei macromeri, due nuclei che accennano alla segmentazione ulteriore mediante un solco longitudinale. . . . . 176

4. La segmentazione è giunta a dare 6 micromeri ben distinti e 6 macromeri, di cui qualunque ha due nuclei sovrapposti, corrispondenti ai due blastomeri che saranno separati dal successivo solco parallelo all'equatore dell'uovo. Ingr.  $100/1$  . . . . . 176, 178

5. Morula (forse non interamente normale), costituita tutta di micromeri. In *ag* i micromeri si vanno addensando per dare origine al primo abbozzo nervoso gangliare. Ingr.  $100/1$ . 178, 179

6. La maggior parte dell' uovo è costituita da macromeri, mentre i micromeri si sono moltiplicati rigogliosamente in *ag* per formare l'abbozzo gangliare nervoso che ha l'aspetto di una piastra bianchiccia. Questa è la forma che si trova più comunemente come principio dell'abbozzo degli organi. Ingr.  $100/1$  . . . . . 179, 180

7. Differenziamento della piastra germinativa. Apparizione dei gangli ottici (*go*), dei gangli per le antenne anteriori (*ga<sup>1</sup>*) e per le antenne posteriori (*ga<sup>2</sup>*). L'organo dorsale *od* si è pure formato ma in posizione eccentrica. Il telson (*t*) è appena accennato. Ingr.  $120/1$ . 183

8. Stadio successivo al precedente. Il telson è meglio sviluppato. . . . . 183

9. L'abbozzo degli organi si è esteso a quasi tutta la superficie di un emisfero, e mostra distinte le tre paia di gangli delle due figure precedenti, insieme a due altre paia, cioè a quelli delle mandibole (*gmd*) e dei piedi codali. A destra ed a sinistra degli abbozzi nervosi cominciano a comparire gli abbozzi delle antenne e delle mandibole. Fra la parte cefalica (terminata dall'abbozzo delle mandibole e dei gangli corrispondenti) e la codale (accennata assai meno chiaramente della cefalica) si vede un solco che è indizio di poca proliferazione cellulare in quella parte dell' uovo. Ingr.  $120/1$  . . . 182

- Fig. 10. L'asse longitudinale dell'abbozzo degli organi si distende per oltre un semicircolo meridiano. In *oa* è l'abbozzo degli occhi e delle antenne che è ancora poco distinto, mentre i gangli corrispondenti si vanno riunendo nella linea mediana: — *pt-pa* abbozzo dei piedi toracici e dei piedi addominali; — *i* solco fra la parte cefalica dell'abbozzo embrionale e la parte toracica. Ingr.  $\frac{90}{1}$  . . . . . 182
11. Lo stesso embrione della figura precedente veduto dalla metà posteriore in seguito di semirota-  
zione dell'ovo. Il telson è molto largo ed evidente. Ingr.  $\frac{90}{1}$ . . . . . 182
12. Lo stesso embrione della Fig. 10 veduto di lato per mostrare i suoi limiti laterali. Ingr.  $\frac{90}{1}$ . 182
13. Superficie ventrale del capo di un abbozzo embrionale in cui è piuttosto progredito il differen-  
ziamento delle varie appendici e dei corrispondenti ganglii. Ingr.  $\frac{90}{1}$  . . . . . 182
11. Estremità posteriore dell'abbozzo della figura precedente. Il torace e l'addome sono ancora non  
differenziati l'uno dall'altro, ed insieme sono rappresentati da una larga fascia in  
cui molti solchi sottili e vicini accennano alla divisione in segmenti. Ingr.  $\frac{90}{1}$  . . . 182
15. L'abbozzo embrionale, veduto dalla superficie ventrale del capo, presenta ben distinte tutte le  
appendici e i relativi gangli: — *ls* labbro superiore; — *li* pieghe laterali dello stomo-  
deo; — *ip* piega inferiore dello stomodeo (cf. Tav. 55, Figg. 6, 8, 13 ecc.); — *em* ab-  
bozzi dei paragnati; — *go* gangli ottici; — *ga<sup>1</sup>* gangli per le antenne anteriori; —  
*ga<sup>2</sup>* gangli per le antenne posteriori; — *gmd* gangli per le mandibole; — *gms<sup>1</sup>* gangli  
per le mascelle anteriori; — *gms<sup>2</sup>* gangli per le mascelle posteriori; — *gpm* gangli  
per i piedi mascellari. Ingr.  $\frac{90}{1}$ . . . . . 185
16. Lo stesso embrione della figura precedente veduto dalla superficie ventrale del torace, dell'ad-  
dome e della coda. Ingr.  $\frac{80}{1}$ . . . . . 185, 191
17. Lo stesso embrione della Fig. 15 veduto di lato per mostrare la sua curvatura sul dorso, per  
cui la superficie ventrale riesce convessa. Fra lo stadio rappresentato dalle Figg.  
15-17 e quello delle Figg. 13-14 manca una forma di passaggio, che è invece diseg-  
nata nella Fig. 6 della Tav. 50 . . . . . 185
18. Stadio in cui, cominciando a diminuire la curvatura convessa della superficie ventrale del capo  
e del torace, le due serie parallele di gangli nervosi e le loro appendici si allonta-  
nano l'una dall'altra in guisa da incurvarsi come due parentesi ( ), che abbiano le  
loro concavità rivolte l'una contro l'altra. Ingr.  $\frac{80}{1}$  . . . . . 185, 189, 191
19. L'embrione precedente veduto di lato. Si noti la forma ad S della linea laterale secondo cui sono  
inserite le singole appendici, così che quelle del capo riescono su d'una linea curva  
con la convessità rivolta alla periferia dell'ovo. Ingr.  $\frac{80}{1}$  . . . . . 186, 187
20. Stadio del massimo incurvamento in fuori delle due serie di gangli ed appendici. Ingr.  $\frac{80}{1}$  . 185, 186, 189
21. Lo stesso abbozzo della figura precedente veduto di lato . . . . . 185, 187, 190
22. L'embrione incurvato definitivamente sul ventre, veduto dalla superficie ventrale. Nel fondo  
della superficie ventrale del torace e del capo si vede la duplice catena gangliare.  
L'inserzione dei piedi mascellari è fortemente allontanata dalla linea secondo cui  
sono inserite le appendici toraciche; nondimeno i due abbozzi dei piedi mascellari  
sono ancora fra loro molto distanti. Ingr.  $\frac{70}{1}$ . . . . . 186, 189
23. Lo stesso embrione veduto di lato. Ingr.  $\frac{70}{1}$  . . . . . 186, 187, 190
24. Embrione presso a schiudere dal guscio. I due abbozzi dei piedi mascellari sono saldati sulla  
linea mediana; il 7.<sup>o</sup> articolo dei piedi toracici comincia a diventare unguiforme.  
Ingr.  $\frac{60}{1}$ . . . . . 186, 187

## Tavola 50.

### Sviluppo. -- Abbozzo del Sistema Nervoso e delle Appendici. Foglietti embrionali.

	Pagine del testo
Fig. 1. <i>Gammarus pungens</i> . Maschio e femmina nell'atto della fecondazione. Ingr. $\frac{6}{1}$ . . . . .	279
» 2. <i>Orchestia Deshayesi</i> . Femmina rovesciata sul dorso per mostrare la tasca incubatrice ripiena d'uova: — <i>br</i> branchie; — <i>lm</i> lamine marsupiali. Ingr. $\frac{7}{1}$ . . . . .	284
Figg. 3, 4. <i>Gammarus pungens</i> .	
Fig. 3. La lamina marsupiale di uno dei piedi toracici del 5. <sup>o</sup> paio, insieme a parte della parete ventrale vicina e ad un pezzo dell'ovidutto. Queste parti sono state staccate da una femmina poco dopo la fecondazione, e mentre che durava ancora il parto delle uova: una certa massa di sperma ( <i>m. sp</i> ) è ancora aderente sulla lamina marsupiale ( <i>lm</i> ). Le uova già uscite sono raggruppate in un cumulo piriforme ( <i>o</i> ), avvolto nella massa gelatinosa, che continua a gemere dall'apertura esterna ( <i>v</i> ) dell'ovidutto ( <i>ovd</i> ). Del resto anche in questo stadio l'apertura stessa non è beante, perchè tutta occupata dalla massa gelatinosa. È sempre, nondimeno, chiara la cornice chitinoso ( <i>c. ch</i> ). Ingr. $\frac{20}{1}$ . . . . .	173, 280
» 4. Uno dei piedi toracici del 5. <sup>o</sup> paio di una femmina uccisa con la soluzione di sublimato alcuni minuti dopo che si vedeva già attraverso degli epimeri una massa bruna sotto del ventre: — <i>o, o'</i> le due masse di uova uscite dai due ovidutti e ravvicinate sulla linea mediana fino a toccarsi insieme, per costituire poi più tardi una massa unica. La massa <i>o</i> aderisce ancora col suo peduncolo alla membrana timpaniforme che ha ormai suggellata di nuovo l'apertura ( <i>v</i> ) dell'ovidutto. In quest'ultimo sono contenute ancora due uova, che non sono state espulse. Ingr. $\frac{200}{1}$ . . . . .	281
» 5-26. <i>Orchestia Deshayesi</i> . Tutte le figure da 6 a 16 sono prese da croste distaccate da uova in cui l'embrione era a diverso grado di sviluppo.	
Fig. 5. Un gruppo di quattro uova avvolte ancora nella massa gelatinosa. Ingr. $\frac{15}{1}$ . . . . .	173, 280
» 6. Abbozzo delle appendici e dei gangli nervosi corrispondenti, preso da un embrione che si trovava in uno stadio di sviluppo intermedio fra quello rappresentato nelle Figg. 13, 14 della Tav. 49 e quello che è disegnato nelle Figg. 15-17 della stessa Tavola. L'abbozzo è supposto tutto disteso. Ingr. $\frac{80}{1}$ . . . . .	187
» 6*. Parte anteriore dell'abbozzo della figura precedente, alquanto più ingrandito. La sporgenza delle appendici è appena sensibile; l'invaginazione dello stomodeo non è ancora stabilita, ma si capisce che avverrà nello spazio <i>stmd</i> . In <i>q</i> si vede un inspessimento anteriore dello stomodeo; — in <i>go</i> sono i gangli ottici. Ingr. $\frac{180}{1}$ . . . . .	187
» 7. Crosta distaccata da un uovo in cui l'embrione si trovava ad uno stadio di sviluppo alquanto più progredito che in quello rappresentato dalla figura precedente. Compariscono due sporgenze laterali ( <i>l</i> ) dello stomodeo primitivo, e v'è pure un accenno all'ispessimento posteriore ( <i>s</i> ). Ingr. $\frac{160}{1}$ . . . . .	187
» 8. Nello stomodeo le due eminenze laterali ( <i>l</i> ) sono divenute più distinte; e il margine anteriore è determinato da un arco preciso. Ingr. $\frac{160}{1}$ . . . . .	187
» 9. Parte della crosta suddetta guardata dalla superficie distaccata dall'uovo, per mostrare la massa commessurale di cellule che unisce insieme in questo stadio i due gangli ottici primitivi e i gangli delle antenne posteriori, ma non quelli delle antenne anteriori, nè i gangli per le mandibole. Ingr. $\frac{150}{1}$ . . . . .	187
» 10. Crosta veduta dall'esterno. Lo stomodeo ha acquistato precisione anche nel margine posteriore ( <i>s</i> ). Ingr. $\frac{120}{1}$ . . . . .	187

- Fig. 11. Comincia la formazione del labbro superiore *q* (*Is*). Ingr.  $^{120}/_1$  . . . . . 187
12. Il labbro superiore presenta una divisione nella sua parte anteriore. Cominciano a spuntare alla base delle mandibole gli abbozzi del labbro inferiore. Ingr.  $^{120}/_1$  . . . . . 187
13. Un'altra crosta presa da un uovo in cui l'embrione si trovava in uno stadio di sviluppo presso a poco eguale a quello della figura precedente. Il labbro superiore è stato distaccato, così che si vede tutta l'invaginazione dello stomodeo. Ingr.  $^{120}/_1$ . 187
14. Stadio corrispondente alla Fig. 18 della Tav. 49. Il labbro superiore, bifido, copre tutta la bocca. Le bozze del labbro inferiore sono già molto sviluppate ed avvicinate sulla linea mediana. Tra i gangli dei due lati si sono stabilite le commessure trasversali. Ingr.  $^{80}/_1$  . . . . . 187, 189
15. Stadio corrispondente alla Fig. 20 della Tav. 49. Distaccato il labbro superiore, si vede il fondo dello stomodeo. I gangli mandibolari e mascellari sono molto avvicinati fra loro; alquanto più lontani quelli dei piedi mascellari. I gangli dei piedi toracici si sono invece molto allontanati quelli di un lato da quelli dell'altro, sì che le commessure trasversali sono molto lunghe. Si vedono ancora le origini dei nervi (*n*) che vanno nelle singole appendici. Ingr.  $^{80}/_1$  . . . . . 187, 189
16. Crosta distaccata dall'estremità anteriore di un embrione già ripiegato sul ventre e quasi corrispondente allo stadio disegnato nella Fig. 22 della Tav. 49. La superficie rivolta all'osservatore è quella che aderiva al resto dell'uovo. Vi si vedono le due metà laterali del sistema nervoso centrale ancora distinte nelle singole loro parti, ma già molto ravvicinate sulla linea media per formare il cervello e il ganglio retroesofageo; — *stmd* la borsa della invaginazione dello stomodeo sporgente verso il vitello. Attraverso la borsa si vede trasparire il labbro superiore bifido; — *tc* cellule connettivali sparse. Ingr.  $^{180}/_1$ . . . . . 206, 215, 216
17. Estremità posteriore dell'embrione dello stesso stadio della figura precedente: — *prctd* invaginazione dell'intestino posteriore. Ingr.  $^{140}/_1$ . . . . . 192
- Figg. 18, 19. Intestino medio e sue estroflessioni di due embrioni in diverso stadio di sviluppo corrispondenti un poco prima e un poco dopo a quello rappresentato nella Fig. 24 della Tav. 49. Le preparazioni si sono ottenute distaccando con gli aghi (cioè che in questo stadio succede relativamente con molta facilità) la pelle e tutti i suoi annessi, insieme al sistema nervoso ed ai muscoli. Nella Fig. 18 le estroflessioni epatiche (*cep*) sono appena abbozzate; invece nella Fig. 19 le appendici sono lunghe quasi quanto l'intestino (*im*). Si notino, su quest'ultimo, le tre depressioni della superficie anteriore (*istmd*), dorsale (*igld*) e posteriore (*iprctd*) corrispondenti all'invaginazione dello stomodeo, della glandola dorsale e dell'intestino posteriore. Ingr.  $^{70}/_1$ . . . . . 220, 221
- 20, 21. Taglio di un uovo nello stadio rappresentato dalla Fig. 6 della Tav. 49, in cui la piastra embrionale, o abbozzo generale (*ag*), appare sotto forma di disco, ma non è ancora differenziata, ossia non mostra ancora traccia di eminenze. La Fig. 21 è quella di un taglio eseguito attraverso la piastra secondo un meridiano dell'uovo, e quindi passante pel centro di questo. Nella Fig. 20 invece il taglio è caduto presso il margine della piastra, dove ha incontrato una sola fila di cellule; — *a* cellula corrispondente ad una delle macchie sparse sulla superficie esterna dell'uovo che è disegnato nella Fig. 6 della Tav. 49. Ingr.  $^{130}/_1$  . . . . . 194
- Fig. 22. Taglio meridiano di un altro uovo, in cui la proliferazione cellulare nella piastra embrionale è più progredita, sicché vi è un accenno alla costituzione delle bozze comuni per le appendici e per i gangli, come nelle Figg. 7 e 8 della Tav. 49. Ingr.  $^{130}/_1$ . 194
- Figg. 23-26. Sezioni d'un uovo in cui la piastra era differenziata, e si presentava dell'aspetto che è disegnato nelle Figg. 10-12 della Tav. 49; — *a* cellule come nella Fig. 20; — *me* merociti; — *mi* micromeri; — *cut* cuticola embrionale; — *prf* protoplasma

formativo che rimane imprigionato fra le zolle del vitello nutritivo. Nella Fig. 23 il taglio è passato attraverso la glandola dorsale *gld*, la quale è ancora alquanto laterale. Il taglio della Fig. 26 è caduto secondo la linea mediana antero-posteriore dell'abbozzo embrionale. Le altre due Figg. (24 e 25) corrispondono a tagli che vanno per direzioni intermedie a quelle delle Figg. 23 e 26. Ingr.  $^{130}/_1$ . . . . . 195

## Tavola 51.

### Sviluppo. — Foglietti embrionali. Organogenia.

Tutte le figure si riferiscono all'*Orchestia Deshayesi*.

- Figg. 1-3. Tagli di un ovo, in cui lo sviluppo dell'embrione era giunto circa allo stadio rappresentato nelle Figg. 13 e 14 della Tav. 49. L'ectoderma (*ect*) è abbastanza differenziato sotto forma di cellule depresse; ma il resto della massa proliferata (*y*) consta di cellule ancora allo stato indifferente. Le inequaglianze del contorno, che si vedono in vari punti, corrispondono agli abbozzi delle appendici esterne. Si noti il distacco dell'ecto-mesoderma già proliferato dallo strato interno del protoplasma formativo (*prf*) che limita il vitello nutritivo, e costituirà la futura parete dell'intestino medio; — *gl* glandola dorsale già ben distinta nei suoi elementi. Ingr.  $^{130}/_1$ . . . . . 195
- » 4-11. Sezioni frontali dell'estremità anteriore di un embrione nello stadio rappresentato dalla Fig. 20 della Tav. 49. È già costituito un vero epitelio dell'intestino medio (*ep im*), e sono bene sviluppati gli inspessimenti corrispondenti nei gangli ottici. Nelle cavità intermedie si nota la presenza di varie cellule connettivali migranti e attaccate qui e là coi loro estremi. Nella Fig. 6 a destra è un gruppo di cellule (*co*) che pare accenni ad un principio d'invaginazione. Nelle Figg. 8-10 i due gangli ottici sono fusi sulla linea mediana. Nella Fig. 11 è il principio dello stomodeo (*stmd*), le antenne anteriori (*a'*) e i corrispondenti gangli (*ga'*). — *ct* Cellule connettivali. Ingr.  $^{300}/_1$ . 195
- 12-14. Sezioni frontali del ganglio ottico primitivo di un embrione che si trovava nello stadio di sviluppo corrispondente a quello disegnato nella Fig. 23 della Tav. 49: — *go* ganglio ottico primitivo; — *sc* scissura che si approfonda nell'organo; — *te* cellule connettivali migranti; — *ect* ectoderma; — *ep. im* epitelio che limita l'intestino medio. Ingr.  $^{550}/_1$ . . . . . 207, 212
- » 15-20. Sezioni trasversali del capo di un altro embrione che si trovava poco più avanti dello stadio della figura precedente. Queste sezioni sono fatte a diversa altezza, ma tutte attraversano lo stomodeo. . . . . 207, 215
- Figg. 15, 16. Sezioni a livello del labbro superiore e delle antenne anteriori: — *cg* cellule giganti dei gangli ottici primitivi. Ingr.  $^{300}/_1$ .
- » 17, 18. Sezioni a livello delle antenne posteriori (*a''*): — *ga''* ganglio delle antenne posteriori; — *stmd* stomodeo. Ingr.  $^{300}/_1$ . . . . .
- » 19, 20. Sezioni a livello delle mandibole e del labbro inferiore (*li*): — *gmd* i gangli mandibolari già riuniti da una commessura trasversale. Ingr.  $^{300}/_1$ .
- Fig. 21. Parte latero-dorsale di una sezione trasversale di un giovane embrione che si trovava nello stadio rappresentato dalla Fig. 20 della Tav. 49. La figura è destinata a mostrare l'origine dell'entoderma per delaminazione e propriamente la maniera come le cellule ecto-mesodermiche (*ect-mes*), proliferate dall'ectoderma (*ect*), si separano successivamente dal protoplasma formativo (*prf*) che tiene imprigionato fra le sue

maglie il vitello nutritivo (*vn*). In alcuni punti le cellule sono già distaccate; in altri (*a, a'*) si vedono ancora delle briglie protoplasmatiche che uniscono insieme le cellule dell'ecto-mesoderma col futuro entoderma. Ingr.  $^{550}/_1$  . . . . . 197

Figg. 22, 23. Sezione trasversale dell'addome di un embrione dello stadio disegnato nella Fig. 22 della Tav. 49.

Fig. 22. Sezione trasversale dell'addome intero, che dimostra le abbondanti masse connettivali (*tc*) che si trovano in questa regione ai lati del corpo. A sinistra nella massa si vede una lacuna che è parte della cavità del corpo originata da scissione; — *y* è la sezione di quella striscia cellulare formata di grossi elementi, che corre lungo il mezzo del dorso degli embrioni che si trovano in questo stadio; — *x* grosse cellule cilindroidi dell'ecto-derma, che si uniscono alle grosse cellule dell'entoderma mediante speciali prolungamenti, che possono dimostrare l'origine delle cellule dei due strati da uno strato comune (ma potrebbero ben essere di formazione posteriore alle cellule stesse, come le briglie che uniscono le cellule ectodermiche delle due pareti delle branchie od altre sottili pieghe della pelle; cf. Tav. 54, Fig. 24). Ingr.  $^{300}/_1$  . . . . . 220

23. La parte corrispondente alla striscia cellulare dorsale veduta con lente di maggiore forza ingranditiva. Ingr.  $^{550}/_1$  . . . . . 220

Figg. 24-29. Sezioni trasverse della coda di un embrione corrispondente alla Fig. 24 della Tav. 49. Dimostrano che le masse gangliari (*gc*) giungono fino all'estremo della coda: — *prctd* intestino posteriore circondato ai lati da due masse cellulari (*ct.m*), da cui deriveranno i muscoli circolari del retto e la membrana propria connettivale. Ingr.  $^{130}/_1$ . 210, 218

## Tavola 52.

### Sviluppo. — Organogenia.

Figg. 1-24. *Orchestia Deshayesii*.

- Fig. 1. Sezione mediana antero-posteriore di un embrione corrispondente allo stadio disegnato nella Fig. 23 della Tav. 49: — *stmd* invaginazione dell'intestino anteriore; — *prctd* invaginazione dell'intestino posteriore; — *go* ganglio ottico primitivo; — *gmd, gms<sup>1</sup>, gms<sup>2</sup>, gpm, gpt, gpa, gpc*, gangli delle mandibole, delle mascelle anteriori e posteriori, dei piedi mascellari, dei piedi toracici, dei piedi addominali, e dei piedi codali; — *x* cellule ectodermiche della striscia cellulare dorsale; — *y* cellule ectodermiche; — *gld* ghiandola dorsale; — *vim* epitelio dell'intestino medio già differenziato e distaccato. Ingr.  $^{130}/_1$  201, 207, 216
2. Parte di una sezione sagittale laterale dello stesso embrione, destinata a mostrare la costituzione intima della parte anteriore della catena gangliare, e i rapporti di essa con lo stomodeo. Ingr.  $^{300}/_1$  . . . . . 207, 217
3. Sezione trasversale del torace di un embrione nello stadio rappresentato dalla Fig. 24 della Tav. 49: — (*gt*) ganglio della catena toracica; — *npt* nervi dei piedi toracici; — *m* muscoli; — *y* striscia cellulare del dorso non differenziata. Ingr.  $^{200}/_1$  . 211
4. Parte di una sezione trasversale di un embrione corrispondente alla Fig. 22 della Tav. 49: — *x* cellule aggruppate ectodermiche della striscia cellulare dorsale; — *ec* ectoderma dorsale. Ingr.  $^{550}/_1$  . . . . . 186, 189
5. Parte di sezione trasversale del capo di un altro embrione che si trovava nello stesso stadio che quello della figura precedente: — *stmd* stomodeo che adagia una delle sue pareti ( $\alpha$ ) contro l'epitelio dell'intestino medio ( $\beta$ ); — *vim* epitelio bolloso dell'intestino medio; — *x* sepimento fra le cavità dell'intestino anteriore ed il posteriore che va sparendo. (Cf. gli schemi nelle Figg. 27-30.) Ingr.  $^{300}/_1$  . . . . . 217

- Fig. 6. Glandola dorsale, le cui cellule sono piriformi, ed hanno un collo molto lungo e assottigliato: — *v* vacuoli nel corpo delle cellule glandolari; — *cut* cuticola che forma una cupola sopra degli sbocchi delle glandole. Ingr.  $^{300}/_1$  . . . . . 201
7. Glandola dorsale semiatrofizzata di un giovane presso a schiudere dal guscio: — *a* cellule basse del sacco; — *b* cellule munite ancora di un lungo collo. L'ectoderma (*ect*) forma due pieghe ( $p^1 p^2$ ) prima di approfondarsi nel sacco glandolare; — *c* parte dorsale della parete cardiaca. Ingr.  $^{300}/_1$  . . . . . 202
8. Sezione frontale di un embrione che corrisponde a quello che è rappresentato nella Fig. 22 della Tav. 49 (la sezione è capitata in guisa da toglier via quasi soltanto la pelle del ventre, mettendo allo scoperto il sistema nervoso centrale, con i vari suoi gangli che circondano lo stomodeo): —  $ga^1$  gangli delle antenne anteriori; —  $ga^2$  gangli delle antenne posteriori; — *gmd* gangli mandibolari; —  $gms^1$  e  $gms^2$  gangli mascellari. Ingr.  $^{100}/_1$  . . . . . 208
9. Sistema nervoso centrale di un embrione che si trovava nello stadio della Fig. 24 della Tav. 49 (preparato ottenuto per dissezione): — *go* ganglio ottico primitivo da cui deriveranno i lobi cerebroidi da una parte, e il ganglio ottico definitivo ( $go^1$ ) dall'altra; —  $ga^1$ ,  $ga^2$ , *gmd*, *stmd'* ganglio, rispettivamente, per le antenne anteriori e posteriori, per le mandibole e per le mascelle anteriori; — *stmd* stomodeo. Ingr.  $^{100}/_1$  . . . 209
10. Cervello di un giovane da poco uscito dal guscio: — *lc* lobo cerebroide derivato da ingrossamento dei gangli ottici primitivi (*go* della Fig. precedente); —  $go^1$  ganglio ottico definitivo, seguito dal nervo ottico; — *gr* ganglio retinico. Ingr.  $^{100}/_1$  . . . 209
- Figg. 11-14. Sezioni trasverse del torace di un embrione dello stadio che è rappresentato nella Fig. 24 della Tav. 49. Serve a mostrare specialmente la costituzione del cuore e del diaphragma pericardico dalle cellule connettivali sparse in diversi punti della parte dorsale: — *im* intestino medio; — *f'* appendici epatiche. Ingr.  $^{80}/_1$  . . . . . 206, 224
- 15-16. Parte di sezione trasversa del torace d'un embrione presso a schiudere dall'uovo. Il cuore (*c*) ed il sotto pericardico (*p*) sono già formati. L'intestino medio *im* contiene ancora qualche traccia del vitello nutritivo, non ancora interamente digerito. Le cellule parietali delle appendici epatiche sono relativamente molto voluminose, con protoplasma affatto bolloso. Le glandole sessuali *gs* si vanno distaccando dall'epitelio intestinale (*im*) ed epatico (*f'*) nella parte anteriore del torace (Fig. 15), e sono già isolate nella parte posteriore (Fig. 16). Ingr.  $^{150}/_1$ . — In 16<sup>g</sup>, la sezione dell'abbozzo sessuale di un lato della Fig. 16 ingr.  $^{500}/_1$  . . . . . 206, 228
- Le seguenti Figg. 17-22 rappresentano sezioni di uno stesso individuo giovane appena schiuso dall'uovo.
- Fig. 17. Sezione trasversa del capo a livello del labbro superiore (*ls*): — *lc* lobo cerebroide; — *o* occhio in formazione; — *tga* tendine del muscolo grande adduttore-rotatore della mandibola. Ingr.  $^{170}/_1$  . . . . . 212
18. Sezione trasversale a livello del labbro inferiore (*li*): — *st* stomaco, intorno a cui si vanno formando i muscoli costrittori (*m*); — *mli* due fibre muscolari che danno origine ai muscoli interni del labbro inferiore; — *gmd* ganglio mandibolare; — *tga* tendine del muscolo grande adduttore-rotatore della mandibola. Ingr.  $^{170}/_1$  . . . . . 207
19. Taglio trasversale a livello dell'inserzione dei piedi mascellari (*pm*): — *ip* ipoderma, con varie briglie che comettono le due pareti della piega sottile; — *gl* cellule ingrandite e trasformate in glandole cutanee; — *st* stomaco, con le sue pieghe gastriche laterali posteriori ( $pglp$ ) e ventrale ( $pgve$ ); — *cep* estremità anteriore dei ciechi epato-pancreatici; — *utr* muscolo trasverso gastrico in formazione; — *c* cuore; — *p* sotto pericardico; — *gpm* ganglio dei piedi mascellari; — *gppm* ganglio che è sul corso dei nervi dei piedi mascellari. Ingr.  $^{170}/_1$  . . . . . 198, 217



- Fig. 20. Taglio trasversale a livello del primo anello toracico: — *nt* nervi toracici; — *stmd* sezione del prolungamento dello stomodeo nell'interno dell'intestino medio; — *x* sepimento tra la cavità dell'intestino anteriore e quella del medio, dovuto all'accollamento delle due membrane rispettive. (Cf. gli schemi disegnati nelle Figg. 27-30.) Ingr.  $^{170}/_1$  . . . . . 198, 218, 222
21. Taglio trasversale a livello della glandola dorsale: — *gls* abbozzo delle glandole sessuali; — *ceps* ciechi epato-pancreatici superiori primitivi; — *cepi* ciechi epato-pancreatici inferiori secondari, derivati dai primi (le cellule che contengono le pareti di questi ciechi si fanno notare per la loro costituzione bollosa); — *gt<sup>3</sup>* ganglii toracici del terzo segmento toracico. Ingr.  $^{170}/_1$  . . . . . 201, 222
22. Parte anteriore di una sezione sagittale mediana, destinata a mostrare specialmente il rapporto dello stomodeo (*stmd*) coll'intestino medio, e la consecutiva formazione del fondo cieco pilorico (*fcp*). L'adesione della base della glandola dorsale con la parete cardiaca è divenuta maggiore; nondimeno anche in questo stadio si possono distinguere abbastanza chiaramente le due membrane. — *x* Sepimento che divide la cavità dell'intestino medio da quella dell'intestino anteriore; — *y, y'* punto di adesione definitivo della parete dell'intestino anteriore al medio. (Cf. gli schemi nelle Figg. 27-30.) Ingr.  $^{170}/_1$  . . . . . 202, 223
23. Giovane *Orchestia* della lunghezza di 2 mm. tagliata per mezzo, con un taglio sagittale, e vista dal lato interno. Le lettere come nelle figure precedenti. Ingr.  $^{170}/_1$  . . . . . 208
24. Intestino medio e posteriore di una giovane *Orchestia* presso a schiudere. Presenta l'origine dei ciechi posteriori (*cp*) dall'intestino medio (*im*); — *ip* intestino posteriore. Ingr.  $^{170}/_1$  . . . . . 223
- Fig. 25. *Gammarus pungens* presso a schiudere. L'antenna posteriore è involuppata nella cuticola (*cut*) della muda che precede la rottura del guscio dell'uovo. Ingr.  $^{300}/_1$  . . . . . 199
26. *Microdeutopus gryllotalpa*. Ramo esterno di uno dei piedi addominali del terzo paio: — *m* due cellule che si allungano per formare le fibre muscolari. Ingr.  $^{170}/_1$  . . . . . 206
- Figg. 27-30. Figure schematiche destinate a mostrare i rapporti successivi che prendono lo stomodeo (*st*) e l'intestino medio (*im*) nei diversi stadi della formazione dell'embrione, nonché il ripiegamento dello stomodeo per costituire le diverse appendici mediane, cioè la piega gastrica ventrale (*pgv*), e quella (*stmd*) che si prolunga nell'interno dell'intestino medio: — *fcp* fondo cieco pilorico; — *x* sepimento formato dall'adesione della membrana dell'intestino anteriore con quella del medio (cf. Figg. 1 e 2); nella Fig. 29 il sepimento è quasi scomparso dopo di avere aderito, in *y y'*, alla parte anteriore e posteriore della piega gastrica (cf. Figg. 5, 20 e 22). Nella Fig. 30 lo schema corrisponde allo stato, quasi adulto, in cui ogni traccia di sepimento è sparita. . . . . 218

## Tavola 53.

### Anatomia. — Apparecchio digerente.

- Fig. 1. *Iibilia Jeangerardii*. Parte anteriore del corpo: — *cg* rigonfiamento che fa il nervo delle antenne anteriori nell'interno del 1.<sup>o</sup> articolo del flagello; — *fcp* fondo cieco pilorico dell'intestino medio. Ingr.  $^{30}/_1$  . . . . . 95, 126
- Figg. 2-4. *Orchestia Deshayesii*.
- Fig. 2. Maschio aperto dal dorso per mostrare l'apparecchio digerente e il sessuale: — *st* stomaco; — *im* intestino medio, co' suoi annessi, cioè un fondo cieco pilorico (*fcp*), 4

- ciechi epato-pancreatici (*cep*), e 2 ciechi posteriori (*cp*); — *ip* intestino posteriore; — *gls* glandola spermatica; — *ss* serbatoio spermatico; — *d* condotto eiaculatore. Ingr.  $^{13}/_1$  . . . . . 125, 129, 130
- Fig. 3. Parte dell'apparecchio digerente dove si vedono i rapporti dei quattro ciechi epato-pancreatici fra loro e con la parte anteriore dell'intestino medio. Ingr.  $^{13}/_1$  . . . . . 126
4. Apparecchio digerente isolato: — *es* esofago; — *teg* tessuto connettivo adiposo. Le altre lettere come nella Fig. 2. In ambedue le figure i ciechi posteriori si vedono infarciti di concrezioni calcaree. Ingr.  $^{13}/_1$  . . . . . 126, 129
- Fig. 5. *Hyale Prevostii*. Tunica muscolare dei tubi epato-pancreatici: — *fc* fibre circolari; — *fa* fibre anastomotiche. Ingr.  $^{170}/_1$  . . . . . 127
6. *Orchestia Deshayesii*. Intestino anteriore: — *ls* labbro superiore; — *li* labbro inferiore; — *es* esofago; — *pc* piega cardiaca; — *pgr* piega gastrica ventrale; — *pglm* piega gastrica laterale media; — *pylp* piega gastrica laterale posteriore; — *y* piega latero-ventrale; — *mge* muscoli elevatori dello stomaco; — *md* muscoli rotatori delle pieghe cardiache; — *mde* muscoli dilatatori dell'esofago. Ingr.  $^{45}/_1$  . . . . . 120, 124
7. *Hyale Prevostii*. Pezzo della tunica muscolare di un tubo epato-pancreatico visto a minore ingrandimento di quello della Fig. 5, per dare un'idea dell'aspetto generale. Ingr.  $^{35}/_1$  . . . . . 127
8. *Orchestia Deshayesii*. Stomaco aperto dalla parte dorsale e disteso su' lati in guisa da fare vedere tutta la superficie interna dell'organo; — *pgrs* piega gastrica ventrale secondaria rivestita di piccole setole; — *y* pieghe gastriche latero-ventrali; — *se, si* setole esterne e setole interne della piega ventrale; — *l* linguetta della piega ventrale. Ingr.  $^{45}/_1$  . . . . . 121, 122
9. *Corophium acherusicum*. Parte del capo (*K*) e i primi tre anelli del torace ( $T^1$ - $T^3$ ) visti dal dorso. Le lettere come nelle figure precedenti. Le frecce indicano la direzione secondo cui si muovono le pieghe cardiache. — *stmd* Stomodeo pendente nella cavità dell'intestino medio. Ingr.  $^{70}/_1$  . . . . . 121, 124
10. *Ampelisca brevicornis*. Parte dell'intestino medio (*im*) e del posteriore (*ip*): — *cp* ciechi posteriori rudimentali. (Per errore litografico la figura è capovolta.) Ingr.  $^{60}/_1$  . . . . . 129
- Figg. 11, 12. *Hyale Prevostii*.
- Fig. 11. Parte della superficie interna d'un cieco epato-pancreatico, trattato con soluzione osmica, distesa per dimostrare le strisce alterne chiare ed oscure. Ingr.  $^{170}/_1$  . . . . . 127
12. Pezzo di appendice epato-pancreatica come si vede allo stato vivente dopo che è stata strappata dal corpo dell'animale, ed è divenuta moniliforme per azione delle fibre muscolari circolari. Ingr.  $^{45}/_1$  . . . . . 127
- 13, 14. *Orchestia Deshayesii*.
- Fig. 13. Superficie laterale e ventrale dell'intestino anteriore diviso con un taglio quasi sagittale. Le lettere come nella Fig. 6. — *is, is'* Invaginazioni secondarie dell'ultima parte dello stomodeo che pende nell'intestino medio. Ingr.  $^{45}/_1$  . . . . . 127
14. Cresta della superficie interna di un cieco epato-pancreatico, gremita di gocce trasparenti oleose. Ingr.  $^{700}/_1$  . . . . . 127
- Fig. 15. *Hyale Prevostii*. Taglio trasverso di un'appendice epato-pancreatica: — *rm* tunica muscolare; — *cep* cellule epato-pancreatiche, in talune parti cariche d'una grossa goccia oleosa; — *oc* orlo cuticolare omogeneo che riveste la superficie interna del tubo. Ingr.  $^{170}/_1$  . . . . . 132
16. *Microdeutopus gryllotalpa*. Parte d'un taglio longitudinale antero-posteriore d'una femmina per mostrare la valvola intestinale: — *im* intestino medio, cellule ordinarie basse; — *epv* cellule allungate; — *x* tratto senza epitelio dell'intestino fra l'intestino medio (*im*) ed il posteriore (*ip*); — *er* cellule epiteliali ripiegate del retto; — *f* materie alimentari o feci; — *ov* ovario. Ingr.  $^{230}/_1$  . . . . . 132

Figg. 17, 18. *Hyale Prevostii*.

- Fig. 17. Taglio trasverso dell'intestino medio ingr.  $170/1$ . — In 17\* un pezzo dell'intestino suddetto ingr.  $550/1$ ; — *im* epitelio, le cui cellule non presentano limiti distinti, ed hanno nel loro interno parecchie goccioline trasparenti; — *tc* tunica connettivale. Si noti il piegghettamento della parte della tunica che tocca l'epitelio. . . . . 125
18. Taglio trasverso del retto: — *ip* epitelio; — *tm* tunica muscolare. Ingr.  $170/1$ . . . . . 132

Figg. 19-21. *Orchestia Deshayesii*.

- Fig. 19. Serie di setoline che si vedono sulla superficie interna della cuticola rettale. Ingr.  $70/1$ . 132
20. Alcune serie delle setole suddette, vedute a maggiore ingrandimento. Ingr.  $370/1$ . . . 132
21. Concrezioni calcaree che si trovano nell'interno dei ciechi intestinali posteriori (cf. Figg. 2 e 4). Ingr.  $170/1$ . . . . . 130

Fig. 22. *Bathyporeia pilosa*. Parte d'un taglio trasverso del torace: — *z* zolle o ereste molto sporgenti nell'interno dei ciechi epato-pancreatici (*cp*), così che sembrano in questo punto libere (le cellule epiteliali del cieco si fanno notare pel loro volume straordinario); — *egr* catena gangliare ventrale. Ingr.  $350/1$ . . . . . 127

23. *Orchestia Deshayesii*. Taglio longitudinale della parete dell'esofago: — *ip* ipoderma con elementi molto allungati; — *mde* muscoli dilatatori dell'esofago; — *mce* muscoli costrittori. Ingr.  $550/1$ . . . . . 63, 91

24. *Gammarus locusta*. Parte posteriore del corpo di un giovane: — *ip* intestino posteriore con le fibre muscolari circolari; — *dr* dilatatori del retto. Ingr.  $130/1$ . . . . . 131

25. *Orchestia Deshayesii*. Taglio trasverso dello stomaco chitinoso a livello della piega ventrale (*pr*): — *mtr* muscolo trasverso della piega gastrica ventrale. Le altre lettere come nelle Figg. 2, 8 e 22. Ingr.  $170/1$ . . . . . 122

26. *Leucothoe spinicarpa*. Superficie interna ventrale dello stomaco chitinoso: — *fyv* fossette gastriche ventrali. Le altre lettere come nella Fig. 8. Ingr.  $70/1$ . . . . . 123

## Tavola 54.

### Anatomia. — Branchie. Organi dei Sensi. Organi di Escrezione.

Fig. 1. *Pontoporeia Høyi*. Il 3.<sup>o</sup> segmento toracico veduto di fronte, per mostrare la posizione e l'aspetto delle due appendici papilliformi (*ap*) dell'arco ventrale: — *br* branchie; — *pt*<sup>3</sup> 2.<sup>o</sup> articolo del 3.<sup>o</sup> paio dei piedi toracici. Ingr.  $60/1$ . . . . . 8

Figg. 2, 3. *Orchestia Deshayesii*.

Fig. 2. La coda vista di lato. Si noti la grande strettezza dell'arco dorsale del secondo segmento codale e la mancanza quasi totale dell'arco dorsale del terzo segmento. Ingr.  $16/1$ . . . . . 11

3. Il primo segmento codale veduto dalla superficie ventrale, per mostrare la mancanza di epimeri. Ingr.  $16/1$ . . . . . 11

Fig. 4. *Leucothoe spinicarpa*. Superficie interna d'una metà del 2.<sup>o</sup> segmento addominale e relativa appendice, insieme a parte dell'appendice del segmento adiacente (il disegno è preso da un taglio sagittale dell'animale): — *ab* articolo basilare rudimentale; — *ep* epimero; — *mai* muscolo adduttore interno del piede addominale, situato nell'interno dell'articolo basilare; — *l* legamento dell'articolazione formato dall'incontro di due gruppi di cellule dell'ipoderma disposti a ventaglio. Ingr.  $30/1$ . . . . . 35, 46

- Fig. 5. *Ichnopus taurus*. Parte del 2.<sup>o</sup> segmento addominale e delle relative appendici. Il disegno, preso da un taglio trasverso dell'animale, fa vedere il rapporto che passa fra l'arco ventrale del segmento, l'articolo basilare rudimentale (*ab*) e gli epimeri. — *r* Retinacoli. Ingr.  $\frac{15}{1}$ . 35, 46
- Figg. 4\*, 5\*. *Niphargus puteanus*. Tagli frontali successivi del capo per mostrare l'occhio rudimentale di un lato: — *ip* ipoderma; — *r* ganglio retinico; — *no* nervo ottico; — *go* ganglio ottico; — *le* lobi cerebriformi, con le cellule giganti (*cg*) e con le cellule (*nc*) nervose ordinarie della sostanza corticale; — *f* fasci fibrosi della parte midollare dei lobi cerebriformi. Ingr.  $\frac{300}{1}$  . . . . . 96, 108
- » 6, 7. *Atylus Swammerdamii*.
- Fig. 6. Parte del capo che presenta l'organo frontale *ofr*, involto nella sua capsula connettivale. — *o* Occhio. Ingr.  $\frac{70}{1}$  . . . . . 76
- » 7. Organo frontale visto con lenti di maggiore ingrandimento: — *epo* capsula connettivale; — *ofr* corpo della probabile glandola; — *pri* suo prolungamento inferiore; — *prs* suo prolungamento superiore; — *u, n* nuclei delle cellule che si vedono qui e là distintamente nel corpo glandolare; — *x* nubeccola, che corrisponde forse ad un prodotto di secrezione. Ingr.  $\frac{65}{1}$  . . . . . 76
- Fig. 8. *Erichthonius difformis*. Bastoncelli ialini cilindroidi presi dalla stessa antenna, ma in vario grado di costituzione e di riproduzione: — *a* bastoncetto omogeneo in tutta la sua estensione; — *b* bastoncetto che ha il contenuto leggermente turbato nell'interno da varie gocce di sostanza più rifrangente; — *c* bastoncetto dove il terzo distale è più sottile del resto, e dipende da riproduzione; — *d* bastoncetto in cui si è riprodotta soltanto una piccola punta. Ingr.  $\frac{55}{1}$  . . . . . 58
- Figg. 9, 10. *Orchestia Deshayesii*.
- Fig. 9. Bastoncelli ialini presi da un adulto: — *a* bastoncetto con due gocce rifrangenti, di cui una alla base, e l'altra nel rigonfiamento, in posizione tale da simulare un nucleo cellulare; — *b* bastoncetto con una sola goccia. Nei due bastoncelli le punte sono variamente acute e prolungate. Ingr.  $\frac{550}{1}$  . . . . . 58
- » 10. Un bastoncetto ialino di un giovane tratto dalla tasca incubatrice. Ingr.  $\frac{550}{1}$  . . . . . 58
- » 11-13. Branchie appendicolate dei piedi toracici del 5.<sup>o</sup>, 6.<sup>o</sup> e 7.<sup>o</sup> paio di un *Anonyx* (sp. ?) preso dal CHERCHIA sulle coste della Terra del Fuoco: — *br* lamina principale della branchia; — *a* appendice. Ingr.  $\frac{70}{1}$  . . . . . 148
- » 14-17. *Atylus Swammerdamii*.
- Fig. 14. Parte di un piede toracico medio della femmina: — *br* branchie con piccole eminenze; — *lm* lamina marsupiale, o fotoria. Ingr.  $\frac{70}{1}$  . . . . . 149, 161
- » 15. Branchia d'un individuo in cui le lamine secondarie sono poco sviluppate. In questa figura è rappresentata la superficie dove le eminenze sono appena iniziate, mentre invece sono molto evidenti le invaginazioni derivanti dalle estroflessioni dell'altra superficie. Ingr.  $\frac{70}{1}$  . . . . . 149
- » 16. La stessa branchia della figura precedente, ma disegnata dall'altra superficie, dove le estroflessioni sono già abbastanza avviate: — *br* lamina principale della branchia; — *ls* lamine o creste secondarie; — *lrs* lamina secondaria rudimentale; — *ir* invaginazione rudimentale; — *i* invaginazione già avanzata. Ingr.  $\frac{70}{1}$  . . . . . 149
17. Parte di un piede toracico medio di un individuo adulto, in cui la branchia è divenuta già in forma di penna. Ingr.  $\frac{60}{1}$  . . . . . 149
- Fig. 18. *Ichnopus taurus*. Branchia appendicolata. Ingr.  $\frac{70}{1}$  . . . . . 119
- » 19. *Niphargus puteanus*. Bastoncelli ialini presi da uno stesso individuo: — *a* bastoncetto nano; — *b* bastoncetto con un'apertura in cima (*o*), e con vari falsi segmenti (*s'*) in formazione; — *c* bastoncelli con la punta riprodotta (*bu*), con un falso segmento (*s*) e col principio d'un altro (*s'*). Ingr.  $\frac{550}{1}$  . . . . . 58

- Fig. 20. *Eusirus cuspidatus*. Peluria presa dalla superficie superiore del telson. Ingr.  $500/1$ . — Nella Fig. 20\* sono rappresentate alcune delle eminenze cuticolari triangolari, come si vedono con lenti di maggiore forza ingranditiva. Ingr.  $1000/1$  . . . . . 52
- Figg. 21, 22. *Gammarus pungenis*.
- Fig. 21. Flagello principale di un giovane: — *su* setole con la punta curvata ad uncino; — *sp* setolina piumata, che si trova costantemente all'estremità del 4.<sup>o</sup> articolo del flagello; — *bi* bastoncelli ialini con vacuoli. I numeri romani servono ad indicare gli articoli successivi del flagello principale. Ingr.  $1000/1$ . . . . . 51, 58
- \* 22. Giovane *Gammarus* vivente rappresentato in maniera semischematicamente, come si vede per trasparenza secondo un piano quasi sagittale: — *c* cuore; — *au* aorta anteriore che si divide nei suoi tre rami, cioè superiore (*rs*), medio (*rm*) ed inferiore (*ri*); — *ap* aorta posteriore; — *lsc* legamenti sospensori del cuore. Le frecce indicano la direzione delle correnti del sangue: — *x* punto in cui la corrente circolatoria addominale si riflette in alto per diventare poi dorsale; — *sp* seno pericardico; — *sc* seno ventrale; — *fcp* fondo cieco pilorico; — *ple* glandole coxali. Ingr.  $50/1$ . — Nella Fig. 22\* sono disegnate le glandole coxali, come si vedono nei diversi piedi mascellari (*pm*), toracici (*pt<sup>1</sup>-pt<sup>7</sup>*), e addominali (*pa<sup>1</sup>-pa<sup>3</sup>*), quando l'animale è tenuto per alcuni giorni nell'acqua in cui si sia sparso un po' di polvere di carminio. Ingr.  $1000/1$ . . . . . 73, 138, 144
23. Taglio trasverso d'una branchia di un individuo adulto: — *cut* cuticola; — *ip* cellule dell'ipoderma, le quali in taluni punti non si uniscono a quelle del foglietto branchiale opposto e costituiscono così una lacuna (*l*), mentre che in altri si uniscono e formano un sepimento (*s*); — *x* coagulo sanguigno. Ingr.  $300/1$ . . . . . 150
- Fig. 24. *Orchestia Deshayesi*. Taglio trasverso d'una branchia. Le lettere come nella figura precedente. Le lacune sono in parte occupate da una rete (*te*) di tessuto connettivo. Ingr.  $250/1$ . 150
- Figg. 25, 26. *Hyale pontica*.
- Fig. 25. Parte del peduncolo e del flagello di un individuo in muda. I numeri romani indicano gli articoli del peduncolo e del flagello così della cuticola rigettata (*cut*) come della nuova antenna (*an*). Ingr.  $70/1$  . . . . . 292
26. Un piede toracico del 5.<sup>o</sup> paio in rigenerazione (*pr*), contenuto ancora nella cuticola (*cut*) del moncone rimasto. Ingr.  $150/1$  . . . . . 292
- Fig. 27. *Eusiroides Caesaris*. Rigenerazione di parte di un piede toracico del 5.<sup>o</sup> paio. Ingr.  $15/1$ . . . 292

## Tavola 55.

### Sistematica. — Dulichidi. Icilidi. Corofidi.

- Figg. 1-3. *Laetmatophilus tuberculatus*. Pag.
- Fig. 1. Una ♀ veduta di lato. — Fig. 2. Uno dei gnatopodi posteriori del ♂. — Fig. 3. Segmenti codali e relative appendici, veduti dalla parte inferiore. — (Copie da BRUZELUS, Skandin. Gammar., t. 1, f. 1.) . . . . . 317
- 4, 5. *Paradulichia typica*.
- Fig. 4. Un individuo veduto di lato. — Fig. 5. Estremità posteriore del corpo e relative appendici. — (Copie da BOECK, Skandin. arkt. Amphip., t. 29, f. 8.) . . . . . 319
- 6-10. *Dulichia tuberculata*.
- Fig. 6. Un individuo intero veduto di lato. — Figg. 7-10. Parti boccali ingr.  $60/1$ . — (La Fig. 6 è copia da G. O. SAIRS, Norske Nordhavs-Exped., t. 17, f. 6; le Figg. 7-10 sono prese da un individuo proveniente da Tromsø, e dovuto alla cortesia dello SPARRE SCHNEIDER.) . . . 321

	Pag.
Fig. 11. <i>Dulichia macera</i> . Uno dei gnatopodi posteriori. — (Copia da G. O. SÆRS, Norske Nordhavs-Exped., t. 18, f. 2.) . . . . .	322
» 12. <i>Dulichia porrecta</i> . Uno dei gnatopodi posteriori. — (Copia da BOECK, Skandin. arkt. Amphip., t. 29, f. 10.) . . . . .	322
» 13. <i>Dulichia hirticornis</i> . Uno dei gnatopodi posteriori. — (Copia da G. O. SÆRS, Norske Nordhavs-Exped., t. 18, f. 1.) . . . . .	323
» 14. <i>Dulichia nordlandica</i> . Uno dei gnatopodi posteriori. — (Copia da BOECK, Skandin. arkt. Amphip., t. 29, f. 11.) . . . . .	324
Figg. 15, 16. <i>Dulichia spinosissima</i> .	
Fig. 15. Animale veduto dal dorso. — Fig. 16. Uno dei gnatopodi posteriori. — (Copie da KRÖYER, Voy. Scandim., t. 22, f. 1.) . . . . .	324
» 17, 18. <i>Platophium orientale</i> .	
Fig. 17. Corpo d'un individuo veduto di fianco. — Fig. 18. Parte d'uno dei gnatopodi posteriori del ♂. — (Copie da STEBBING, Rep. Challenger, t. 128 e 129.) . . . . .	332
» 18*. Gnatopodo posteriore d'un <i>Platophium</i> della collezione CIERCHIA proveniente da Hongkong. Ingr. $\frac{36}{1}$ .	
» 19-24. <i>Neohela monstrosa</i> .	
Fig. 19. Animale veduto di profilo. — Fig. 20. Mandibola. — Fig. 21. Mascella anteriore. — Fig. 22. Mascella posteriore. — Fig. 23. Piedi mascellari. — Fig. 24. Parte posteriore del corpo e relative appendici. — (Copie da BOECK, Skandin. arkt. Amphip., t. 32, f. 1.) . . . . .	343
» 25-31. <i>Iceilius ovalis</i> .	
Fig. 25. Una ♀ veduta dal dorso. — Fig. 26. Mandibola. — Fig. 27. Mascella anteriore. — Fig. 28. Piedi mascellari. — Fig. 29. Gnatopodo anteriore. — Fig. 30. Gnatopodo posteriore. — Fig. 31. Coda e relative appendici. — (Copie da STEBBING, Rep. Challenger, t. 133.) . . . . .	345
» 32-36. <i>Unciola crenatipalmata</i> .	
Fig. 32. Una ♀ adulta veduta di profilo. — Fig. 33. Flagello accessorio dell'antenna anteriore veduto dalla superficie interna. — Fig. 34. Mandibola. — 35. Mascella anteriore. — Fig. 36. Piedi mascellari; — e lobo speciale. — (Copie da BONNIER, Bull. scient. de la France et de la Belgique, vol. 20, t. 12.) . . . . .	340
» 37-41. <i>Unciola irrorata</i> .	
Fig. 37. Antenna anteriore. — Fig. 38. Antenna posteriore veduta dalla superficie superiore. — Fig. 38*. Terzo e parte del quarto articolo della stessa appendice veduti dalla superficie inferiore. — Fig. 39. Gnatopodo anteriore. — Fig. 40. Gnatopodo posteriore. — Fig. 40*. Parte della mano dello gnatopodo posteriore maggiormente ingrandita. — Fig. 41. Parte degli ultimi due segmenti codali, con le relative appendici. — Le antenne e i gnatopodi ingr. $\frac{16}{1}$ ; le Figg. 40* e 41 ingr. $\frac{60}{1}$ . — (Da un individuo proveniente dal N. E. America, e dovuto al Rev. Canon A. M. NORMAN.) . . . . .	338
» 42-45. <i>Unciola planipes</i> .	
Fig. 42. Parte del peduncolo e del flagello principale d'un'antenna anteriore per mostrare il flagello accessorio 2-articolato ingr. $\frac{60}{1}$ . — Fig. 43. Parte d'uno dei gnatopodi anteriori ingr. $\frac{60}{1}$ . — Fig. 44. Parte d'uno dei gnatopodi posteriori ingr. $\frac{60}{1}$ . — Fig. 44*. Parte della mano, e unghia ingr. $\frac{250}{1}$ . — Fig. 45. Piedi codali posteriori ingr. $\frac{60}{1}$ . — (Tutte le figure da una ♀, proveniente dal Northumberland, e dovuta al NORMAN.) . . . . .	341
» 46-51. <i>Cerapus tubularis</i> .	
Fig. 46. Gnatopodo posteriore d'un ♂ adulto. — Fig. 47. Piede toracico del 5. <sup>o</sup> paio dello stesso individuo. — Figg. 48-50. Piedi addominali (anteriore medio e posteriore) di una ♀. — Fig. 51. Coda e relative appendici di una ♀. — (Copie da S. I. SMITH, Trans. Connecticut Acad., vol. 4, t. 2.) . . . . .	378

	Pag.
Fig. 52. <i>Cerapus crassicornis</i> . — (Copia da BATE and WESTWOOD, Brit. sess. cy. Crust., vol. 1, p. 469.)	378
Figg. 53-57. <i>Cerapus Sismithi</i> .	
Fig. 53. Un ♂ veduto di profilo. — Fig. 54. Capo d'un individuo veduto dall'alto, per mostrare il rostro frontale. — Fig. 55. Mandibola. — Fig. 56. Mascella anteriore. — Fig. 57. Coda con le relative appendici. — (Copie da STEBBING, Rep. Challenger, t. 124.)	379
Figg. 58, 59. <i>Corophium crassicornis</i> .	
Fig. 58. Antenne e capo d'un ♂ veduto di lato. — Fig. 59. Antenna posteriore d'una ♀ ingr. $\frac{50}{1}$ . — (La Fig. 58 è copia da BRUZELIUS, Skandin. Gammar., t. 1, f. 2; la Fig. 59 è presa da un individuo inviatiomi dal NORMAN, e proveniente dalle isole Shetland.)	367
Fig. 60. <i>Corophium affine</i> . Gnatopodo posteriore. — (Copia da BOECK, Amphip. bor. arct., t. 28, f. 7, k.)	371

## Tavola 56.

### Sistematica. — Corofidi.

Fig. 1. <i>Cerapopsis longipes</i> . Un ♂ veduto di lato ingr. $\frac{24}{1}$ . — (Da un individuo del Golfo di Napoli.)	388
Figg. 2-6. <i>Corophium bicaudatum</i> .	
Fig. 2. Parte del peduncolo di un'antenna anteriore di un ♂ per mostrare i denti del 1. <sup>o</sup> articolo ingr. $\frac{32}{1}$ . — Fig. 3. Estremità di uno dei gnatopodi anteriori ingr. $\frac{170}{1}$ . — Fig. 4. Estremità di uno gnatopodo posteriore ingr. $\frac{42}{1}$ . — Fig. 5. Estremità di un piede toracico del 3. <sup>o</sup> paio ingr. $\frac{32}{1}$ . — Fig. 6. Terzo segmento della coda e relative appendici ingr. $\frac{70}{1}$ . — (Tutte le figure da un individuo ♂ inviatiomi dal NORMAN, e proveniente dalla Costa Mayo, Ireland.)	372
7-12. <i>Microtopotus longimanus</i> .	
Fig. 7. Un ♂ veduto di lato. — Fig. 8. Mandibola. — Fig. 9. Mascella anteriore. — Fig. 10. Piedi mascellari. — Fig. 11. Gnatopodo posteriore della ♀. — (Copie da BONNIER, Bull. scientif. de la France et de la Belgique, t. 8 e 9 [« <i>M. maculatus</i> »].)	392
13-16. <i>Microtopotus maculatus</i> .	
Fig. 13. Antenne del ♂ adulto. — Fig. 14. Gnatopodo posteriore della ♀. — Fig. 15. Gnatopodo posteriore del ♂. — Fig. 16. Piedi codali posteriori e telson ingr. $\frac{130}{1}$ . — (Le Figg. 13-15 sono copie da CHEVREUX, Bull. Soc. Zool. France, vol. 15, p. 148; la Fig. 16 è presa da un individuo delle Shetland, mandato dal NORMAN.)	393
17-34. <i>Antonoe spiniventris</i> .	
Da un individuo del Golfo di Napoli. — Le antenne ingr. $\frac{40}{1}$ ; i piedi mascellari $\frac{130}{1}$ ; le altre parti boccali $\frac{110}{1}$ ; i gnatopodi $\frac{70}{1}$ ; gli altri piedi $\frac{40}{1}$ .	400
35, 36. <i>Antonoe arctica</i> .	
Fig. 35. Gnatopodo anteriore. — Fig. 36. Gnatopodo posteriore. — (Copie da HANSEN, Dijnphna, Krebsd. Kara, t. 22, f. 3.)	406
Fig. 37. <i>Aora gracilis</i> . Telson ingr. $\frac{220}{1}$ . — (Da un individuo di Napoli.)	407
Figg. 38-40 <sup>b</sup> . <i>Aora typica</i> .	
Diverse forme di gnatopodi anteriori del ♂. — (Copie da CHILTON, Ann. Mag. N. Hist., (5) vol. 16, t. 10.)	407
Fig. 41. <i>Microdentopus anomulus</i> . Gnatopodo anteriore del ♂. — (Copia da BRUZELIUS, Skandin. Gammar., t. 1, f. 1.)	417
Figg. 42-45. <i>Simpsonella chelifera</i> .	
Fig. 42. Gnatopodo anteriore del ♂. — Figg. 43-45. Diverse forme dei gnatopodi posteriori del ♂. — (Copie da STEBBING, Ann. Mag. N. Hist., [5] vol. 1, t. 5.)	424

## Tavola 57.

### Sistemica. — Corofidi. Ampeliscidi. Orchestidi.

	Pag.
Figg. 1-3. <i>Leptocheirus pinguis</i> .	
Fig. 1. Gnatopodo anteriore. — Fig. 2. Gnatopodo posteriore. — Fig. 3. Piedi codali posteriori. — Le Figg. 1 e 2 sono ingr. $1^s/1$ ; la Fig. 3 $2^o/1$ . (Da un individuo della costa N. E. America, inviatomi dal Rev. NORMAN.) . . . . .	432
◦ 4, 5. <i>Leptocheirus barbimanus</i> .	
Fig. 4. Gnatopodo anteriore. — Fig. 5. Gnatopodo posteriore. — (Copia da STEBBING, Rep. Challenger, t. 126.)	433
◦ 6, 7. <i>Protomedeia fasciata</i> .	
Fig. 6. Gnatopodo anteriore. — Fig. 7. Gnatopodo posteriore. — Ambedue le figure ingr. $2^o/1$ . — (Da un individuo di Tromsø inviatomi in cortesia dal Conserv. SPARRE SCHNEIDER.) . . . . .	435
◦ 8-11. <i>Protomedeia maculata</i> .	
Parti boccali di un individuo del Golfo di Napoli ingr. $10^o/1$ . La Fig. 8 <sup>*</sup> rappresenta il 3. <sup>o</sup> articolo del palpo mandibolare veduto di prospetto. Nella Fig. 8 l'articolo stesso appare molto più sottile, perchè veduto di sbieco. . . . .	436
Fig. 12. <i>Protomedeia exsertipes</i> . Gnatopodo posteriore. — (Copia da STEBBING, Rep. Challenger, t. 112.) . . . . .	440
Figg. 13-16. <i>Podocerus falcatus</i> .	
Figg. 13-15. Forme anormali di gnatopodi posteriori del ♂ (cf. p. 147.) — Fig. 16. Gnatopodo posteriore di un ♂ normale per confronto. I due gnatopodi posteriori rappresentati dalle Figg. 15 e 16 appartenevano allo stesso individuo. — Tutte le forme ingr. $2^o/1$ . (Da indi- vidui della Collezione CHERCHIA.) — Cf. anche NEBESKI, Amphip. Adria, p. 151, t. 13, f. 44.)	445
Fig. 17. <i>Podocerus tuberculatus</i> . Estremità di uno dei gnatopodi posteriori. — (Copia da BOECK, Crust. Willem Barents, t. 3, f. 32.) . . . . .	443
◦ 18. <i>Podocerus anguipes</i> . Estremità di uno dei gnatopodi del ♂. — (Copia da BUCHHOLZ, Nordpolarf., t. 13).	444
◦ 19. <i>Podocerus latipes</i> . Estremità di uno dei gnatopodi posteriori. — (Copia da BOECK, Skandin. arkt. Amphip., t. 29, f. 1.) . . . . .	450
◦ 20. <i>Podocerus tristanensis</i> . Gnatopodo posteriore del ♂. — (Copia da STEBBING, Rep. Challenger, t. 121.)	450
Figg. 21, 22. <i>Podoceroopsis Sophieae</i> . Due forme dei gnatopodi posteriori. — (Copia da BOECK, Skandin. arkt. Amphip., t. 25, f. 7.) . . . . .	452
◦ 23, 24. <i>Podoceroopsis megalcheir</i> .	
Fig. 23. Gnatopodo anteriore. — Fig. 24. Gnatopodo posteriore. — (Copia da STEBBING and ROBERTSON, Trans. Zool. Soc. London, vol. 13, t. 6, fig. A.) . . . . .	453
25, 26. <i>Amphithoe rubricata</i> . Telson veduto dalla faccia superiore e di profilo ingr. $1^o/1$ . — (Da un individuo del Golfo di Napoli.) . . . . .	456
Fig. 27. <i>Amphithoe grandimana</i> . Gnatopodo posteriore. — (Copia da BOECK, Skandin. arkt. Amphip., t. 26, f. 4.)	460
Figg. 28, 29. <i>Amphithoe hamulus</i> .	
Fig. 28. Gnatopodo posteriore. — Fig. 29. Piede toracico del 7. <sup>o</sup> paio. — (Copia da BOECK, Skandin. arkt. Amphip., t. 27, f. 1.) . . . . .	463
◦ 30-32. <i>Amphithoe Mitsukurii</i> .	
Fig. 30. Telson di un piccolo individuo ingr. $1^s/1$ . — Figg. 31, 32. Gnatopodi di un ♂ adulto ingr. $2^o/1$ . (Da individui inviati da Tokio dal Prof. MITSUKURI al Prof. DOHRN.) . . . . .	460
◦ 33-35. <i>Amphithoe bicuspis</i> .	
Fig. 33. Gnatopodo posteriore ingr. $1^s/1$ . — Figg. 34, 35 Telson veduto dalla superficie superiore e di profilo ingr. $1^o/1$ . — (Da uno degl'individui cortesemente inviati da Venezia dal compianto Dott. NINNI.) . . . . .	461
Fig. 36. <i>Amphithoe gammaroides</i> . Gnatopodo posteriore. — (Copia da STEBBING, Ann. Mag. N. Hist., [1] vol. 14, t. 12.) . . . . .	462



	Pag
Fig. 37. <i>Amphithoe lucertosa</i> . Gnatopodo posteriore. — (Copia da BATE, Cat. Brit. Mus., t. 41, f. 5.) . . . . .	461
38. <i>Amphithoe cuniculus</i> . Gnatopodo posteriore. — (Copia da STEBBING, Ann. Mag. N. Hist., [4] vol. 14, t. 11, f. 1.) . . . . .	460
Figg. 39-41. <i>Ampelisca Gaimardii</i> .	
Fig. 39. Palpo della mandibola. — Fig. 40. Piede toracico del 7. <sup>o</sup> paio. — Fig. 41. Telson. — (Copia da KRÖYER, Voy. Scandin., t. 23, f. 1.) . . . . .	472
Fig. 42. <i>Ampelisca Esehrichtii</i> . Piede toracico del 7. <sup>o</sup> paio. — (Copia da BUCHHOLZ, Nordpolarf., t. 13, f. 1.) . . . . .	475
43. <i>Ampelisca acinaces</i> . Piede toracico del 7. <sup>o</sup> paio. — (Copia da STEBBING, Rep. Challenger, t. 102.) . . . . .	476
44. <i>Ampelisca kallarthrus</i> . Piede toracico del 7. <sup>o</sup> paio. — (Copia da STEBBING, Trans. R. Soc. London, vol. 12, t. 38.) . . . . .	476
45. <i>Ampelisca minuticornis</i> . Piede toracico del 7. <sup>o</sup> paio. — (Copia da G. O. SARS, Norske Nordhavs-Exped., t. 16, f. 5.) . . . . .	477
46. <i>Ampelisca abyssicola</i> . Piede toracico del 7. <sup>o</sup> paio. — (Copia da STEBBING, Rep. Challenger, t. 104.) . . . . .	477
47. <i>Ampelisca aequicornis</i> . Piede toracico del 7. <sup>o</sup> paio. — (Copia da BRUZELIUS, Skandin. Gammar., t. 4, f. 15, n.) . . . . .	478
48. <i>Ampelisca propinqua</i> . Piede toracico del 7. <sup>o</sup> paio. — (Copia da BOECK, Skandin. arkt. Amphip., t. 31, f. 8.) . . . . .	483
49. <i>Ampelisca odontoplar</i> . Piede toracico del 7. <sup>o</sup> paio. — (Copia da G. O. SARS, Norske Nordhavs-Exped., t. 16, f. 4.) . . . . .	483
50. <i>Ampelisca fusca</i> . Piede toracico del 7. <sup>o</sup> paio. — (Copia da STEBBING, Rep. Challenger, t. 105.) . . . . .	484
51. <i>Haploops setosa</i> . Piede toracico del 7. <sup>o</sup> paio. — (Copia da BOECK, Skandin. arkt. Amphip., t. 30, f. 7.) . . . . .	488
Figg. 52, 53. <i>Talitrus locusta</i> .	
Fig. 52. Gnatopodo anteriore della ♀. — Fig. 53. Telson. — (Copia da G. O. SARS, Crust. Norway, t. 9.) . . . . .	492
Fig. 54. <i>Orchestia megalophthalma</i> . Parte anteriore del corpo e relative appendici. — (Copia da BATE, Cat. Brit. Mus., t. 3, f. 8.) . . . . .	496
55. <i>Orchestia tuberculata</i> . Un ♂ veduto di lato. — (Copia da BATE, Cat. Brit. Mus., t. 2, f. 2.) . . . . .	496
56. <i>Orchestia Fischeri</i> . Un ♂ veduto di lato. — (Copia da EDWARDS, Hist. Crust., t. 29, f. 4.) . . . . .	497
Figg. 57-60. <i>Orchestia scutigera</i> .	
Fig. 57. Gnatopodo posteriore del ♂. — Fig. 58. Parte dei piedi toracici del 7. <sup>o</sup> paio del ♂ con la squama enormemente sviluppata. — (Si confrontino queste due figure copiate da DANA, U. S. Exped., t. 58, f. 2 con le Figg. 59 e 60 che rappresentano le stesse parti copiate da BATE, Cat. Brit. Mus., t. 1, f. 7. Le differenze accennano forse ad una specie diversa.) . . . . .	497
61, 62. <i>Orchestia serrulata</i> .	
Fig. 61. Gnatopodo posteriore del ♂. — Fig. 62. Margine posteriore seghettato del 2. <sup>o</sup> articolo dei piedi toracici posteriori. — (Copia da DANA, U. S. Exped., t. 58, f. 7.) . . . . .	498
Fig. 63. <i>Orchestia quadrimana</i> . Gnatopodo posteriore del ♂. — (Copia da DANA, U. S. Exped., t. 59, f. 7.) . . . . .	504
64. <i>Orchestia limicola</i> . Gnatopodo posteriore del ♂. — (Copia da HASWELL, Proc. Linn. Soc. N. S. Wales, vol. 5, t. 5, f. 2.) . . . . .	505
65. <i>Orchestia Aucklandiae</i> . Gnatopodo posteriore del ♂. — (Copia da BATE, Cat. Brit. Mus., t. 1 a, f. 3.) . . . . .	505
Figg. 66, 67. <i>Orchestia longicornis</i> .	
Fig. 66. Gnatopodo anteriore. — Fig. 67. Gnatopodo posteriore. — Entrambe le figure ingr. <sup>10</sup> / <sub>1</sub> . — (Da un individuo ♂ del N. E. America inviati dal NORMAN [ <i>Orchestia longicornis</i> ].) . . . . .	505
Fig. 68. <i>Orchestia Quoyana</i> . Gnatopodo posteriore del ♂. — (Copia da EDWARDS, in: CUVIER, Règne Anim., Éd. Crochard, Atlas, t. 59, f. 4.) . . . . .	506
69. <i>Orchestia Capensis</i> . Gnatopodo posteriore del ♂. — (Copia da DANA, U. S. Exped., t. 58, f. 3.) . . . . .	506
Figg. 70-73. <i>Orchestia Deshayesi</i> .	
Gnatopodi posteriori del ♂ in diversi gradi di sviluppo. — Fig. 70. Stadio in cui il gnatopodo posteriore del ♂ è somigliante a quello della ♀. — Figg. 71 e 72. Gnatopodo posteriore in muda. — Fig. 73. Gnatopodo posteriore quasi completamente sviluppato. — Tutte le forme ingr. <sup>20</sup> / <sub>1</sub> . — (Da un individuo del Golfo di Napoli.) . . . . .	508

## Tavola 58.

### Sistematica. — Orchestidi. Dexaminidi.

	Pag.
Fig. 1. <i>Hyalella cuprea</i> . Gnatopodo posteriore. — (Copia da FAXON, Expl. Lake Titicaca, p. 372, f. 33.) . . .	514
Figg. 2, 3. <i>Hyalella armata</i> .	
Parte del capo, per mostrare la forma degli epimeri dei gruppi anteriore e medio. — (Copia da FAXON, l. c., p. 364, f. 1.) . . . . .	514
» 4, 5. <i>Hyalella lucifugax</i> .	
Fig. 4. Dorso del torace e dell'addome armato di processi spinosi. — Fig. 5. Uno dei gnatopodi posteriori. — (Copie da FAXON, l. c., p. 369, f. 26.) . . . . .	515
» 6, 7. <i>Hyalella longipes</i> .	
Fig. 6. Parte anteriore del torace, co' corrispondenti epimeri. — Fig. 7. Parte d'uno dei gnatopodi posteriori. — (Copie da FAXON, l. c., p. 368, f. 22, 23.) . . . . .	515
Fig. 8. <i>Hyalella latimana</i> . Mano dei gnatopodi posteriori. — (Copia da FAXON, l. c., p. 370, f. 28.) . . .	515
» 9. <i>Hyalella longipalma</i> . Mano dei gnatopodi posteriori. — (Copia da FAXON, l. c., p. 371, f. 30.) . . .	516
Figg. 10, 11. <i>Hyalella dentata</i> .	
Fig. 10. Un ♂ veduto di lato. — Fig. 11. Telson. — (Copia da S. I. SMITH, Crust. fresh waters U. S., t. 2, f. 8 e 10.) . . . . .	516
» 12, 13. <i>Hyalella echinus</i> .	
Fig. 12. Schema d'un segmento toracico. — Fig. 13. Parte d'uno dei gnatopodi posteriori. — (Copia da FAXON, l. c., p. 367, f. 20 e 21.) . . . . .	517
» 14-21. <i>Ceina egregia</i> .	
Fig. 14. Una ♀ veduta di lato. — Fig. 15. Parte posteriore del corpo. — Fig. 16. Mandibola. — Fig. 17. Piedi mascellari. — Fig. 18. Gnatopodo anteriore. — Fig. 19. Gnatopodo posteriore d'un ♂ giovane. — Fig. 20. Gnatopodo posteriore d'un ♂ adulto. — Fig. 21. Telson. — (Copie da CHILTON, Trans. N. Zealand Inst., vol. 15, t. 2, f. 2.) . . . . .	530
Fig. 22. <i>Halimedes distinguendus</i> . Piede toracico del 3. <sup>o</sup> paio del ♂. — (Copia da HANSEN, Malacostr. Groenland. occid., t. 4, f. 8.) . . . . .	534
Figg. 23-27. <i>Halimedes phyllonys</i> .	
Fig. 23. Parte anteriore del corpo, per mostrare la forma speciale del peduncolo delle antenne anteriori. — Fig. 24. Gnatopodo anteriore. — Fig. 25. Gnatopodo posteriore. — Fig. 26. Piede toracico del 3. <sup>o</sup> paio. — Fig. 27. Telson. — (Le Figg. 23 e 27 sono copiate da BRUZELIUS, Skandin. Gammar., t. 4, f. 17; le Figg. 24 e 25 da BOECK, Skandin. arkt. Amphip., t. 14, f. 7; la Fig. 26 da HANSEN, Malacostr. Groenland. occid., t. 4, f. 7.) . . . . .	535
» 28, 29. <i>Halimedes Saussurei</i> .	
Fig. 28. Uno dei gnatopodi anteriori. — Fig. 29. Uno dei gnatopodi posteriori. — (Copia da BOECK, Skandin. arkt. Amphip., t. 15, f. 1.) . . . . .	535
» 30-32. <i>Halimedes obtusifrons</i> .	
Fig. 30. Antenne. — Fig. 31. Uno dei gnatopodi anteriori. — Fig. 32. Uno dei gnatopodi posteriori. — (Copia da HANSEN, Malacostr. Groenland. occid., t. 5, f. 1.) . . . . .	536
» 33-35. <i>Halimedes ornatus</i> .	
Fig. 33. Rostro frontale. — Fig. 34. Parte della superficie dorsale. — Fig. 35. Uno dei gnatopodi posteriori. — (Copia da STEBBING, Rep. Challenger, t. 64.) . . . . .	536
« 36, 37. <i>Halimedes longimanus</i> .	
Fig. 36. Uno dei gnatopodi anteriori. — Fig. 37. Uno dei gnatopodi posteriori. — (Copia da BOECK, Skandin. arkt. Amphip., t. 13, f. 6.) . . . . .	538

	Pag.
Figg. 38-40. <i>Halimedon parvimanus</i> .	
Fig. 38. Rostro frontale e parte delle antenne anteriori. — Fig. 39. Uno dei gnatopodi anteriori. —	
Fig. 40. Uno dei gnatopodi posteriori. — (Copie da NORMAN, Ann. Mag. N. Hist., [6]	
vol. 3, t. 20, f. 10-12.) . . . . .	539
41, 42. <i>Halimedon breviculcar</i> .	
Fig. 41. Uno dei gnatopodi anteriori. — Fig. 42. Uno dei gnatopodi posteriori. — (Copie da STEBBING,	
Rep. Challenger, t. 59.) . . . . .	539
43-45. <i>Halimedon cinderella</i> .	
Fig. 43. Estremità di uno dei gnatopodi anteriori. — Fig. 44. Estremità di uno dei gnatopodi poste-	
riori. — Fig. 45. Estremità d'uno dei piedi toracici del 4. <sup>o</sup> paio, per mostrare l'appendice	
dell'ungghia. — (Copie da STEBBING, Rep. Challenger, t. 62.) . . . . .	540
46-49. <i>Halimedon rostratus</i> .	
Fig. 46. Parte anteriore del corpo. — Fig. 47. Estremità di uno dei gnatopodi anteriori. — Fig. 48. Estre-	
mità di uno dei gnatopodi posteriori. — Fig. 49. Telson e piedi codali posteriori. — (Copie	
da STEBBING, Rep. Challenger, t. 60.) . . . . .	540
50-52. <i>Oediceros brevicornis</i> .	
Fig. 50. Parte anteriore del corpo. — Fig. 51. Estremità di uno dei gnatopodi anteriori. — Fig. 52. Estre-	
mità di uno dei gnatopodi posteriori. — (Copie da BOECK, Skandin. arkt. Amphip., t. 13, f. 2.)	543
53, 54. <i>Oediceros Nori-Zealandiae</i> .	
Fig. 53. Parte del capo e antenne. — Fig. 54. Estremità di uno dei gnatopodi posteriori. — (Copie	
da DANA, U. S. Exped., t. 63, f. 7.) . . . . .	543
Fig. 55. <i>Oediceros Malmgrenii</i> . Animale intero. — (Copia da STUXBERG, Evert. Sibiriens, p. 724.) . . . . .	544
Figg. 56-60. <i>Oediceros longicaudatus</i> .	
Fig. 56. Capo e antenne. — Fig. 57. Piedi mascellari. — Fig. 58. Estremità di uno dei gnatopodi	
anteriori. — Fig. 59. Estremità di uno dei gnatopodi posteriori. — (Copie da BOECK,	
Skandin. arkt. Amphip., t. 21, f. 3.) . . . . .	544
61, 62. <i>Oediceros longirostris</i> .	
Fig. 61. Estremità di uno dei gnatopodi anteriori. Il margine unguicolare è minutamente seghettato;	
oltre a ciò esistono varie piccole spine ricurve quasi ad uncino. — Fig. 62. Estremità di uno	
dei gnatopodi posteriori. — Entrambe le figure sono ingr. $\frac{36}{1}$ . — (Da un individuo di Tromsø,	
inviatomi dallo SPARRE SCHNEIDER.) . . . . .	545
63, 64. <i>Oediceros aequicornis</i> .	
Fig. 63. Estremità di uno dei gnatopodi anteriori. — Fig. 64. Estremità di uno dei gnatopodi poste-	
riori. — (Copie da NORMAN, Ann. Mag. N. Hist., [6] vol. 3, t. 20, f. 1, 2.) . . . . .	545
65, 66. <i>Oediceros lynceus</i> .	
Fig. 65. Gnatopodo anteriore dell' <i>Oed. lynceus</i> (Copia da BOECK, Skandin. arkt. Amphip., t. 13, f. 4).	
— Fig. 66. Gnatopodo anteriore dell' <i>Oed. microps</i> (Copia da G. O. SARS, Norges Crust., t. 4,	
f. 8 a) . . . . .	546
67, 68. <i>Oediceros latimanus</i> .	
Fig. 67. Estremità di uno dei gnatopodi anteriori. — Fig. 68. Estremità di uno dei gnatopodi poste-	
riori. — (Copie da BOECK, Skandin. arkt. Amphip., t. 14, f. 2.) . . . . .	549
69, 70. <i>Oediceros nubilatus</i> .	
Fig. 69. Estremità di uno dei gnatopodi anteriori. — Fig. 70. Estremità di uno dei gnatopodi poste-	
riori. — Entrambe le figure sono ingr. $\frac{36}{1}$ . — (Da un individuo della Finmarchia, inviatomi	
dal NORMAN [ <i>Monoculoides borealis</i> *].) . . . . .	550
71, 72. <i>Oediceros saginatus</i> .	
Fig. 71. Estremità di uno dei gnatopodi anteriori. — Fig. 72. Estremità di uno dei gnatopodi poste-	
riori. — Entrambe le figure sono ingr. $\frac{36}{1}$ , e derivano da un individuo della Greenlandia,	
inviatomi dal NORMAN [ <i>Oediceros borealis</i> *].) . . . . .	551

	Pag.
Figg. 73, 73*. <i>Bircenna fulvus</i> .	
Fig. 73. Animale intero. — Fig. 73*. Estremità posteriore del corpo: — <i>t</i> telson; — <i>pc</i> <sup>2</sup> piedi codali medi; — <i>pc</i> <sup>3</sup> piedi codali posteriori di forma speciale. — (Copia da CHILTON, Trans. N. Zealand Inst., vol. 16, t. 21, f. 1.) . . . . .	562
» 74-78. <i>Stenothoe valida</i> .	
Fig. 74. Mascella anteriore. — Figg. 75, 76. Gnatopodi anteriore e posteriore di un ♂. — Fig. 77. Piede toracico del 7. <sup>o</sup> paio. — Fig. 78. Gnatopodo posteriore (di una ♀. — La mascella ingr. <sup>150</sup> / <sub>1</sub> ; le altre appendici <sup>20</sup> / <sub>1</sub> . Tutte le figure derivanti da individui del Golfo di Napoli.)	566
Fig. 79. <i>Stenothoe monoculoides</i> . Gnatopodo posteriore di un ♂. — (Copia da G. O. SARS, Crust. Norway, t. 80).	568
» 80. <i>Guernea coalita</i> . Animale intero ingr. <sup>75</sup> / <sub>1</sub> . — (Disegno preso da un individuo del Golfo di Napoli.)	570
Figg. 81, 82. <i>Dexamine dolichonyx</i> .	
Fig. 81. Gnatopodo posteriore di un ♂. — Fig. 82. Piede toracico del 3. <sup>o</sup> paio. — (Copia da NEBESKI, Amphip. Adria, t. 13, f. 4.) . . . . .	576
» 83, 84. <i>Polycheria antarctica</i> .	
Fig. 83. Parte distale del palpo dei piedi mascellari. — Fig. 84. Parte d'uno dei piedi toracici del 7. <sup>o</sup> paio. — (Copia da STEBBING, Rep. Challenger, t. 83) . . . . .	580
Fig. 85. <i>Cressa dubia</i> . Parte di uno dei gnatopodi posteriori. — (Copia da BONNIER, Bull. scient. de la France et de la Belgique, vol. 20, t. 10, f. 8.) . . . . .	581
Figg. 86, 87. <i>Odius carinatus</i> .	
Fig. 86. Animale intero. — Fig. 87. Mascella anteriore. — (Copia da BOECK, Skandin. arkt. Amphip., t. 19, f. 5.) . . . . .	582
Fig. 88. <i>Iphimedia pulchridentata</i> . I primi quattro segmenti del torace, per mostrare l'estremità inferiore biforcata dei tre primi epimeri. — (Copia da STEBBING, Rep. Challenger, t. 72.) . . . . .	583
Figg. 89, 90. <i>Iphimedia nodosa</i> .	
Fig. 89. Mandibola. — Fig. 90. Mascella anteriore. — Ambedue le figure ingr. <sup>52</sup> / <sub>1</sub> . — (Da un individuo di Capo delle Vergini, della collezione CHERCHIA.) . . . . .	583
Fig. 91. <i>Iphimedia pacifica</i> . Uno degli epimeri del gruppo medio. — (Copia da STEBBING, Rep. Challenger, t. 71.)	583
» 92. <i>Iphimedia obesa</i> . Parte dei piedi toracici del 6. <sup>o</sup> e 7. <sup>o</sup> paio. — (Copia da BATE and WESTWOOD, Brit. sess. ey. Crust., vol. 1, p. 219.) . . . . .	584
» 93. <i>Iphimediopsis Eblunae</i> . Palpo della mandibola; accanto il 3. <sup>o</sup> articolo veduto dalla superficie interna. Ingr. <sup>70</sup> / <sub>1</sub> . — (Da un individuo del Golfo di Napoli.) . . . . .	586

## Tavola 59.

### Sistematica. — Dexaminidi. Gammaridi.

Fig. 1. <i>Gitana rostrata</i> . Uno dei gnatopodi posteriori. — (Copia da G. O. SARS, Crust. Norway, t. 79, f. 1.)	592
Figg. 2, 3. <i>Amphilochoides odontonyx</i> .	
Fig. 2. Una delle mascelle posteriori. — Fig. 3. Uno dei gnatopodi posteriori. — (Copia da G. O. SARS, Crust. Norway, t. 75, f. 2.) . . . . .	593
Fig. 4. <i>Amphilocheus manudens</i> . Uno dei gnatopodi posteriori del ♂. — (Copia da G. O. SARS, Crust. Norway, t. 74, f. 2.) . . . . .	594
» 5. <i>Amphilocheus tenuimanus</i> . Uno dei gnatopodi posteriori della ♀. — (Copia da G. O. SARS, Crust. Norway, t. 75, f. 1.) . . . . .	595
Figg. 6, 7. <i>Gitanopsis bispinosa</i> .	
Fig. 6. Una delle mandibole. — Fig. 7. Uno dei gnatopodi posteriori della femmina. — (Copia da G. O. SARS, Crust. Norway, t. 76, f. 2.) . . . . .	598

	Pag.
Fig. 8. <i>Gitanopsis inermis</i> . Capo e antenne. — (Copia da G. O. Sars, Crust. Norway, t. 77, f. 1.) . . . . .	598
» 9. <i>Gitanopsis arctica</i> . Capo e antenne. — (Copia da G. O. Sars, Crust. Norway, t. 77, f. 2.) . . . . .	599
10. <i>Acanthozone atlantica</i> . Telson. — (Copia da STEBBING, Rep. Challenger, t. 84.) . . . . .	601
11. <i>Acanthozone tricarinata</i> . Uno degli anelli toracici. — (Copia da STEBBING, Rep. Challenger, t. 70.) . . . . .	601
12. <i>Acanthozone laeviuscula</i> . Telson. — (Copia da HOEK, Carcinol., t. 10, f. 7.) . . . . .	602
Figg. 13, 14. <i>Acanthozone tricuspis</i> .	
Fig. 13. Terzo segmento addominale. — Fig. 14. Gnatopodi. — La Fig. 13 è copia da KRÖYER, Voy. Scandin., t. 18, f. 1; la Fig. 14 è presa da G. O. Sars, Norske Nordhavs-Exped., t. 14, f. 5. . . . .	603
Fig. 15. <i>Acanthozone nodifera</i> . Gli ultimi due segmenti dell'addome veduti dal dorso. — (Copia da G. O. Sars, Norges Crust., t. 5, f. 6.) . . . . .	604
» 16. <i>Acanthozone longimana</i> . Uno dei gnatopodi posteriori. — (Copia da BOECK, Skandin. arkt. Amphip., t. 22, f. 2.) . . . . .	604
» 17. <i>Acanthozone longicaulata</i> . Estremità posteriore del corpo e relative appendici. — (Copia da BOECK, Skandin. arkt. Amphip., t. 22, f. 3.) . . . . .	605
18. <i>Acanthozone pulchella</i> . Uno dei gnatopodi anteriori. — (Copia da KRÖYER, Voy. Scandin., t. 10.) . . . . .	605
19. <i>Acanthozone panopla</i> . Uno dei gnatopodi posteriori. — (Copia da BOECK, Skandin. arkt. Amphip., t. 21, f. 2.) . . . . .	607
» 20. <i>Acanthozone pulchella</i> . Uno dei gnatopodi posteriori. — (Copia da G. O. Sars, Norske Nordhavs-Exped., t. 14, f. 6.) . . . . .	608
21. <i>Acanthozone abyssorum</i> . Uno dei gnatopodi posteriori. — (Copia da STEBBING, Rep. Challenger, t. 67.) . . . . .	609
» 22. <i>Acanthozone quadridentata</i> . Uno dei gnatopodi anteriori. — (Copia da G. O. Sars, Norske Nordhavs-Exped., t. 14, f. 4.) . . . . .	611
23. <i>Acanthozone Huxleyana</i> . Telson. — (Copia da STEBBING, Rep. Challenger, t. 73.) . . . . .	612
» 24. <i>Acanthozone Kergueleni</i> . Telson. — (Copia da STEBBING, Rep. Challenger, t. 85.) . . . . .	612
» 25. <i>Acanthozone cuspidata</i> . Piedi toracici delle ultime due paia. — (Copia da BUCHHOLZ, Nordpolarf., t. 11, f. 1.) . . . . .	613
» 26. <i>Acanthozone incisa</i> . Telson. — (Copia da STEBBING, Rep. Challenger, t. 31.) . . . . .	614
» 27. <i>Acanthozone fulvocincta</i> . Telson. — (Copia da BRUZELIUS, Skandin. Gammar., t. 3, f. 13.) . . . . .	614
» 28. <i>Pontogenia aculeata</i> . Telson. — (Copia da KRÖYER, Voy. Scandin., t. 10, f. 1.) . . . . .	616
» 29. <i>Pontogenia inermis</i> . Parte posteriore del corpo e relative appendici. — (Copia da BOECK, Skandin. arkt. Amphip., t. 21, f. 4.) . . . . .	617
30. <i>Pontogenia Kergueleni</i> . Parte di uno dei piedi toracici del 6. <sup>o</sup> paio. — (Copia da STEBBING, Rep. Challenger, t. 66.) . . . . .	618
» 31. <i>Pontogenia longipes</i> . Uno dei gnatopodi posteriori. — (Copia da STEBBING, Rep. Challenger, t. 86.) . . . . .	618
Figg. 32-34. <i>Stegocephalus inflatus</i> .	
Fig. 32. Una ♀ veduta di lato. — Fig. 33. Mandibola. — Fig. 34. Mascella anteriore. — (Copia da G. O. Sars, Crust. Norway, t. 69.) . . . . .	627
Fig. 35. <i>Stegocephalus similis</i> . Parte d'uno dei piedi toracici del 7. <sup>o</sup> paio. — (Copia da G. O. Sars, Crust. Norway, t. 70, f. 1.) . . . . .	627
» 36. <i>Stegocephalus Bocckii</i> . Antenna anteriore. — (Copia da STEBBING, Rep. Challenger, t. 36.) . . . . .	628
» 37. <i>Stegocephalus giganteus</i> . Parte d'uno dei piedi toracici del 7. <sup>o</sup> paio. — (Copia da STEBBING, Rep. Challenger, t. 35.) . . . . .	629
38. <i>Stegocephalus abyssorum</i> . Parte d'uno dei piedi toracici del 7. <sup>o</sup> paio. — (Copia da STEBBING, Rep. Challenger, t. 37.) . . . . .	629
» 39. <i>Stegocephaloides pectinatus</i> . Piede toracico del 7. <sup>o</sup> paio. — (Copia da G. O. Sars, Crust. Norway, t. 72, f. 3.) . . . . .	630
» 40. <i>Stegocephaloides nordlandicus</i> . Piede toracico del 7. <sup>o</sup> paio. — (Copia da G. O. Sars, Crust. Norway, t. 72, f. 2.) . . . . .	630
» 41. <i>Stegocephaloides christiansensis</i> . Piede toracico del 7. <sup>o</sup> paio. — (Copia da G. O. Sars, Crust. Norway, t. 70, f. 2.) . . . . .	631

	Pag.
Fig. 42. <i>Stegocephaloides auratus</i> . Piede toracico del 7. <sup>o</sup> paio. — (Copia da G. O. SARS, Crust. Norway, t. 70, f. 3.)	631
Figg. 43, 44. <i>Andania abyssi</i> .	
Fig. 43. Mandibola. — Fig. 44. Mascella anteriore. — (Copia da G. O. SARS, Crust. Norway, t. 71, f. 2.)	632
Fig. 45. <i>Aspidopleurus ampulla</i> . — (Copia da STUXBERG, Vega Exped., p. 713.)	633
Figg. 46, 47. <i>Aspidopleurus gibbosus</i> .	
Fig. 46. Parte del tronco e coda. — Fig. 47. Mascella anteriore. — La Fig. 46 è copia da G. O. SARS, Norges Crust., t. 3, f. 7; la Fig. 47 da G. O. SARS, Crust. Norway, t. 71, f. 1.)	634
Fig. 48. <i>Metopa nasuta</i> . Antenna anteriore. — (Copia da STEBBING, Rep. Challenger, t. 40.)	637
» 49. <i>Metopa carinata</i> . Parte d' un individuo veduto di lato. — (Copia da HANSEN, Malacostr. Groenland. occid., t. 4, f. 3.)	637
Figg. 50, 51. <i>Metopa clypeata</i> .	
Fig. 50. Gnatopodo anteriore. — Fig. 51. Gnatopodo posteriore. — (Copie da KRÖYER, Voy. Scandin., t. 22, f. 2.)	638
Fig. 52. <i>Metopa Alderii</i> . Gnatopodo posteriore. — (Copia da BATE and WESTWOOD, Brit. sess. ey. Crust., vol. 1, p. 61.)	638
» 53. <i>Metopa leptocarpa</i> . Gnatopodo posteriore. — (Copia da G. O. SARS, Norges Crust., t. 4, f. 3.)	639
» 54. <i>Metopa glacialis</i> . Gnatopodo posteriore. — (Copia da KRÖYER, Voy. Scandin., t. 22, f. 3.)	639
» 55. <i>Metopa groenlandica</i> . Gnatopodo posteriore. — (Copia da HANSEN, Malacostr. Groenland. occid., t. 3, f. 7.)	640
56. <i>Metopa neglecta</i> . Piede toracico del 7. <sup>o</sup> paio. — (Copia da HANSEN, Malacostr. Groenland. occid., t. 3, f. 9.)	640
» 57. <i>Metopa Bruzelii</i> . Gnatopodo posteriore del ♂. — (Copia da G. O. SARS, Norges Crust., t. 4, f. 5.)	641
» 58. <i>Metopa spectabilis</i> . Gnatopodo posteriore. — (Copia da G. O. SARS, Norske Nordhavs-Exped., t. 15, f. 4.)	641
» 59. <i>Metopa parallelolcheir</i> . Gnatopodo posteriore. — (Copia da STEBBING, Rep. Challenger, t. 43.)	642
» 60. <i>Metopa megacheir</i> . Gnatopodo posteriore. — (Copia da BOECK, Skandin. arkt. Amphip., t. 18, f. 1.)	642
» 61. <i>Metopa longimana</i> . Gnatopodo posteriore. — (Copia da HANSEN, Malacostr. Groenland. occid., t. 3, f. 8.)	643
Figg. 62, 63. <i>Metopa gregaria</i> .	
Fig. 62. Gnatopodo posteriore della ♀. — Fig. 63. Gnatopodo posteriore del ♂. — (Copie da G. O. SARS, Norges Crust., t. 4, f. 6.)	643
64, 65. <i>Peltocoxa longirostris</i> .	
Fig. 64. Una ♀ veduta di lato. — Fig. 65. Mandibola. — (Copia da G. O. SARS, Crust. Norway, t. 79, f. 2.)	659
» 66, 67. <i>Nicippe tumida</i> .	
Fig. 66. Animale intero. — Fig. 67. Piedi mascellari. — (Copia da BRUZELIUS, Skandin. Gammar., t. 4, f. 19.)	658
Fig. 68. <i>Nicippe Haswelli</i> . Telson. — (Copia da STEBBING, Rep. Challenger, t. 92.)	661
Figg. 69-71. <i>Halice abyssi</i> .	
Fig. 69. Animale intero. — Fig. 70. Mandibola. — Fig. 71. Mascella posteriore. — (Copia da BOECK, Skandin. Gammar., t. 10, f. 2.)	661
» 72, 73. <i>Syrrhoë semiserrata</i> .	
Fig. 72. Mandibola. — Fig. 73. Gnatopodo posteriore. — (Copia da STEBBING, Rep. Challenger, t. 50.)	663
Fig. 74. <i>Syrrhoë crenulata</i> . Individuo intero veduto di lato. — (Copia da BOECK, Skandin. arkt. Amphip., t. 12, f. 4.)	663
75. <i>Bruzelia tuberculata</i> . Parte posteriore del corpo. — (Copia da G. O. SARS, Norges Crust., t. 4, f. 7.)	668
76. <i>Bruzelia typica</i> . Individuo intero veduto di lato. — (Copia da BOECK, Skandin. arkt. Amphip., t. 10, f. 3.)	668
Figg. 77, 78. <i>Bruzelia serrata</i> .	
Fig. 77. Margine postero-laterale del 3. <sup>o</sup> segmento addominale. — Fig. 78. Mandibola. — (Copie da G. O. SARS, Norske Nordhavs-Exped., t. 15, f. 3.)	668
» 79-82. <i>Eusirus cuspidatus</i> .	
Fig. 79. Epimero del 3. <sup>o</sup> paio. — Fig. 80. Piede toracico del 4. <sup>o</sup> paio. — Fig. 81. Piede toracico del 5. <sup>o</sup> paio. — Fig. 82. Margine postero-laterale del 3. <sup>o</sup> segmento addominale. — (Tutte le figure, ingr. <sup>20</sup> / <sub>11</sub> , sono prese da un individuo del Golfo di Napoli.)	669

Figg. 83, 84. *Acanthonotosoma serratum*.

Fig. 83. Parte d'una delle antenne anteriori, per mostrare il flagello accessorio. — Fig. 84. Unghia dei gnatopodi anteriori. — (Entrambe le figure, ingr.  $\frac{270}{1}$ , sono prese da un individuo della Fimmarchia, speditomi in cortesia dal Rev. A. M. NORMAN, sotto il nome di *Vertumnus serratus*.) . . . . . 675

Fig. 85. *Acanthonotosoma cornigerum*. Individuo intero veduto di lato. — (Copia da G. O. SARS, Norske Nordhavs-Exped., t. 14, f. 2.) . . . . . 676

» 86. *Acanthonotosoma emarginatum*. Telson. — (Copia da STEBBING, Rep. Challenger, t. 81.) . . . . . 678

» 87. *Acanthonotosoma drepanocheir*. Gnatopodo posteriore. — (Copia da STEBBING, Rep. Challenger, t. 82.) . . . . . 677

» 88. *Amathilla spinigera*. Individuo intero veduto di lato. — (Copia da HELLER, Nordpol-Exped., t. 3, f. 17.) . . . . . 684

» 89. *Amathilla pinguis*. Terzo segmento addominale. — (Copia da KRÖYER, Grönlands Amphip., t. 1, f. 5.) . . . . . 684

» 90. *Amathilla Homari*. Uno dei gnatopodi posteriori. — (Copia da BUCHHOLZ, Nordpolarf., t. 8, f. 1.) . . . . . 685

» 91. *Argissa typica*. Un individuo intero veduto di lato. — (Copia da BOECK, Skandin. arkt. Amphip., t. 7, f. 2.) . . . . . 687

» 92. *Pardaliscia cuspidata*. Gnatopodo posteriore. — (Copia da BOECK, Skandin. arkt. Amphip., t. 12, f. 5.) . . . . . 692

» 93. *Pardaliscia abyssii*. Individuo intero veduto di lato. — (Copia da STEBBING, Rep. Challenger, t. 93.) . . . . . 692

## Tavola 60.

### Sistematica. — Gammaridi. Lisianassidi.

Fig. 1. *Tiron acanthurus*. Individuo intero veduto di lato. — (Copia da GOËS, Amphip. Spetsberg., t. 40, f. 26.) . . . . . 693

» 2. *Astyra abyssii*. Individuo intero veduto di lato. — (Copia da BOECK, Skandin. arkt. Amphip., t. 9, f. 4.) . . . . . 694

3. *Atylus carinatus*. Sezione trasversa del torace. — (Copia da KRÖYER, Voy. Scand., t. 11, f. 1.) . . . . . 701

» 4. *Atylus serraticaula*. Telson. — (Copia da STEBBING, Rep. Challenger, t. 78.) . . . . . 702

» 5. *Eriopisa elongata*. Animale intero ingr.  $\frac{6}{1}$ . — (Disegno da un individuo del Golfo di Napoli.) . . . . . 706

» 6. *Melita Fresnelii*. Uno dei gnatopodi posteriori. — (Copia da KRÖYER, Naturhist. Tidsskr., [2] vol. 1, t. 2, f. 1, h.) . . . . . 708

» 7. *Pontoporeia femorata*. Un individuo intero veduto di lato. — (Copia da BRUZELIUS, Skandin. Gammar., t. 2, f. 8.) . . . . . 717

» 8. *Muera Othonis*. Uno dei gnatopodi posteriori ingr.  $\frac{15}{1}$ . — (Da un individuo delle isole Shetland inviatomi dal NORMAN.) . . . . . 729

Figg. 9, 10. *Peltocora dunnoniensis*.

Fig. 9. Profilo del torace, ingr.  $\frac{7}{1}$ , veduto dall'alto per mostrare la larghezza trasversale relativa dei diversi segmenti. — Fig. 10. Parte dell'antenna anteriore che fa vedere il flagello accessorio rudimentale ingr.  $\frac{310}{1}$ . Cf. anche Tav. 30, Figg. 19-32, G. — (Da un individuo del Golfo di Napoli.) Per errore, a p. 618 sono segnate queste due figure con i numeri 11 e 12. . . . . 648

» 11, 12. *Urothoeirrostrata*.

Fig. 11. Unghia d'uno dei piedi toracici che fa vedere i noduletti del margine, ingr.  $\frac{70}{1}$ . — Fig. 12. Ramo esterno dei piedi codali posteriori coll'articolo rudimentale ingr.  $\frac{100}{1}$ . — (Da un individuo del Golfo di Napoli.) . . . . . 661

Fig. 13. *Urothoe lachnessa*. Parte dei piedi toracici del 7.<sup>o</sup> paio. — (Copia da STEBBING, Rep. Challenger, t. 57.) . . . . . 667

» 14. *Crangonyx compactus*. Uno dei piedi codali posteriori per mostrare il ramo interno rudimentale. Ingr.  $\frac{40}{1}$ . — (Da un individuo di Eyretou, speditomi gentilmente dal CHILTON.) . . . . . 682

Figg. 15, 16. *Phorocephalus falcatus*.

Fig. 15. Corpo della mandibola sinistra. — Fig. 16. Estremità del palpo dei piedi mascellari. — (Copie da G. O. SARS, Crust. Norway, t. 50.) . . . . . 739

	Pag.
Fig. 17. <i>Harpinia mucronata</i> . Uno dei piedi toracici del 7. <sup>o</sup> paio. — (Copia da G. O. Sars, Crust. Norway, t. 54, f. 3.) . . . . .	746
» 18. <i>Harpinia serrata</i> . Uno dei piedi toracici del 7. <sup>o</sup> paio. — (Copia da G. O. Sars, Crust. Norway, t. 51, f. 1.) . . . . .	747
19. <i>Harpinia neglecta</i> . Profilo del capo, veduto di lato, di un individuo di Napoli, per mostrare l'uncino dell'angolo infero-posteriore del capo. Ingr. $\frac{30}{1}$ . . . . .	747
Figg. 20, 21. <i>Cardenio paurodactylus</i> .	
Fig. 20. Individuo intero veduto di lato. — Fig. 21. Uno dei gnatopodi posteriori. — (Copia da STEBBING, Rep. Challenger, t. 53.) . . . . .	750
22, 23. <i>Haustorius arenarius</i> .	
Fig. 22. Individuo veduto di lato. — Fig. 23. Estremità del palpo dei piedi mascellari. — (Copia da G. O. Sars, Crust. Norway, t. 46.) . . . . .	750
24, 25. <i>Priscillina armata</i> .	
Fig. 24. Individuo veduto di lato. — Fig. 25. Telson. — (Copia da G. O. Sars, Crust. Norway, t. 42.) . . . . .	754
26, 27. <i>Pallasea cancellus</i> .	
Fig. 26. Individuo veduto di lato. — Fig. 27. Parte della coda. — (Copia da G. O. Sars, Crust. d'eau douce de Norvège, t. 6, f. 21 e 33.) . . . . .	755
Fig. 28. <i>Gammarus marinus</i> . Uno dei piedi codali posteriori, e telson, ingr. $\frac{30}{1}$ . — (Da un individuo del Golfo di Napoli.) . . . . .	762
Figg. 29-31. <i>Valletia coheres</i> .	
Fig. 29. Individuo intero. — Fig. 30. Mandibola. — Fig. 31. Piedi mascellari. — (Copia da STEBBING, Rep. Challenger, t. 34.) . . . . .	773
32-34. <i>Seba Saundersi</i> .	
Fig. 32. Individuo intero veduto di lato. — Fig. 33. Uno dei gnatopodi anteriori. — Fig. 34. Uno dei gnatopodi posteriori. — (Copia da STEBBING, Rep. Challenger, t. 49.) . . . . .	774
Fig. 35. <i>Amaryllis Haswelli</i> . Individuo intero veduto di lato. — (Copia da STEBBING, Rep. Challenger, t. 28.) . . . . .	781
36. <i>Platyschnopus mirabilis</i> . Capo e parte anteriore del torace. — (Copia da STEBBING, Rep. Challenger, t. 58.) . . . . .	785
37. <i>Kerguelenia borealis</i> . Una delle mandibole. — (Copia da G. O. Sars, Crust. Norway, t. 40, f. 2.) . . . . .	787
38. <i>Sophrosyne Murrayi</i> . Parte di uno dei gnatopodi anteriori. — (Copia da STEBBING, Rep. Challenger, t. 15.) . . . . .	795
Fig. 39-41. <i>Onesimoides carinatus</i> .	
Fig. 39. Uno dei gnatopodi anteriori. — Fig. 40. Uno dei piedi codali posteriori. — Fig. 41. Telson. — (Copia da STEBBING, Rep. Challenger, t. 14.) . . . . .	796
Figg. 42-44. <i>Normania quadrimana</i> .	
Fig. 42. Piedi mascellari. — Fig. 43. Uno dei gnatopodi anteriori. — Fig. 44. Telson. — (Copia da G. O. Sars, Crust. Norway, t. 13, f. 1.) . . . . .	797
45, 46. <i>Opisa Eschrichtii</i> .	
Fig. 45. Uno dei gnatopodi anteriori. — Fig. 46. Uno dei piedi codali posteriori e telson. — (Copia da G. O. Sars, Crust. Norway, t. 14, f. 1.) . . . . .	806
47-49. <i>Anonyx longicornis</i> .	
Fig. 47. Individuo intero. — Fig. 48. Una delle antenne anteriori ingrandita. — Fig. 49. Telson. — (Copia da G. O. Sars, Crust. Norway, t. 38, f. 2.) . . . . .	814
Fig. 50. <i>Cheirimedon latimanus</i> . Uno dei gnatopodi anteriori. — (Copia da G. O. Sars, Crust. Norway, t. 13, f. 3.) . . . . .	838
Figg. 51, 52. <i>Euonyx Normani</i> .	
Fig. 51. Uno dei gnatopodi anteriori. — Fig. 52. Piedi codali posteriori e telson. — (Copia da STEBBING, Rep. Challenger, t. 19.) . . . . .	842
Fig. 53. <i>Cyclocaris tabitensis</i> . Uno dei gnatopodi anteriori. — (Copia da STEBBING, Rep. Challenger, t. 18.) . . . . .	843
54. <i>Aristias tumidus</i> . Uno dei piedi toracici del 3. <sup>o</sup> paio. — (Copia da G. O. Sars, Crust. Norway, t. 18, f. 1.) . . . . .	846



Figg. 55-57. *Cyphocaris Challengeri*.

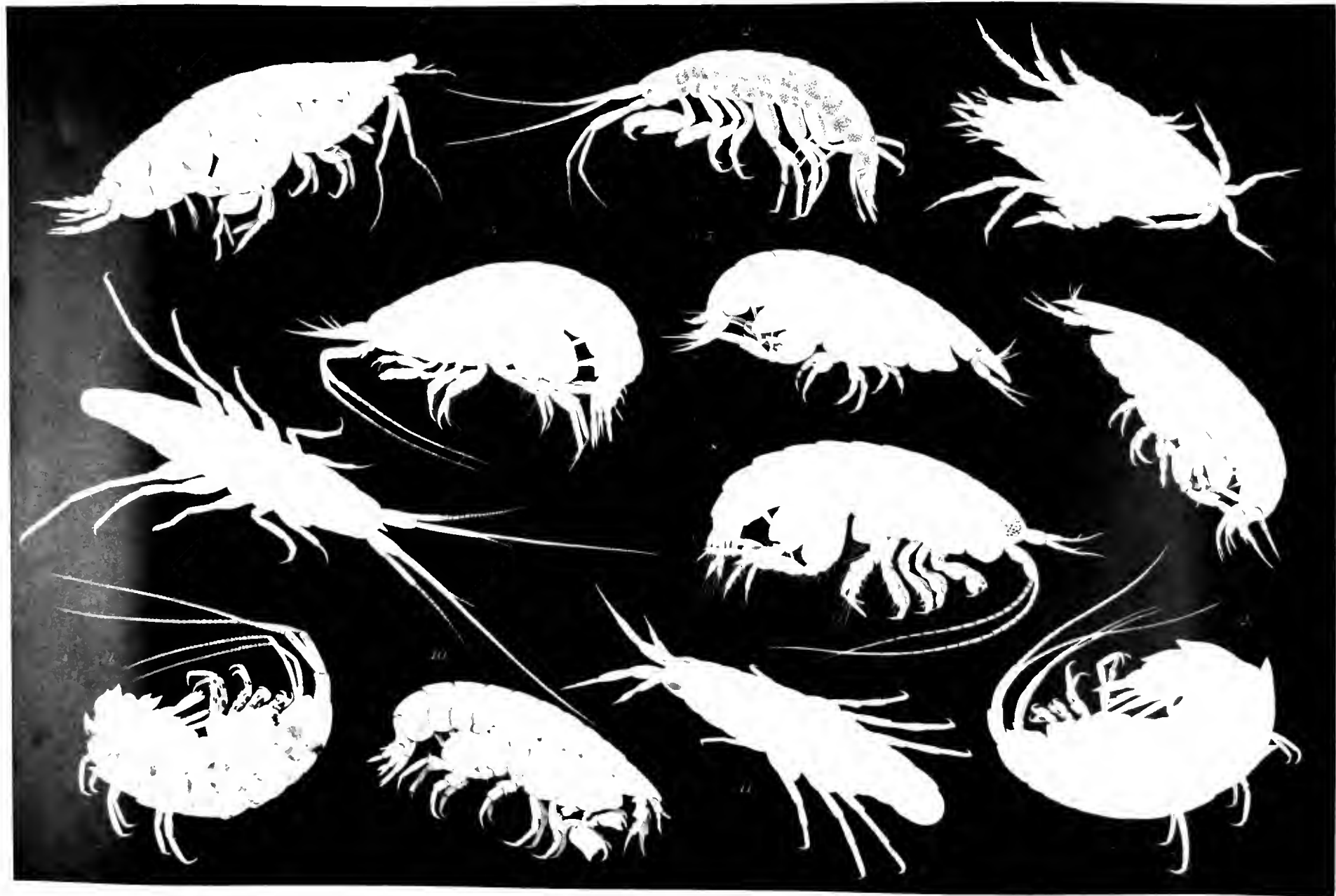
Fig. 55. Un individuo intero. Fig. 56. Uno dei gnatopodi anteriori. — Fig. 57. Uno dei gnatopodi posteriori. — (Copia da STEBBING, Rep. Challenger, t. 17.) . . . . . 847

Fig. 58. *Eurypporeia gryllus*. Un individuo intero. — (Copia da G. O. SARS, Crust. Norway, t. 30.) . . . . . 848

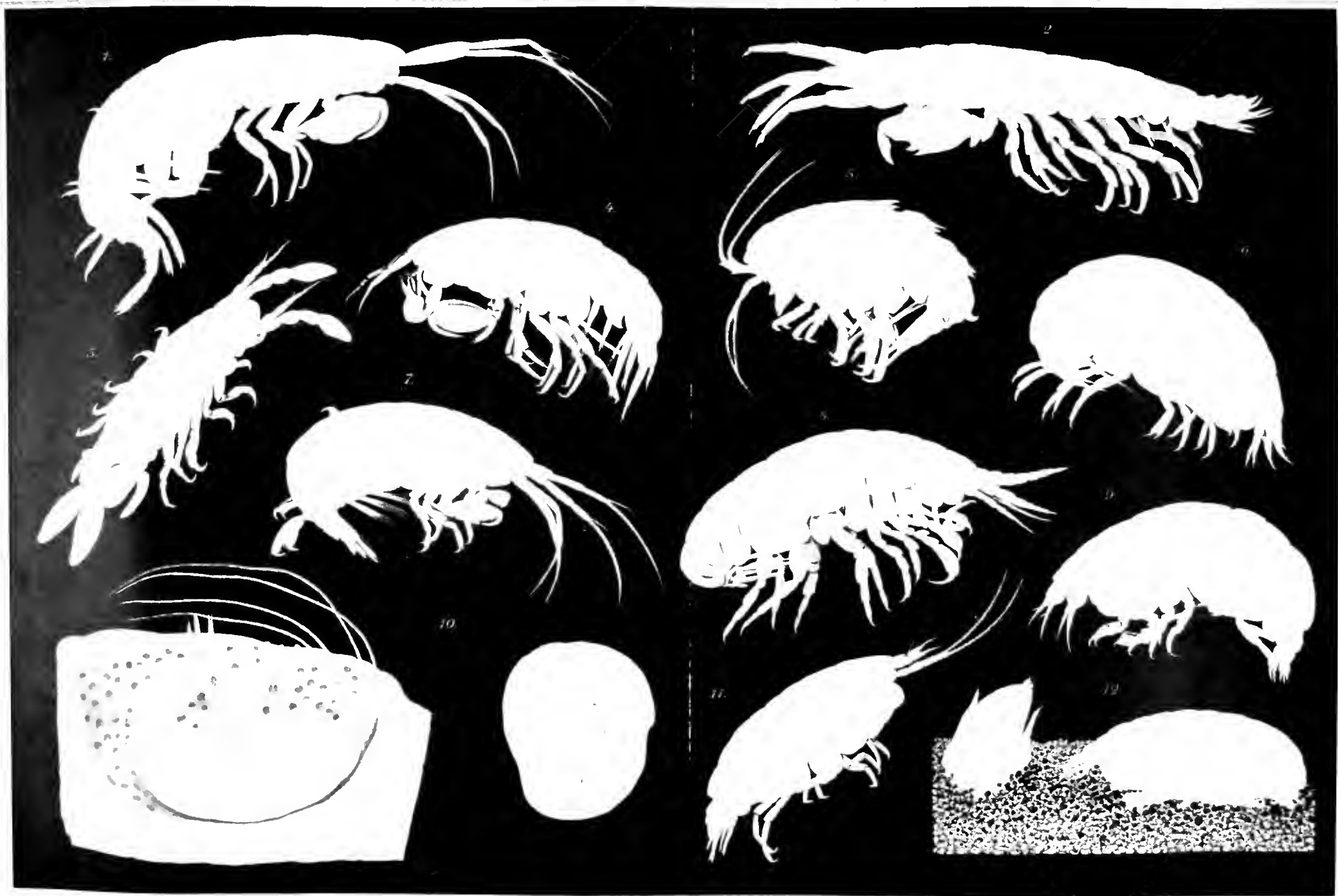
## Tavola 61.

### Sistematica. — Lisianassidi. Subiperini.

- Figg. 1-9. *Anonyx petalocerus* . . . . . 816  
 Varie appendici di un individuo del Golfo di Napoli. Le Figg. 1, 2, 7 e 8 sono ingr.  $\frac{70}{1}$ ;  
 le Figg. 3-6 e 9  $\frac{115}{1}$ .
- Fig. 9\*. *Lysianella petalocera* . . . . . 797  
 Tolson. — (Copia da G. O. SARS, Crust. Norway, t. 18, f. 2.)
- Figg. 10-22. *Guerina niceensis*. . . . . 776  
 Fig. 10\*. Capo visto dall'alto per mostrare la relazione dei due occhi nella linea mediana.  
 Fig. 11. Labbro superiore e mandibole vedute dalla superficie interna. (La mandibola sinistra è rovesciata in fuori.)  
 Fig. 13. Mandibole e mascelle anteriori del lato sinistro vedute in sito.  
 Le Figg. 10, 10\* sono ingr.  $\frac{9}{1}$ ; le antenne e i piedi toracici  $\frac{20}{1}$ ; i piedi mascellari  $\frac{35}{1}$ ;  
 le altre parti boccali  $\frac{100}{1}$ ; la coda  $\frac{25}{1}$ . — (Da un individuo preso a Cuma.)
- 23-37. *Colomastix pusilla*. . . . . 854  
 Fig. 23. Capo della ♀ visto dalla superficie inferiore.  
 Fig. 25. Epistoma, labbro superiore e mascelle veduti dalla superficie inferiore.  
 Fig. 26. Epistoma e labbro superiore veduti di lato: delle due mandibole la sinistra è veduta dalla superficie interna, la destra dall'esterna.  
 Fig. 29\*. Le due paia di mascelle disegnate con lo stesso ingrandimento dei piedi mascellari per mostrare le proporzioni relative.  
 Fig. 31\* e 31\*\*. Mani di un ♂ giovane.  
 Fig. 34\*. Retinacoli.  
 La Fig. 23 è ingr.  $\frac{35}{1}$ ; le Figg. 25 e 26  $\frac{150}{1}$ ; la Fig. 29  $\frac{90}{1}$ ; le mascelle  $\frac{200}{1}$ ; i retinacoli  $\frac{170}{1}$ ; tutte le altre appendici  $\frac{25}{1}$ . — (Da un individuo del Golfo di Napoli.)





















E

C





12

14

15

16

17

18

27

28

29

30

31

32

33

34

Ph

A

M

Scale bar: 1/2 mm





*Ala.*

*Ala.*

*Ala.*





Lp

Lg

L





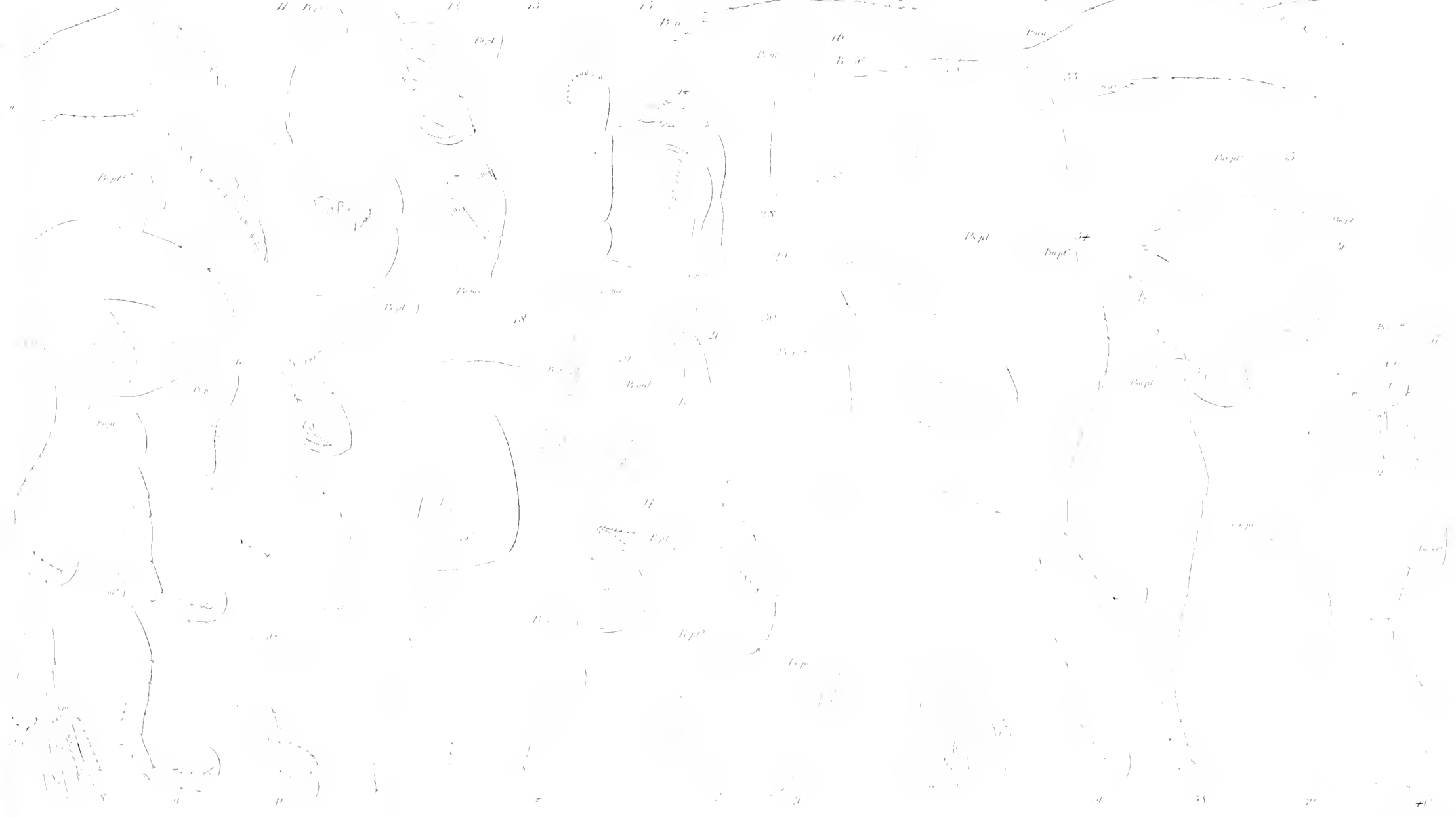




11 B. p. 12 13

14 15

16



Pe

Po

Ps

Pm





ol

oh

om

oh



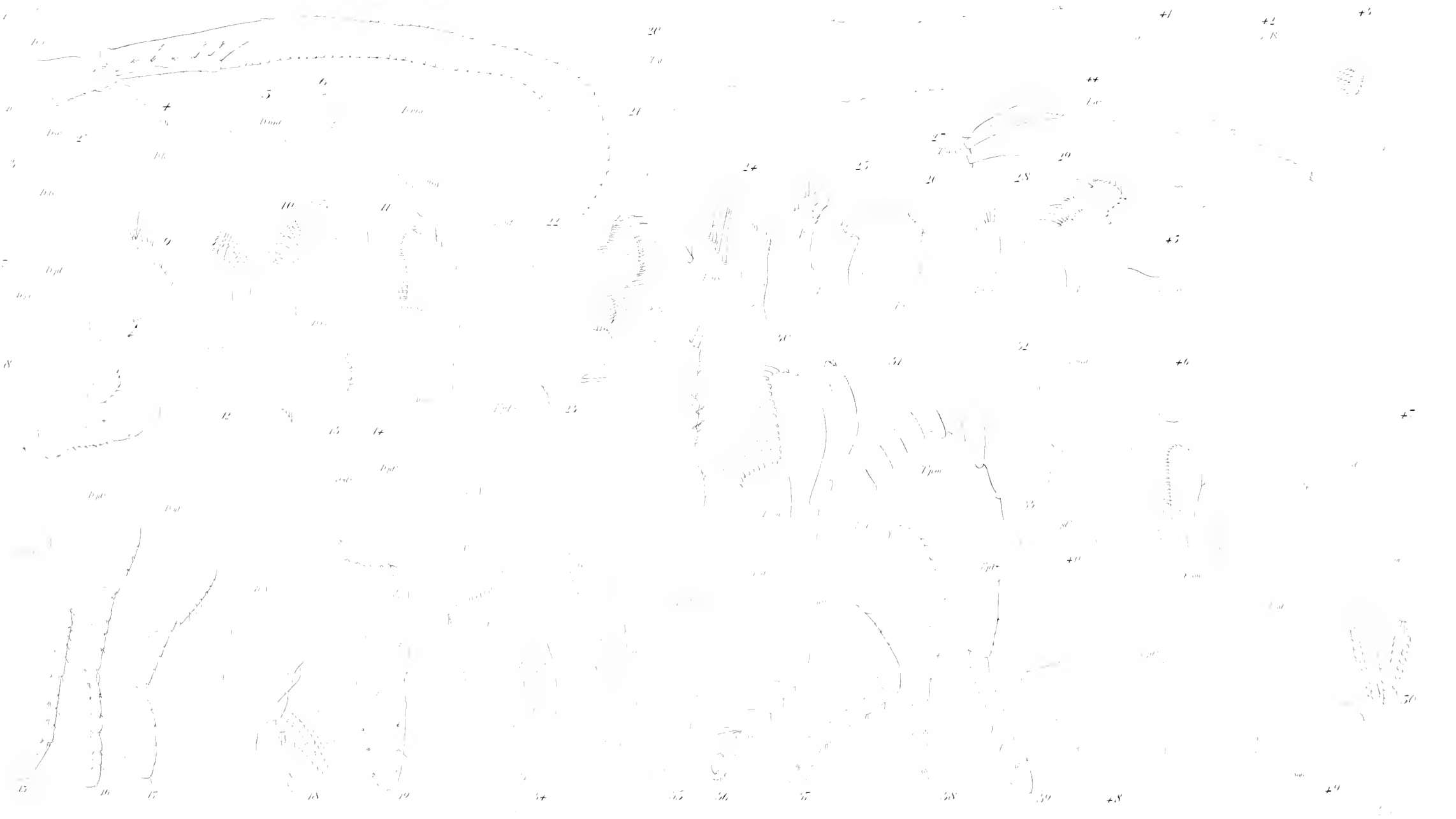




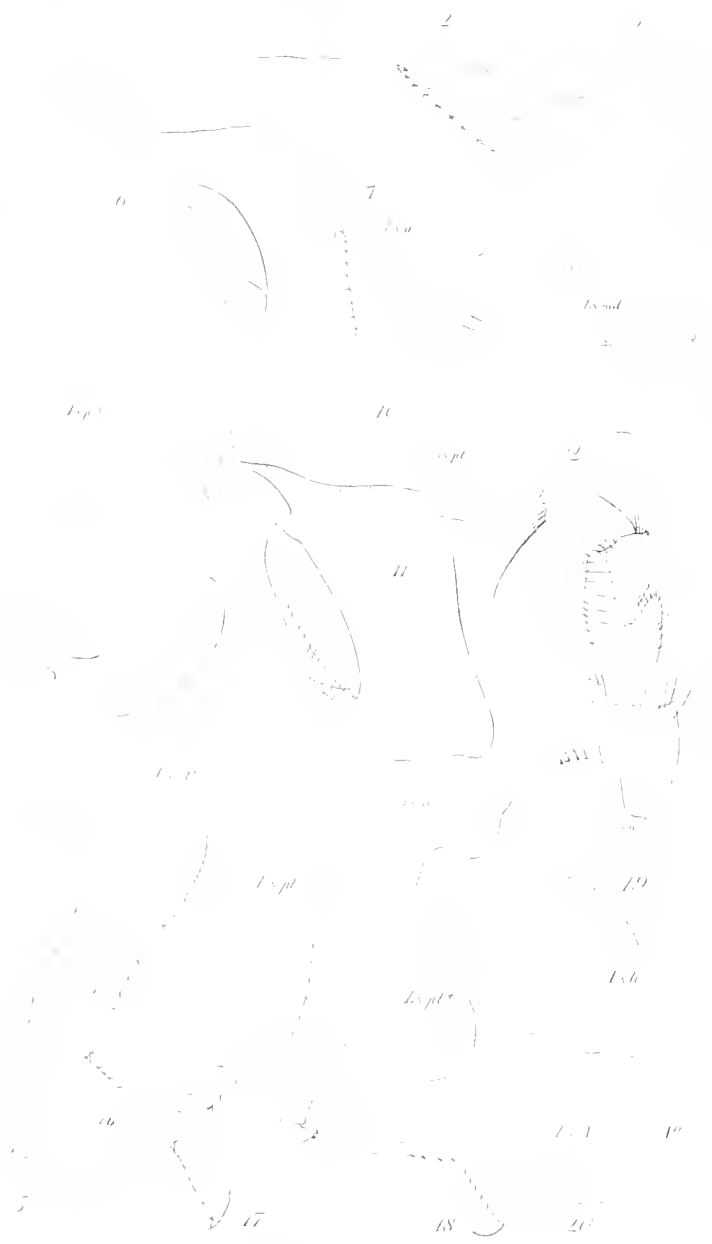










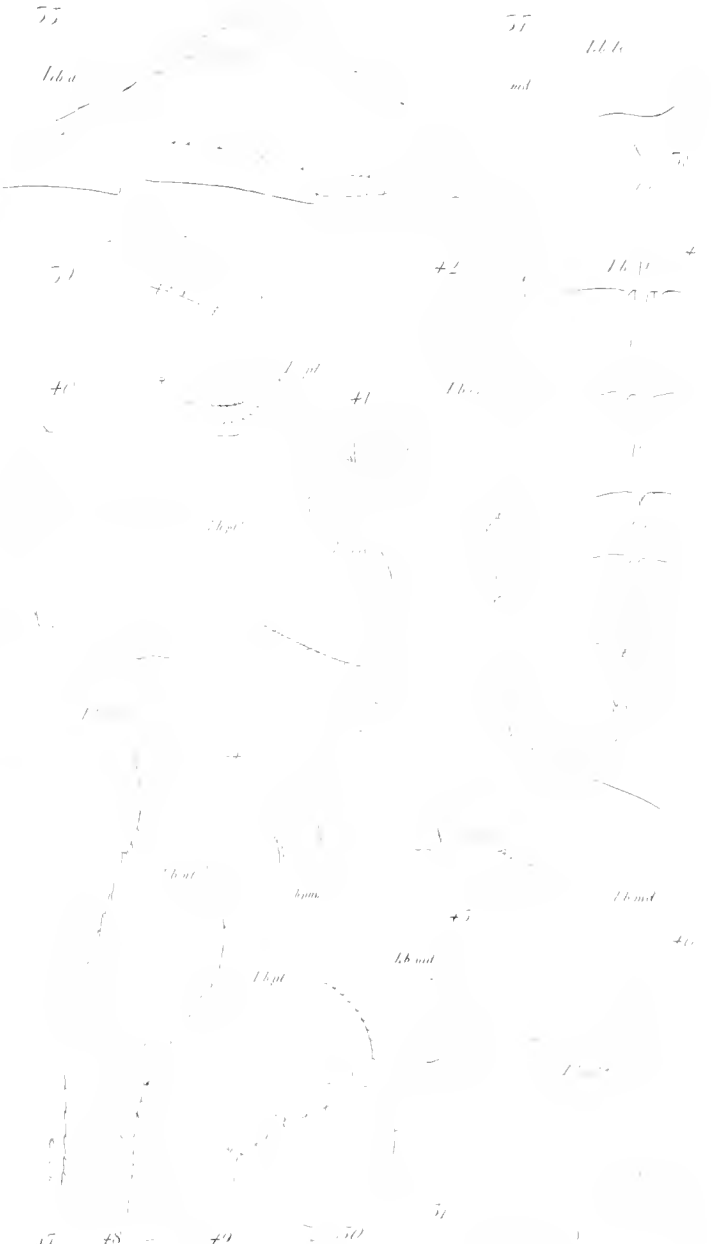


120 L



21 L

22-28 Lp



33-37 Lp

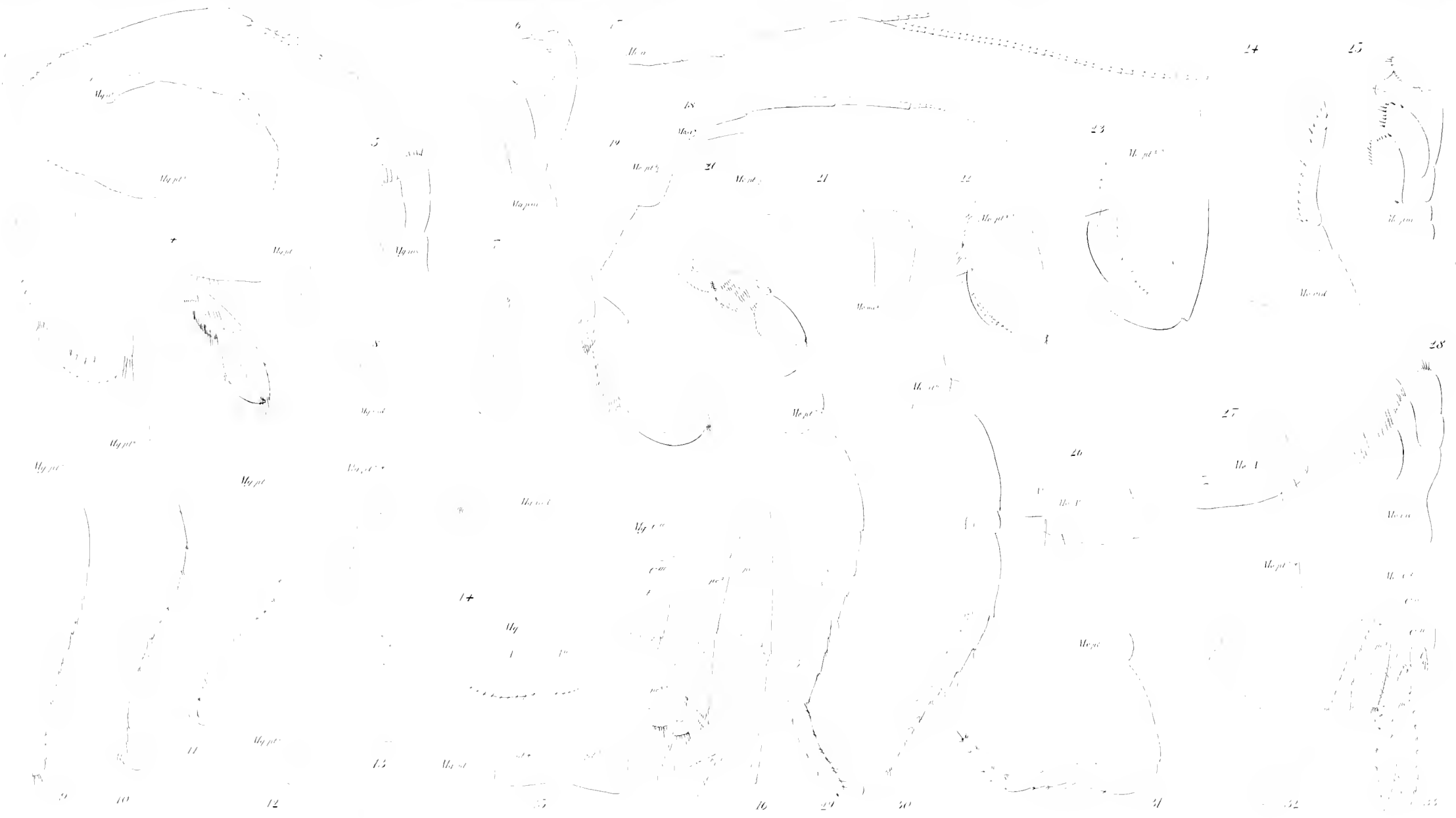
38-40 Lp















1-5 E

16-20 E

21-25 E

26-32 M





119 M.

20 25 M.

24 40 M.















1875

1875

1875







26



*Handwritten note or signature*



*Handwritten numbers or symbols*





1111

+

1

11

11

11

1

21

1111

22

11

1111

11

11

30

1111

11

11

11

11

11

11

25

30

11

11

11

1111

1111

1111

11

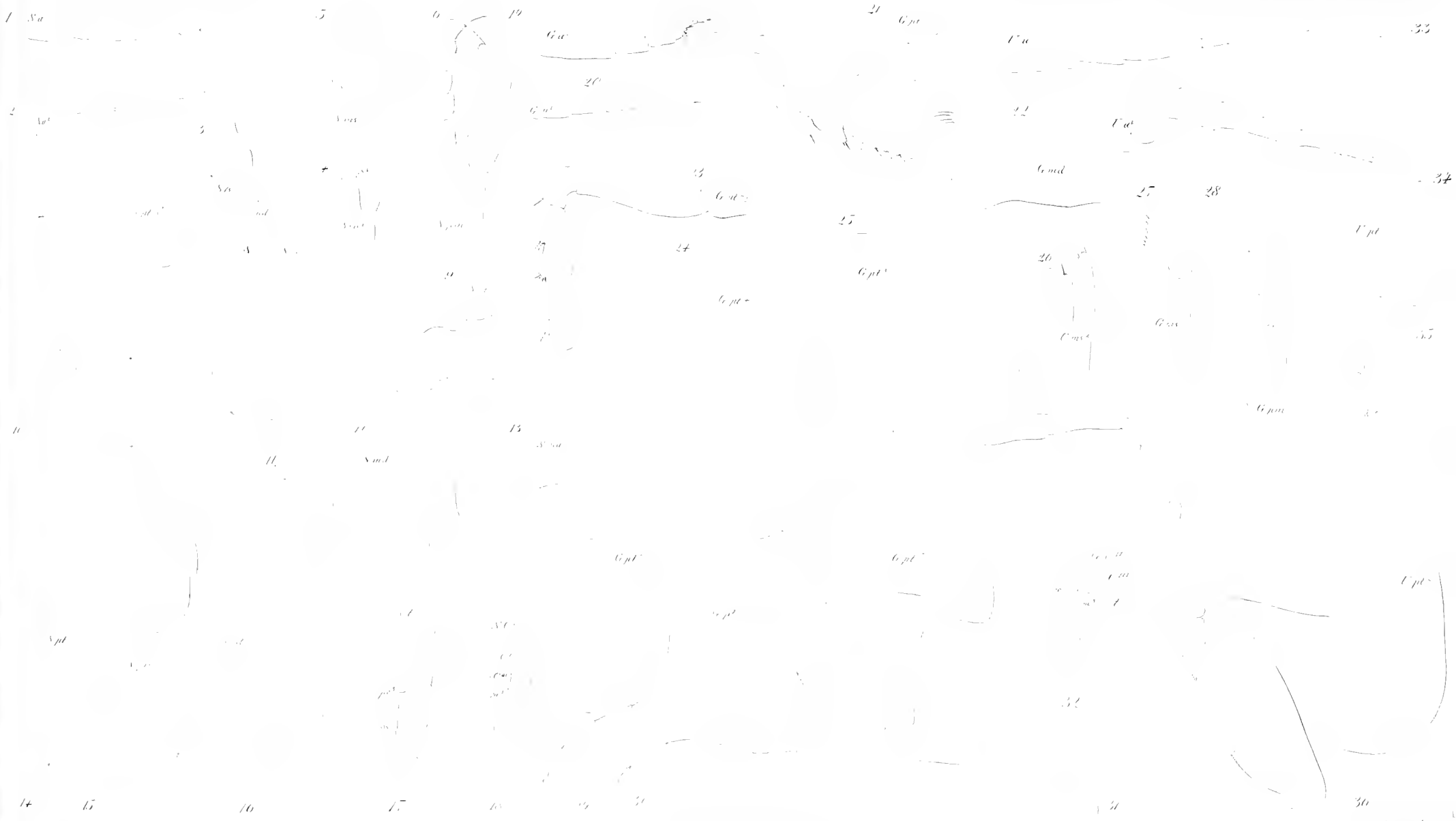
1111

1111

1111

1111







3

7

20

22

23

24

Pa

Pmd

Ma'

Mud

Muv'

Mv

Pb

6

21

Pms'

26

Mpt'

27

Mpt'

28

Mpa

29

25

Mpt''

Mpm

M'

Ppt

Pms'

11

11

14

Ppt

Pms'

Pms'

15

Ppt

15

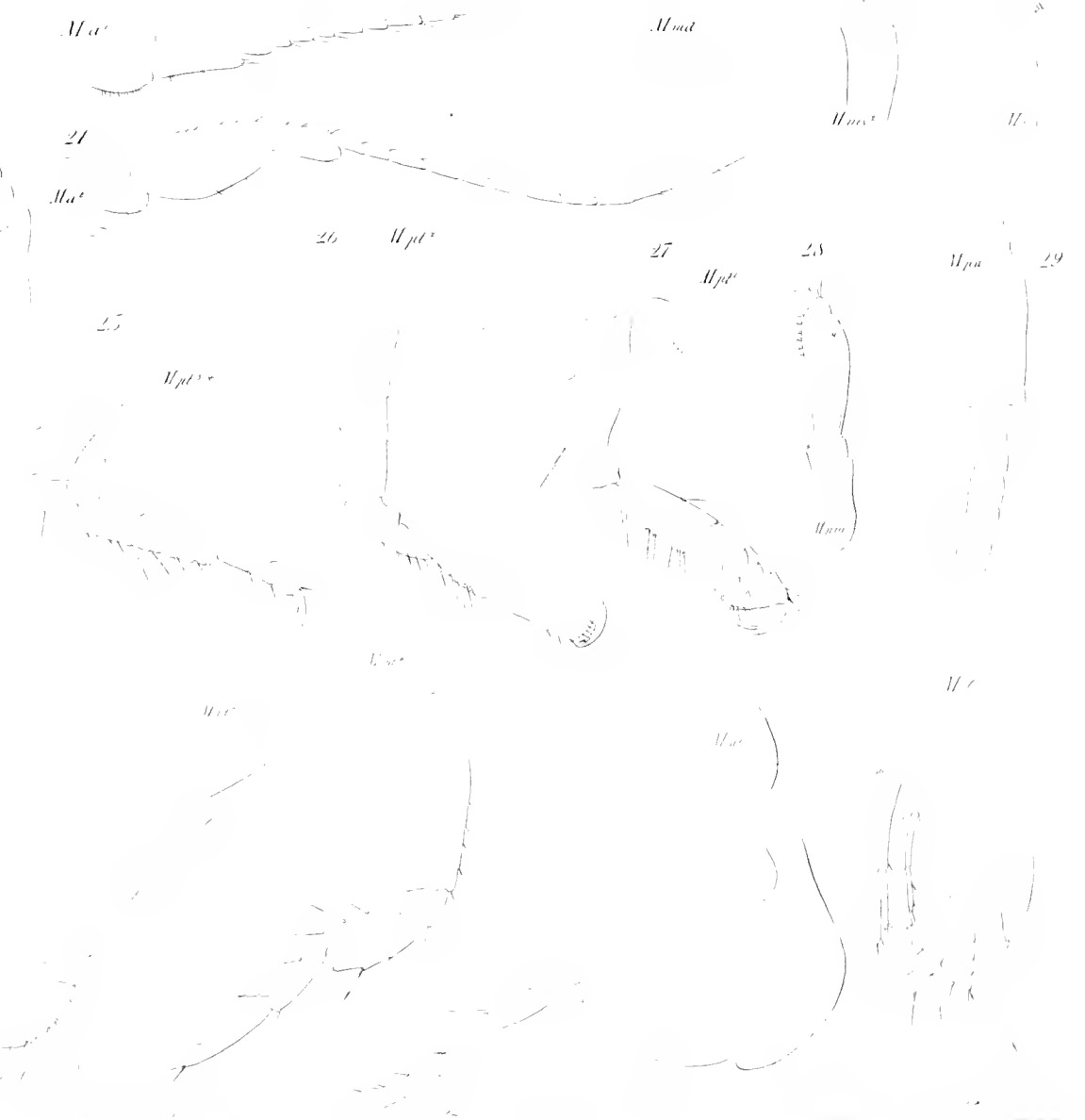
Pms'

Pms'

Mv'

Mv'

Pms'





3 + 20

100

16

1.0

21

1.0

22

0

20

21

1









1-17 Orea

18-26 Orea

27-32 Orea

33-35 Orea

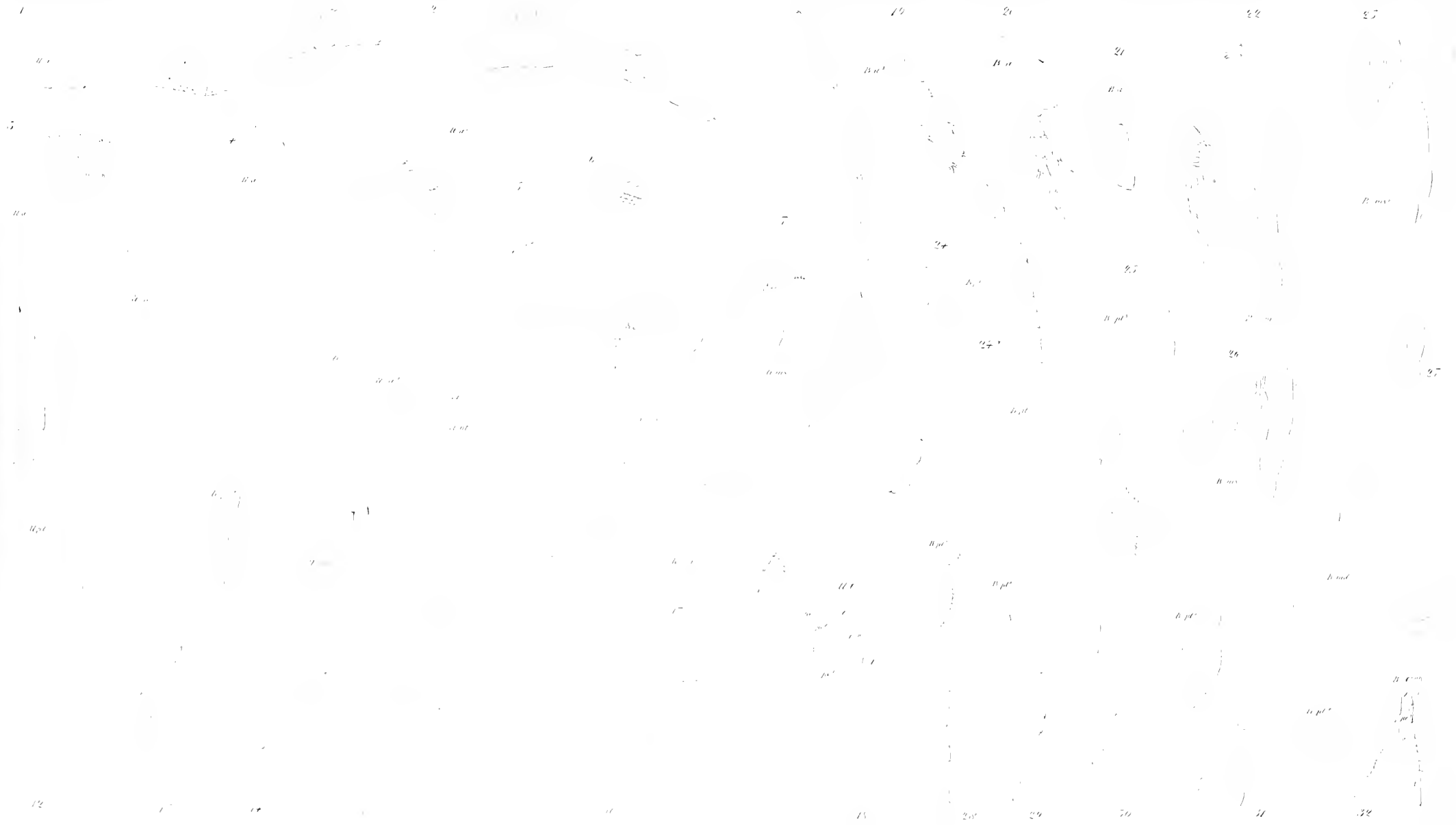




















1. 1. 1.

5

6

17

18

19



5

Wp

15

L. 1

27

32

L. 1 L. 2 L. 3 L. 4 L. 5

17

23

11

L. 1

10

9

11

12

13

14

15

16

L. 1

F

L. 1

20

25

30

31



22

27

28

29

30

33

34

11  
12

25

24

31

32

35

15

14

16

33

15

32

25

41

16

31

17

32

40

18

45

19

32

20

30

37

20

33

34

38

21

32

39

40

43

44

45

50

57

10



2 3 4 5 6 7 8 9 10 11

12 13 14 15 16 17 18 19 20 21 22

23 24 25 26 27 28 29 30 31 32 33

34 35 36 37 38 39 40 41 42 43 44

45 46 47 48 49 50 51 52 53 54 55

56 57 58 59 60 61 62 63 64 65 66







1	2	3	4	5	6	7	8	9	10	11	12	13	14	15	16	17	18	19	20	21	22	23	24	25	26	27	28	29	30	31	32	33	34	35	36	37	38	39	40	41	42	43	44	45	46	47	48	49	50	51	52	53	54	55	56	57	58	59	60	61	62	63	64	65	66	67	68	69	70	71	72	73	74	75	76	77	78	79	80	81	82	83	84	85	86	87	88	89	90	91	92	93	94	95	96	97	98	99	100
---	---	---	---	---	---	---	---	---	----	----	----	----	----	----	----	----	----	----	----	----	----	----	----	----	----	----	----	----	----	----	----	----	----	----	----	----	----	----	----	----	----	----	----	----	----	----	----	----	----	----	----	----	----	----	----	----	----	----	----	----	----	----	----	----	----	----	----	----	----	----	----	----	----	----	----	----	----	----	----	----	----	----	----	----	----	----	----	----	----	----	----	----	----	----	----	----	----	----	-----

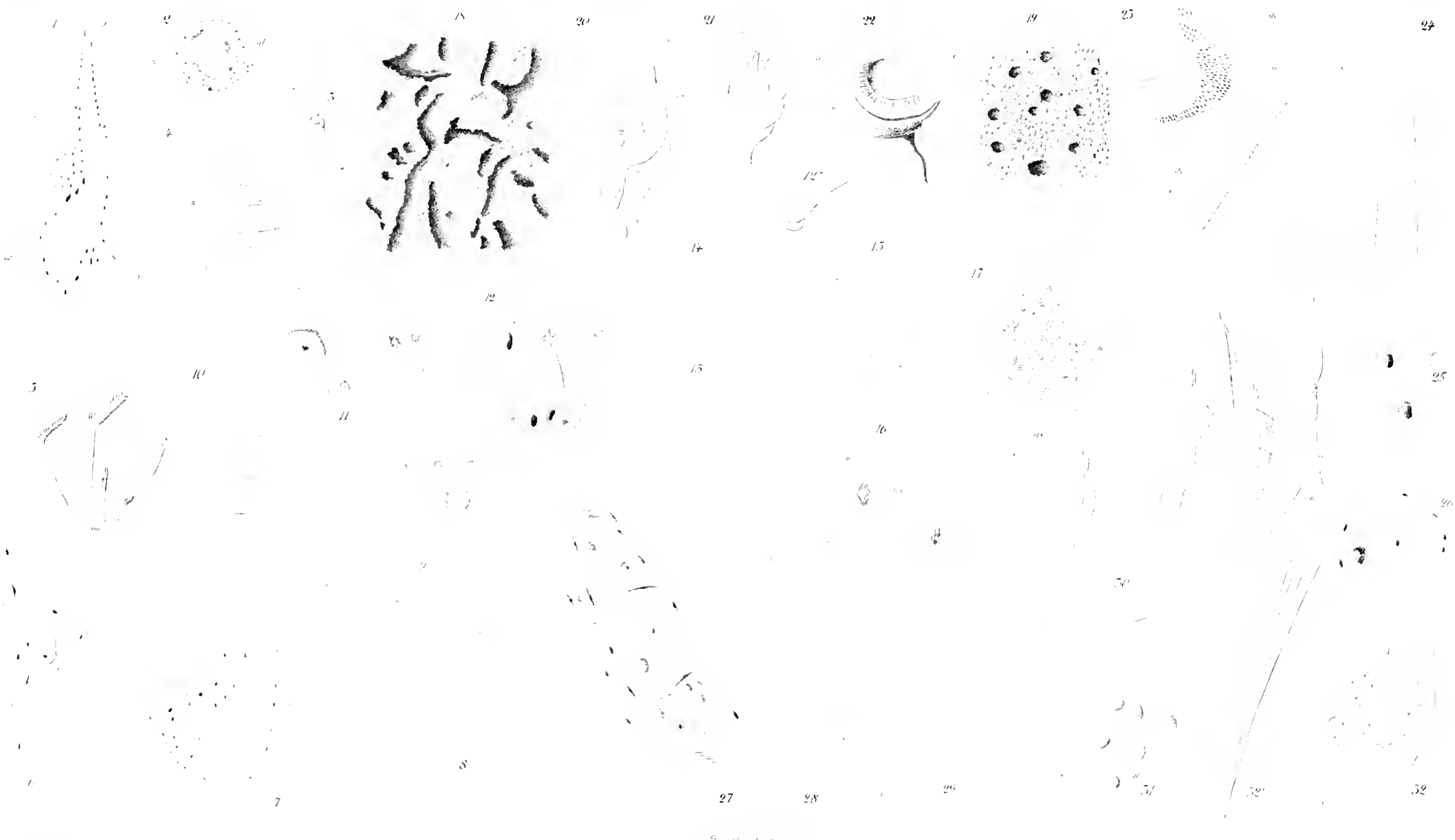


















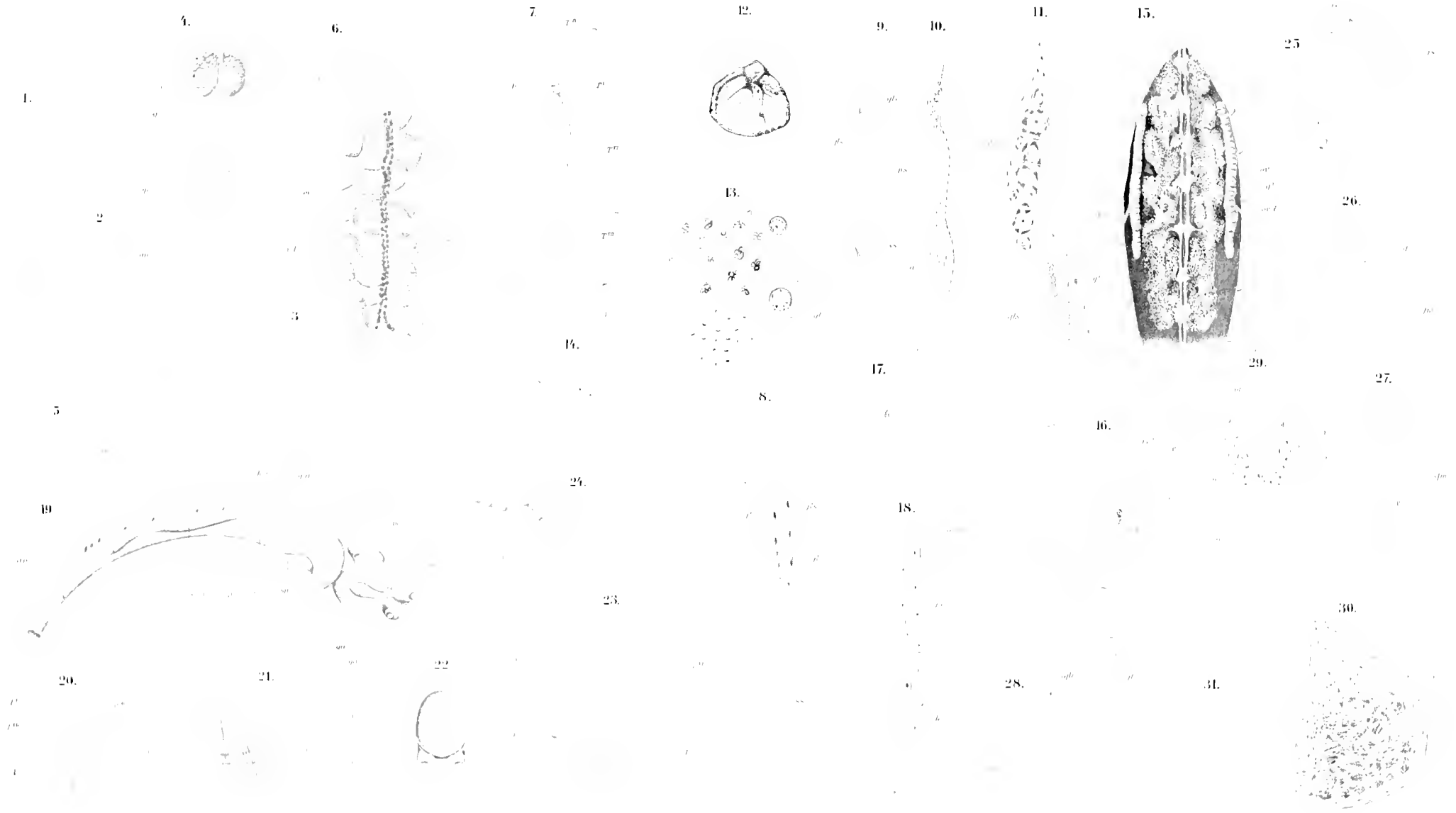






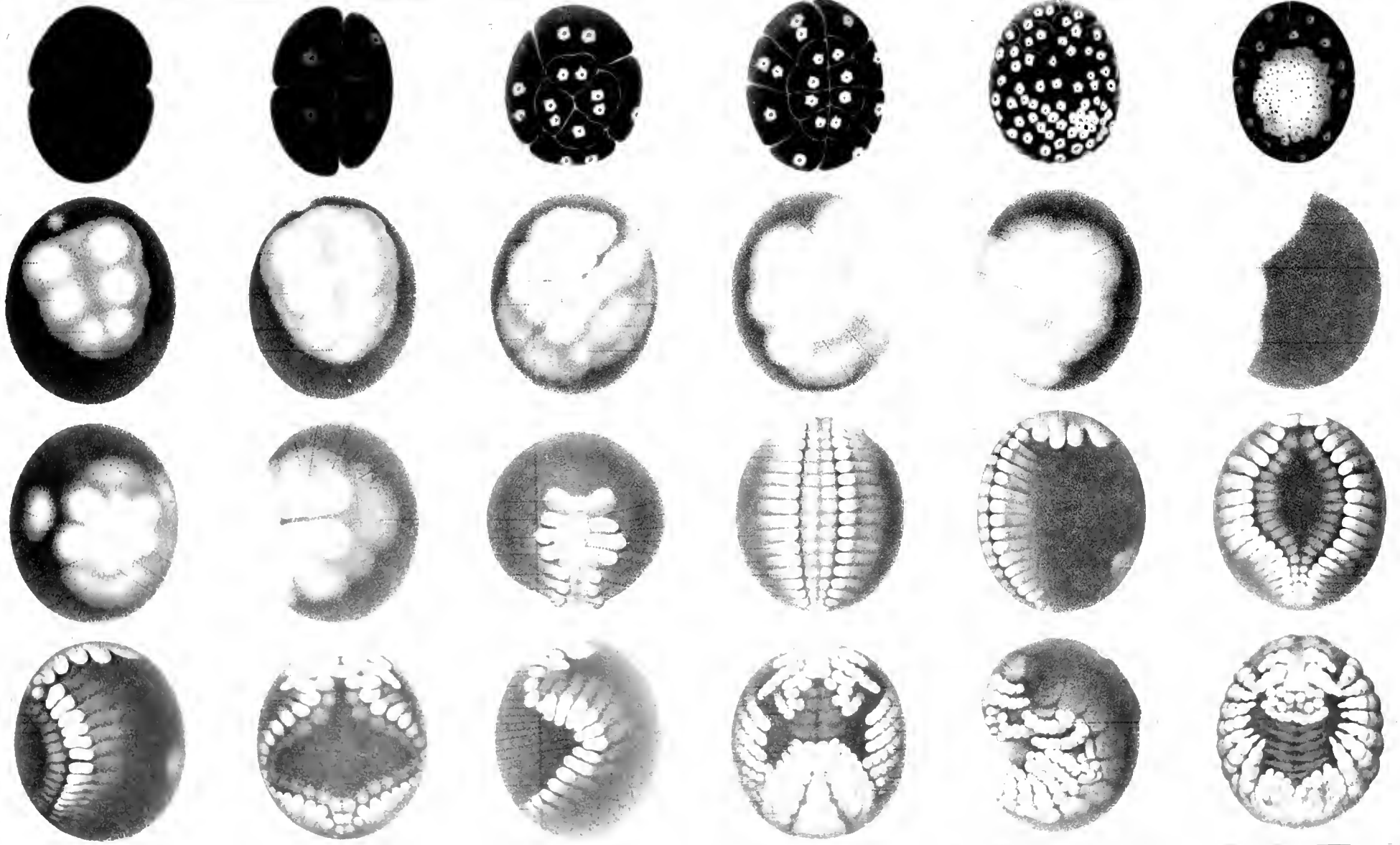




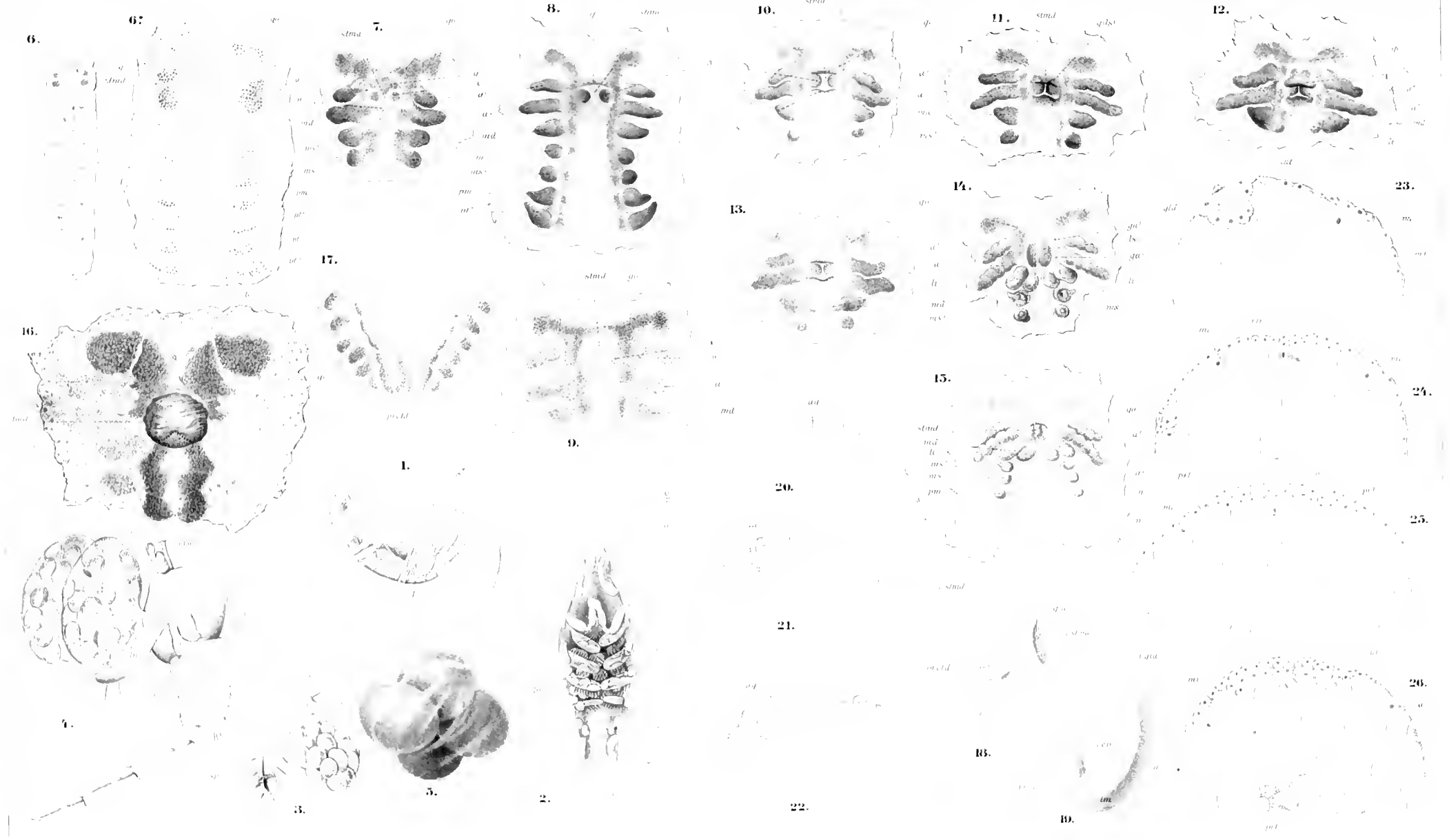














1.

2.

3.

12.

16.

22.

4.

8.

13.

17.

23.

5.

9.

14.

18.

24.

6.

10.

15.

19.

25.

7.

11.

21.

20.

27.

28.

29.



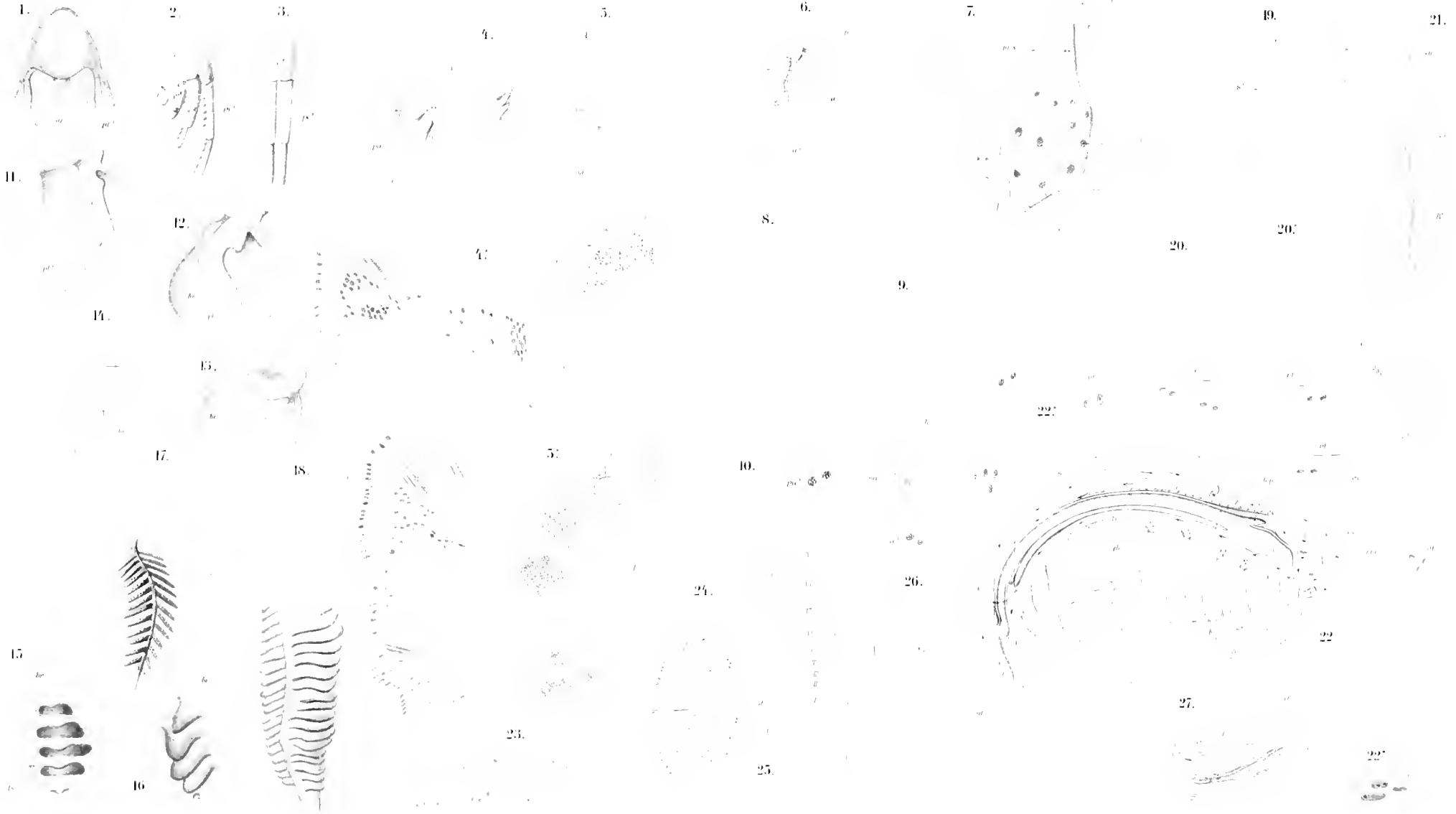
















1-3 *Laetmuschelidae*  
6-16 *sardinia*

4-5 *Laetmuschelidae*  
17-18 *sardinia*

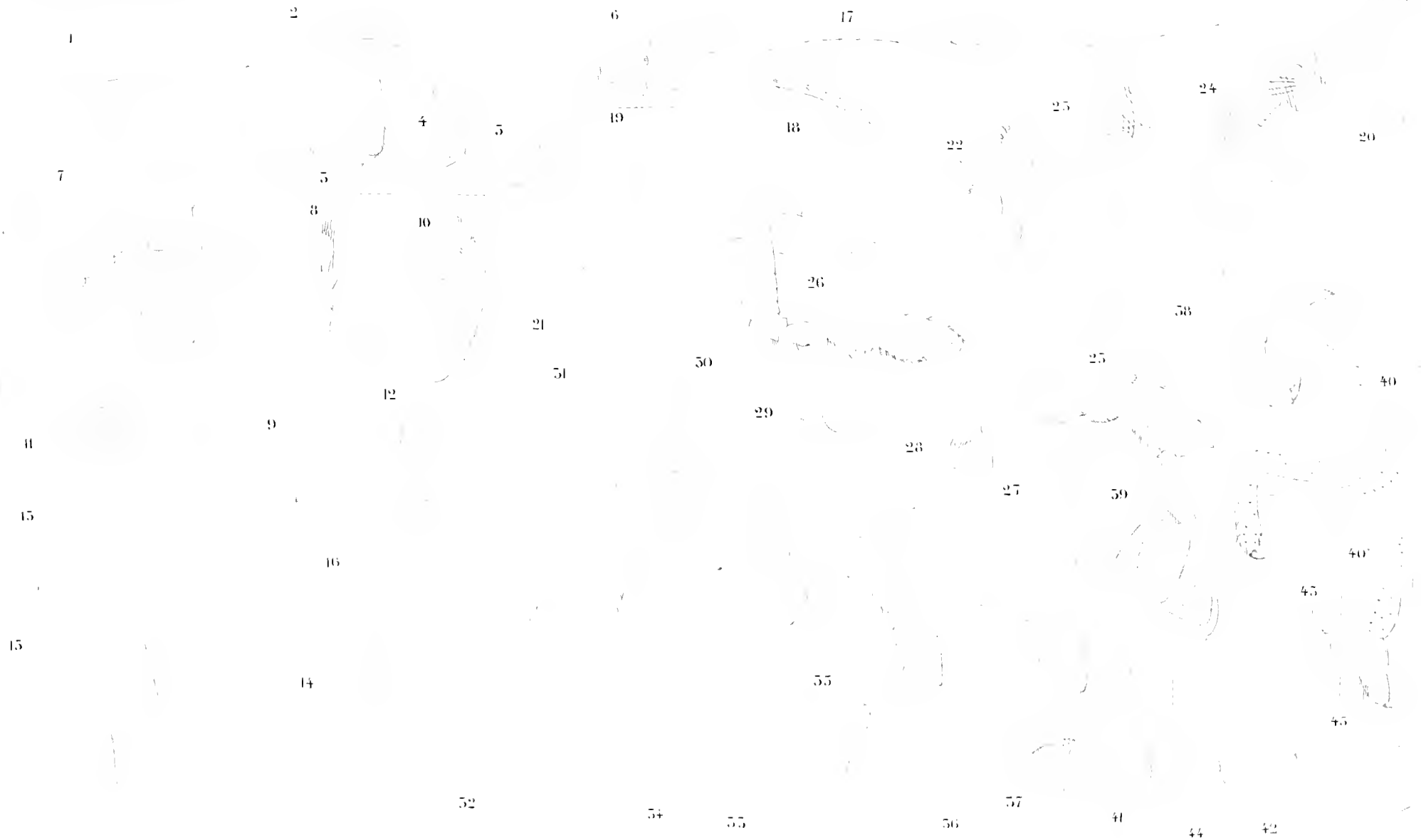
19-24

25-31

32-45

46-57 *sardinia*  
58-60 *sardinia*





1 *Tringa*

7-16

2-6

17-36

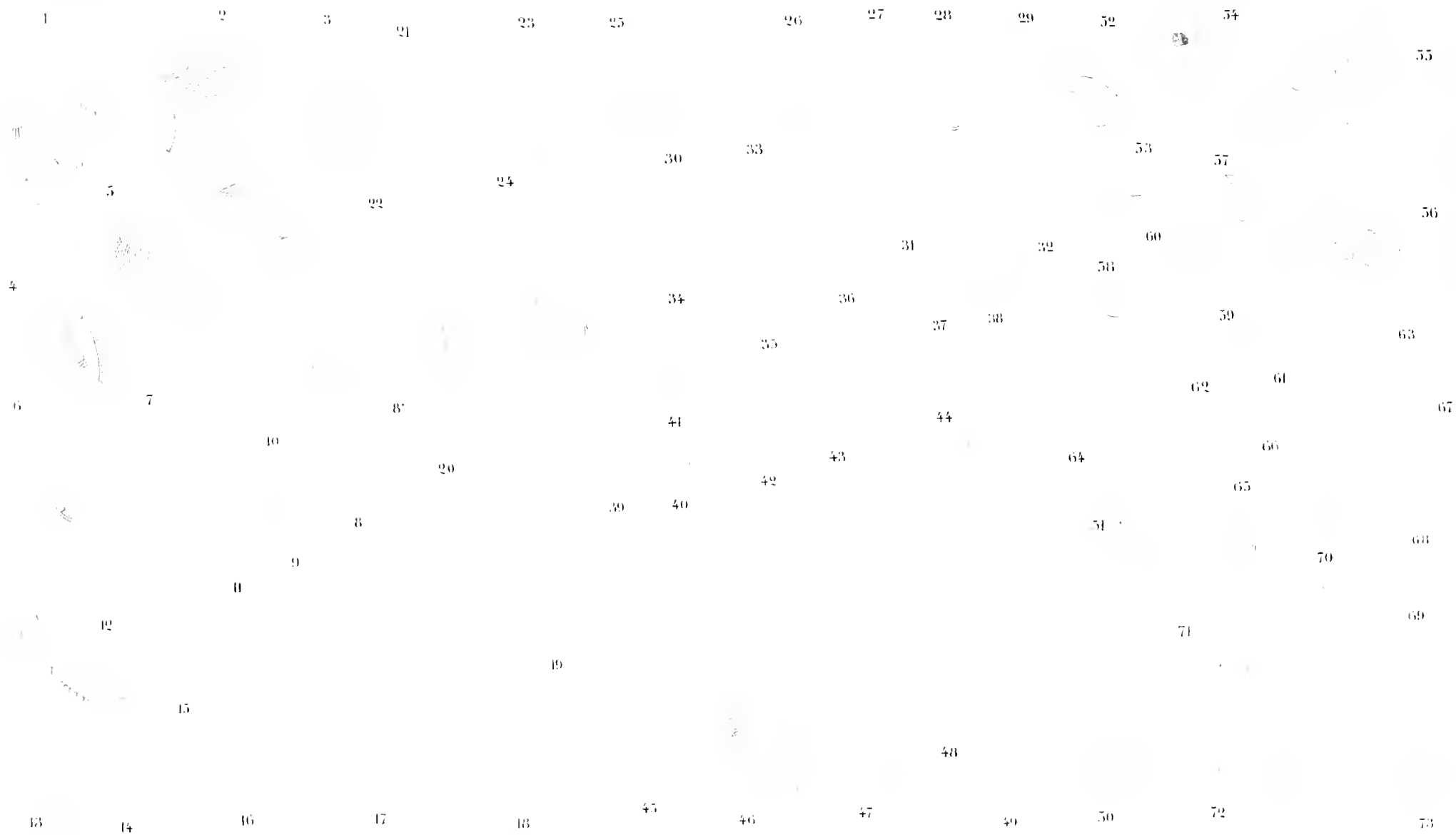
37-50 *Tringa*

41 *Merulianthus*

42-45 *Strapsonella*







1-5 *Lygdohieris*      6-12 *Protomedusa*      13-20 *Polyseris*      21-27 *Polyseris*      28-38 *Amphaloe*      39-50 *Amphaloe*      51 *Harlequin*      52-53 *Talitrus*  
 54-55 *Obolus*



1	2	3	4	5	6	7	8	9	10	11	12	13	14	15	16	17	18	19	20	21	22	23	24	25	26	27	28	29	30	31	32	33	34	35	36	37	38	39	40	41	42	43	44	45	46	47	48	49	50	51	52	53	54	55	56	57	58	59	60	61	62	63	64	65	66	67	68	69	70	71	72	73	74	75	76	77	78	79	80	81	82	83	84	85	86	87	88	89	90	91	92	93	94	95	96	97	98	99	100
---	---	---	---	---	---	---	---	---	----	----	----	----	----	----	----	----	----	----	----	----	----	----	----	----	----	----	----	----	----	----	----	----	----	----	----	----	----	----	----	----	----	----	----	----	----	----	----	----	----	----	----	----	----	----	----	----	----	----	----	----	----	----	----	----	----	----	----	----	----	----	----	----	----	----	----	----	----	----	----	----	----	----	----	----	----	----	----	----	----	----	----	----	----	----	----	----	----	----	-----

15. *Hesperid*

19. *Utricularia*

42 + 49. *Utricularia*

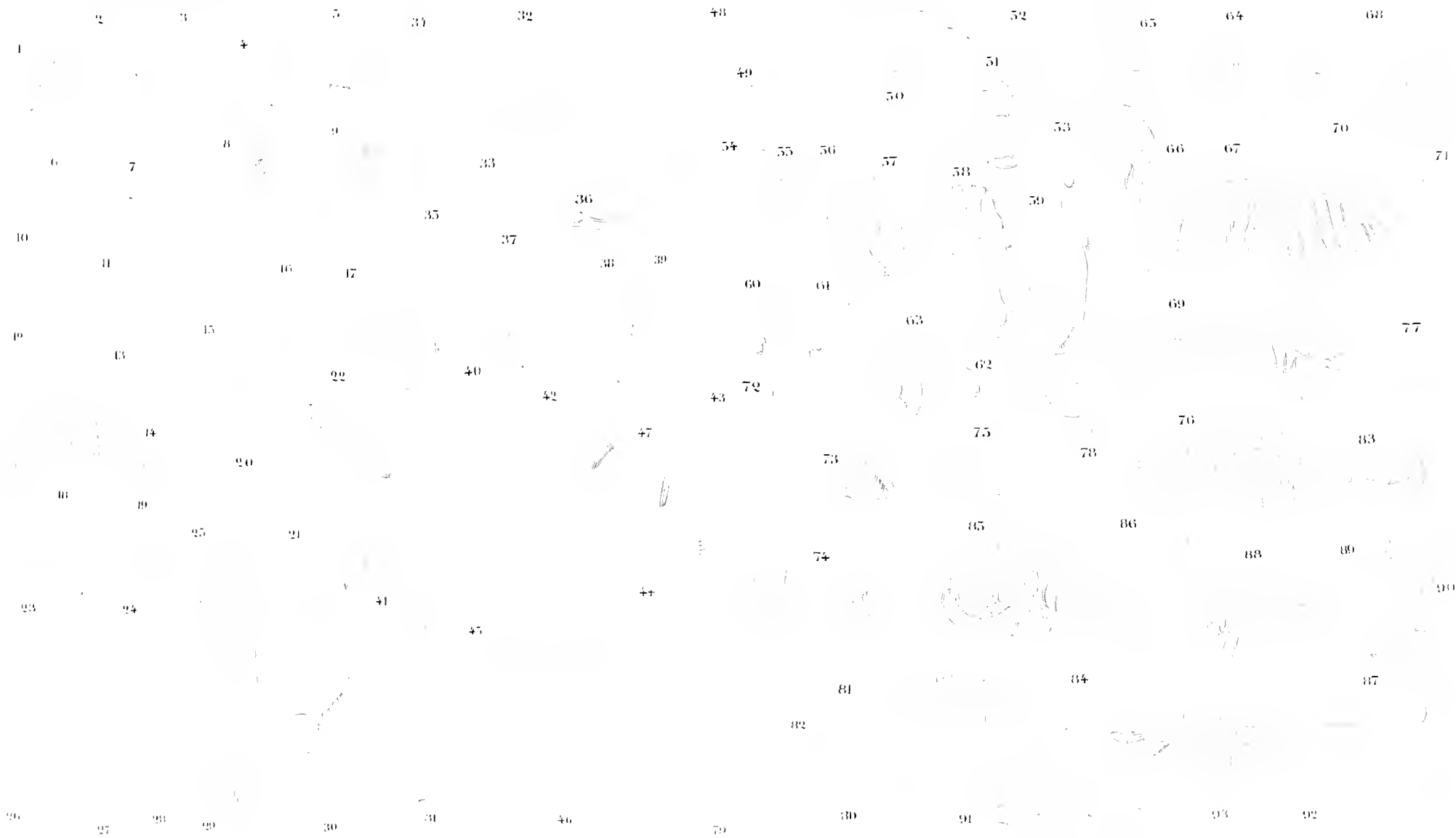
50 - 72. *Utricularia*

73-74. *Panicum*  
80. *Utricularia*  
83-87. *Hesperid*  
86-87. *Utricularia*

74-79. *Hesperid*  
81-82. *Hesperid*  
85. *Utricularia*  
88-92. *Hesperid*

99. *Hesperid*





1-10 Head capsule

11-15 Antennae

16-21 Maxillae  
22-30 Legs

31-36 Telson

37-40 Thorax  
41-45 Pleonites

46-50 Pelvic region  
51-55 Peropods  
56-60 Propagulae

61-65 Propagulae  
66-70 Propagulae  
71-75 Propagulae  
76-80 Propagulae  
81-85 Propagulae  
86-90 Propagulae  
91-95 Propagulae











1-9 *Amphionia pelagicaria* 10-21 *Amphionia pelagicaria*

12-22 *Amphionia pelagicaria*

23-37 *Cobimutella musilla*









